

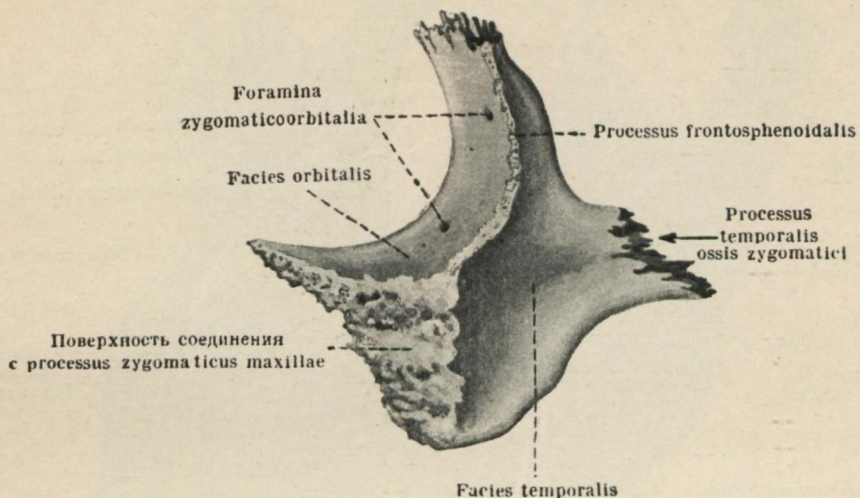
140. Скуловая кость, *os zygomaticum*, правая, снаружи и несколько спереди ( $\frac{1}{1}$ ).

#### Скуловая кость

Скуловая кость, *os zygomaticum* (рис. 140, 140a), парная, несколько четырехугольной формы, плоская и крепкая кость. Она соединяется со скуловыми отростками височной, основной, лобной и верхнечелюстной костей. На ней различают три поверхности: лицевую или скуловую, *facies malaris*, обращенную книзу, выпуклую, неправильно четырехугольной формы; глазничную, *facies orbitalis*, образующую наружно-нижнюю часть глазницы, и височную, *facies temporalis*, обращенную в сторону височной ямы.

Скуловая поверхность, *facies malaris*, гладкая, выпуклая, несет скуловой бугор, *tuber zygomaticum*, и скуло-лицевое отверстие, *foramen zygomaticofaciale*.

Верхний полукруглый край скуловой поверхности, глазничный край, *margo orbitalis*, ограничивает вход в глазницу сбоку и снизу. Верхне-наружный участок скуловой кости выступает в виде лобно-основного отростка, *processus frontosphenoidalis*. Отросток этот, более расширенный спереди, чем сзади, соединяется вверху своей передней частью со скуловым отростком лобной кости — в скуло-лобном шве, *sutura zygomaticofrontalis*, сзади — с передним краем большого крыла основной кости — в основно-скullовом шве, *sutura sphenozygomatica* (рис. 63). Нижне-наружный угол скуловой кости выступает книзу в виде височного отростка, *processus temporalis*. Последний, соединяясь со



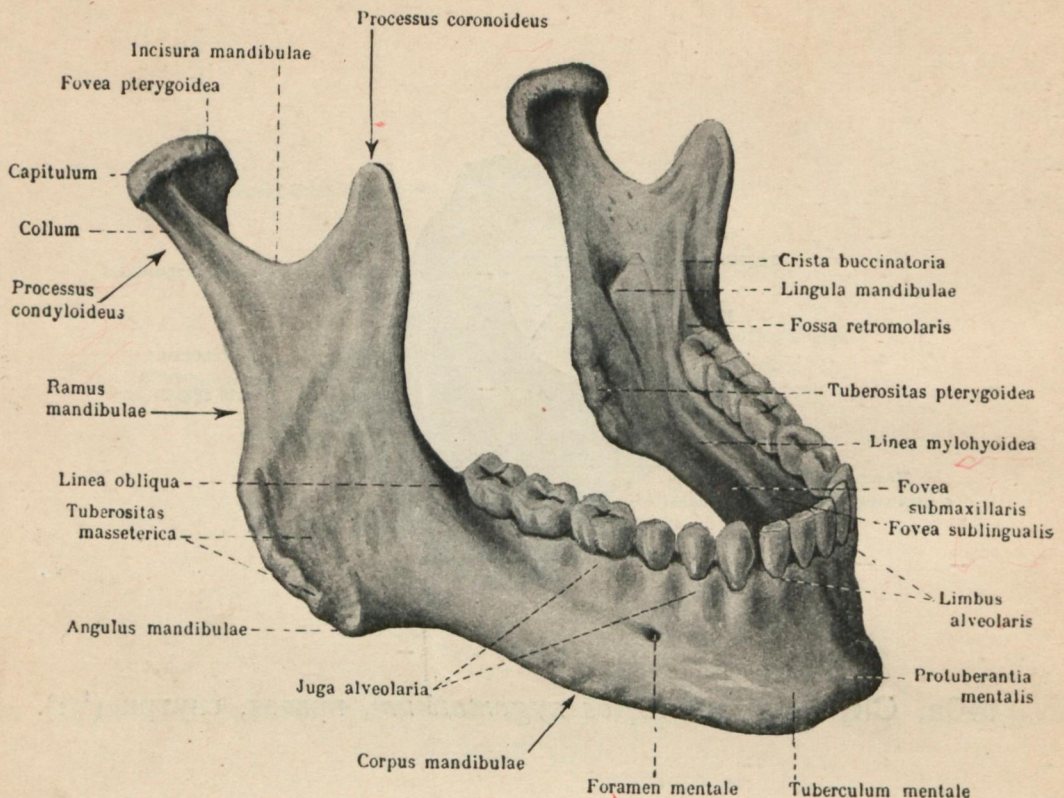
140а. Скуловая кость, *os zygomaticum*, правая, снутри ( $\frac{1}{4}$ ).

скелетом отростком височной кости, образует скело-височный шов, *sutura zygomaticotemporalis*. Внутренним краем скуловая кость граничит со скелетом отростком тела верхнечелюстной кости, образуя здесь скело-челюстной шов, *sutura zygomatico-maxillaris*.

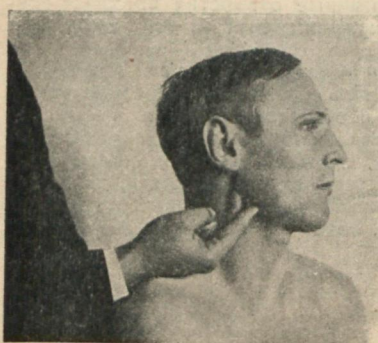
Глазничная поверхность, *facies orbitalis*, скелетовой кости гладкая, вогнутая, участвует в образовании передних отделов нижней и некоторой части наружной стенки глазницы. Спереди она ограничена подглазничным краем, снаружи она переходит в лобно-основной отросток. На глазничной поверхности помещается скело-глазничное отверстие, *foramen zygomaticoorbitale*. Через это отверстие можно проникнуть тонким зондом по прободающему кость каналу

в отверстия, расположенные на скелетовой поверхности — скело-лицевое отверстие, *foramen zygomaticofaciale*, и на височной поверхности — скело-височное отверстие, *foramen zygomaticotemporale*. (Через указанные отверстия проходят скелетическая и скело-височная ветви скелетового нерва.)

Височная поверхность, *facies temporalis*, принимает участие в образовании передней стенки височной ямки и обращена назад и внутрь; на ней располагается указанное выше скело-височное отверстие, *foramen zygomaticotemporale*. Височный отросток скелетовой кости, *processus temporalis*, соединяясь со скелетом отростком височной кости, образует скелетовую дугу, *arcus zygomaticus*.



141. Нижняя челюсть, *mandibula*, снаружи, несколько спереди и сверху ( $\frac{4}{5}$ ).

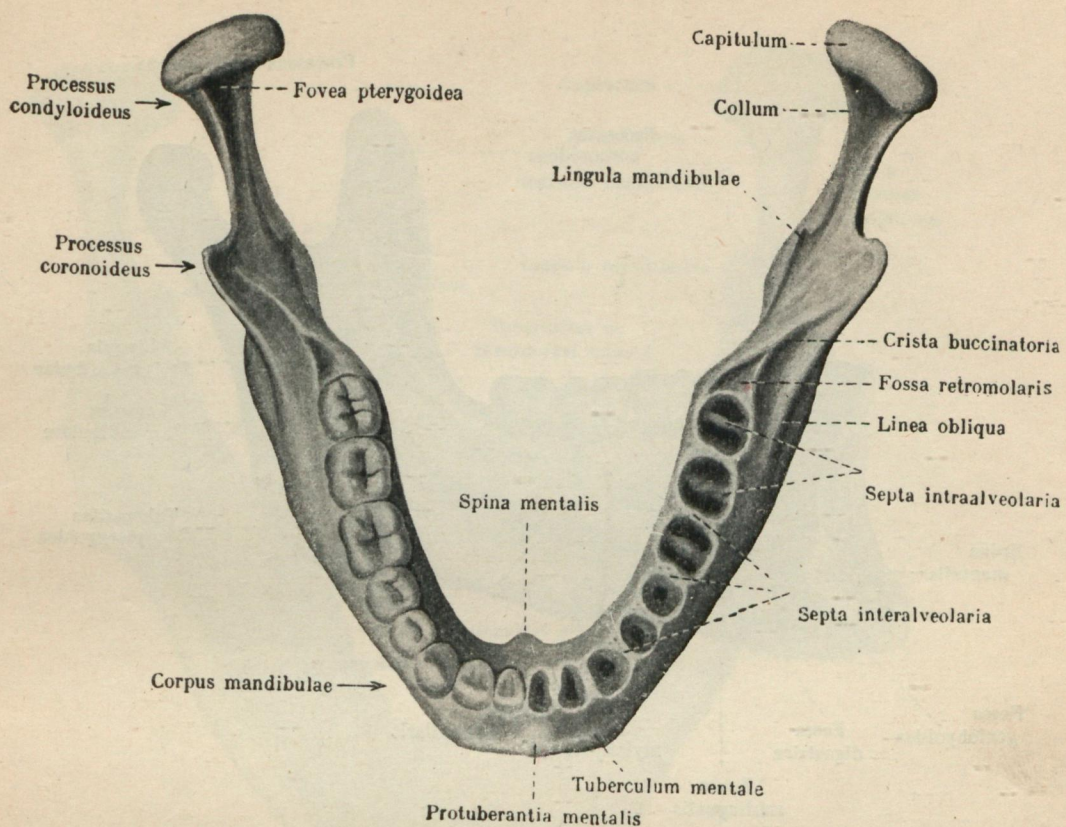


142. Прощупывание угла нижней челюсти, *angulus mandibulae*.

#### Нижняя челюсть

**Нижняя челюсть, *mandibula*** (рис. 141—152), непарная, толстая, крепкая кость, напоминающая по форме подкову. Она занимает передне-нижний отдел лицевого черепа и является единственной костью, соединенной с черепом подвижно. Нижняя челюсть состоит из *тела, corpus*, изогнутого выпуклостью кпереди, и двух *ветвей, rami*, поднимающихся кверху от задних концов тела.

Тело нижней челюсти, *corpus mandibulae*, образовалось из двух половин, которые соединились по серединной линии прослойкой хрящевой ткани (рис. 159, 140). Постепенно окостеневает (синостозируется) на первом году жизни, и таким образом обе половины срастаются, оставляя на месте сращения непостоянную борозду, идущую сверху вниз по серединной плоскости. У тела нижней челюсти различают два края — верхний и нижний, и две поверхности: наружную — лицевую (рис. 141) и внутреннюю — язычную (рис. 146, 147). Нижний край тела нижней челюсти утолщен и округлен и представляет собой **основание нижней челюсти, basis mandibulae**. Верхний край ограничивает лунечковый отдел тела нижней челюсти и носит



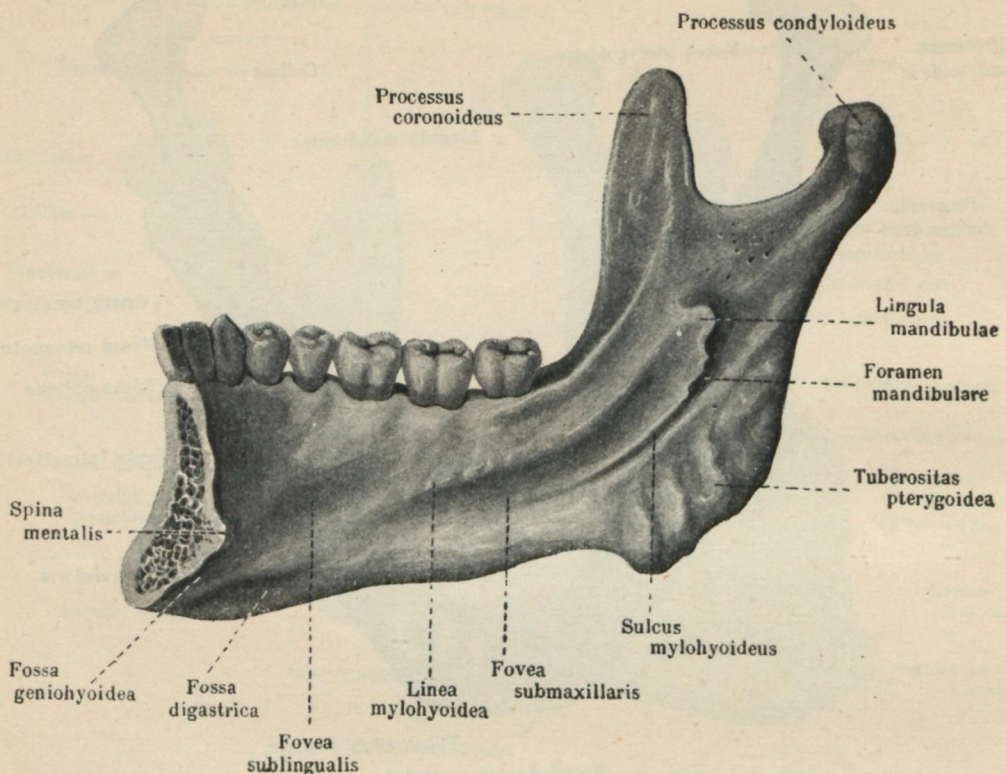
143. Нижняя челюсть, *mandibula*, сверху ( $^{4/5}$ ).



144. Прощупывание суставного отростка нижней челюсти, *processus condyloideus mandibulae*.



145. Прощупывание подбородочного возвышения, *protuberantia mentalis*.



146. Нижняя челюсть, *mandibula*, правая половина, снутри (<sup>1/1</sup>).

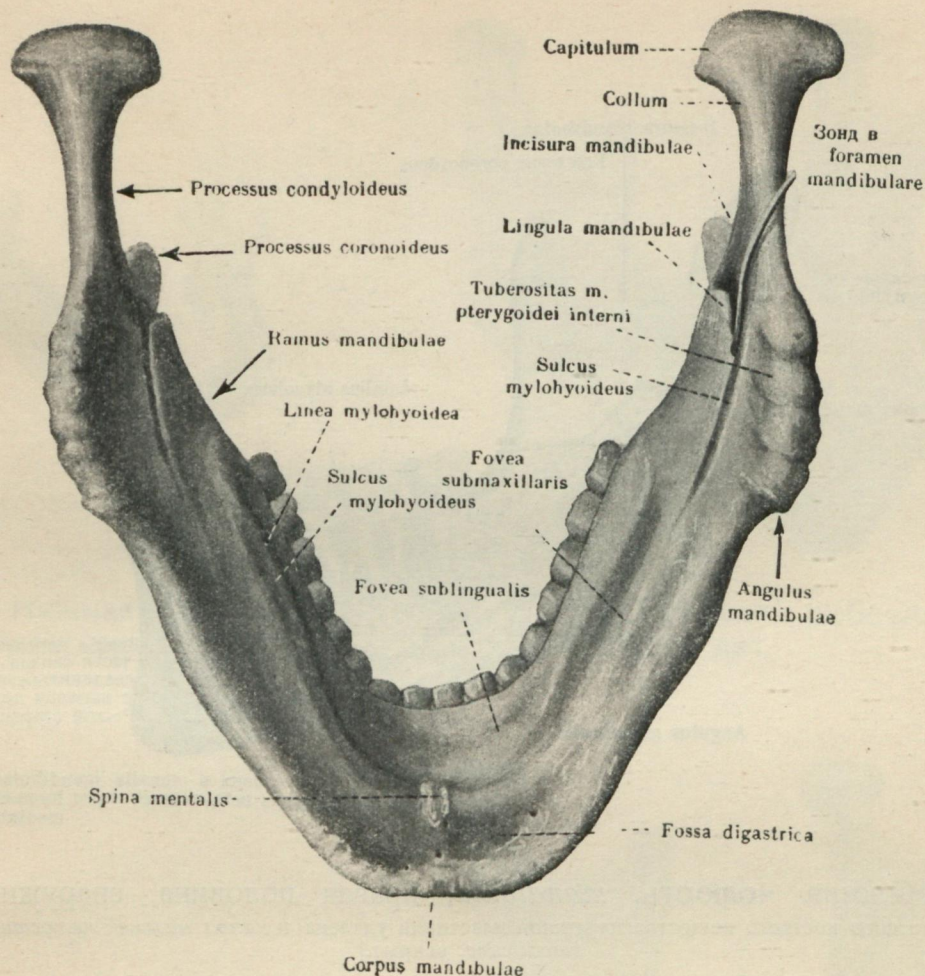
название альвеолярного края, *limbus alveolaris*. Передний отдел нижнего края, вблизи серединной линии, выступает кпереди, немного отвесно, в виде подбородочного возвышения, *protuberantia mentalis*. Несколько отступая от него латерально, но ближе к основанию, располагается по обе стороны от возвышения по подбородочному бугорку, *tuberculum mentale*, который легко прощупывается через кожные покровы (рис. 145). На наружной поверхности тела нижней челюсти, под лунечкой второго малого коренного зуба, находится подбородочное отверстие, *foramen mentale*, — место выхода подбородочных сосудов и нерва. В косом направлении, кзади и кверху от подбородочного отверстия, проходит косая линия, *linea obliqua* (рис. 141), переходящая на ветвь нижней челюсти.

Внутренняя поверхность нижней челюсти в переднем отделе, вблизи серединной плоскости, несет подбородочную ость, *spina mentalis*, — место начала mm. geniohyoideus и genioglossus; иногда она бывает раздвоена. Латерально от ости, ближе к нижнему краю челюсти, расположено небольшое углубление — ямка двубрюшной

мышцы, *fossa digastrica*, — место начала двубрюшной мышцы.

Несколько выше и латеральней ее имеется подъязычная ямка, *fovea sublingualis*, — след прилегания подъязычной слюнной железы. По середине внутренней поверхности обеих половин тела нижней челюсти, несколько выше нижнего края, заметна небольшая подчелюстная ямка, *fovea submaxillaris*, — место прилегания подчелюстной слюнной железы. Вдоль внутренней поверхности тела нижней челюсти косо спереди назад, переходя затем на внутреннюю поверхность ветви, тянется челюстно-подъязычная линия, *linea mylohyoidea*; несколько ниже и параллельно ей располагается челюстно-подъязычная борозда, *sulcus mylohyoideus*. (Первая является местом прикрепления мышц, а вторая местом прилегания к костям сосудов и нервов.)

Верхний отдел тела нижней челюсти (рис. 145) носит название лунечковой части, *pars alveolaris*, или зубного отростка, *processus alveolaris*, развитие которого определяется наличием зубов. У детей, первых этапов жизни, когда еще зубов не имеется, этот участок челюсти еще не

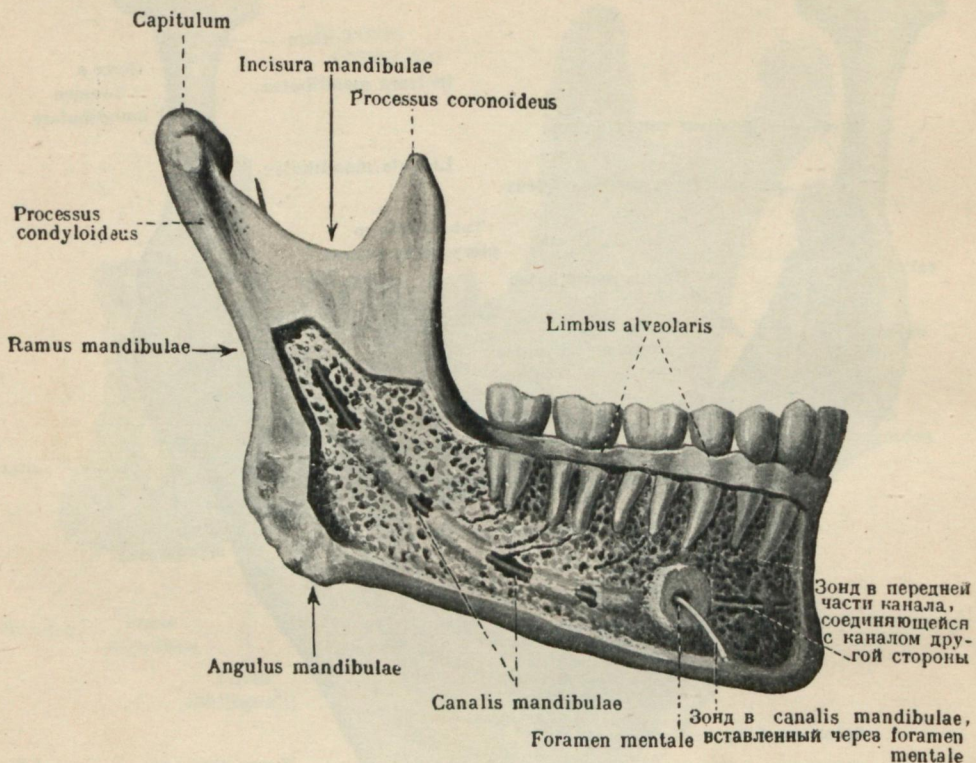


147. Нижняя челюсть, *mandibula*, снизу и несколько сзади (<sup>1/1</sup>).

развит; а к старости, с выпадением зубов, этот отросток атрофируется (рис. 149—152). Вдоль верхнего, свободного, края его имеются у взрослого шестнадцать зубных луночек, *alveolae dentales*, в которых сидят корни зубов. Луночки отделены между собой межлуночковыми перегородками, *septa interalveolaria*. У шести задних луночек (по три с каждой стороны), куда заходят двукорневые зубы, имеются кроме того внутримежлуночковые перегородки, *septa intraalveolaria*. Соответственно положению передних луночек, на передней, наружной, поверхности луночкового отдела челюсти находятся продольные луночковые возвышения, *juga alveolaria*. В губчатом веществе тела проходит канал челюсти, *canalis mandibulae* (рис. 148), имеющий в своей стенке целый ряд ответвлений. Стенка

канала образуется плотным костным веществом. В канале проходят нервы и сосуды, ветви которых направляются к зубам. Входным отверстием канала является отверстие нижней челюсти, *foramen mandibulare*, расположенное на внутренней поверхности ветви, а выходным — подбородочное отверстие, *foramen mentale*, причем канал продолжается в толще кости кпереди от выходного отверстия, неся сосуды и нервы к передним зубам.

Ветви нижней челюсти отходят от задних концов тела кверху под углом, близким к прямому. Верхний конец ветви раздваивается и дает два отростка: передний — венечный, *processus coronoideus*, и задний — сочленовый, *processus condyloideus*. Между ними находится вырезка нижней челюсти, *incisura mandibulae*.



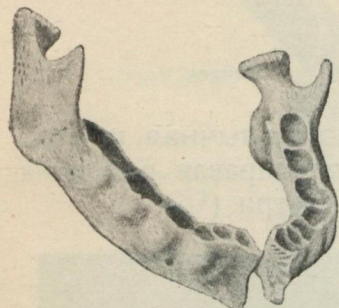
**148. Нижняя челюсть, *mandibula*, правая половина, снаружи (1/1).**  
[Часть плотного костного вещества наружной пластинки удалена и канал нижней челюсти, *canalis mandibulae*, вскрыт.]

*Венечный отросток, processus coronoideus*, обращен вверх и несколько загнут крючком кзади (он является местом прикрепления височной мышцы).

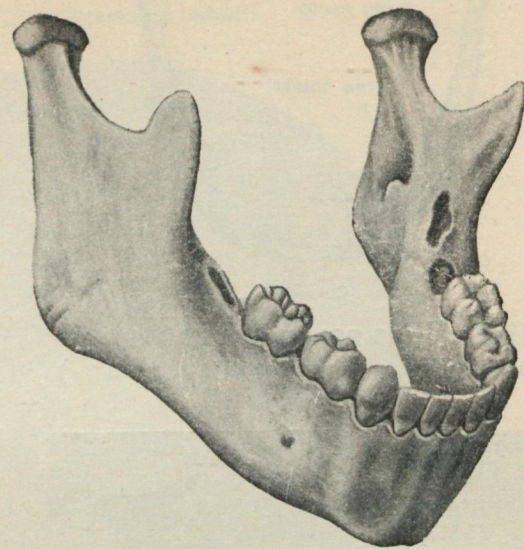
*Сочленовый отросток, processus condyloideus*, заканчивается валикообразной головкой, *capitulum mandibulae*, покрытой хрящом и вступающей в сочленение с височной костью в *fossa mandibularis*. При раскрывании рта, когда нижняя челюсть опускается, сочленовый отросток доступен прощупыванию (рис. 144). Суженный участок сочленового отростка, ниже головки, носит название *шейки нижней челюсти, collum mandibulae*. Внутренняя периферия шейки несет углубление — след прикрепления крыловидной мышцы, которое получает название *крыловидной ямки, fossa pterygoidea*.

У ветви нижней челюсти различают два края — передний и задний и две поверхности —

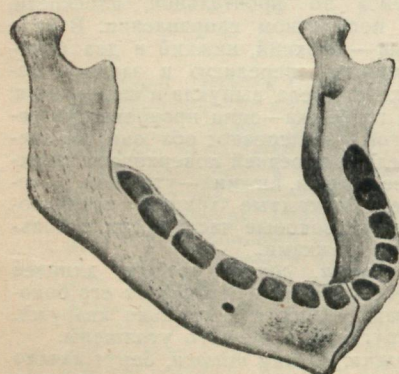
наружную и внутреннюю. Задний край ветви с нижним краем тела образует угол *нижней челюсти, angulus mandibulae*, хорошо заметный и легко прощупываемый через кожные покровы (рис. 142). Передний край ветви, подходя к телу нижней челюсти, расширяется в треугольную площадку — *поздадимолярную ямку, fovea retro-molaris*, наружный край которой переходит на наружной поверхности тела в косую линию, а внутренний направляется к внутреннему краю последней зубной луночки. По середине треугольной площадки проходит *гребень щечной мышцы, crista buccinatoria*, — место начала мышцы. На внутренней поверхности ветви имеется описанное ранее *отверстие нижней челюсти, foramen mandibulae*, прикрытое снизу и спереди тонкой костной пластинкой, называемой *язычком нижней челюсти, lingula mandibulae*.



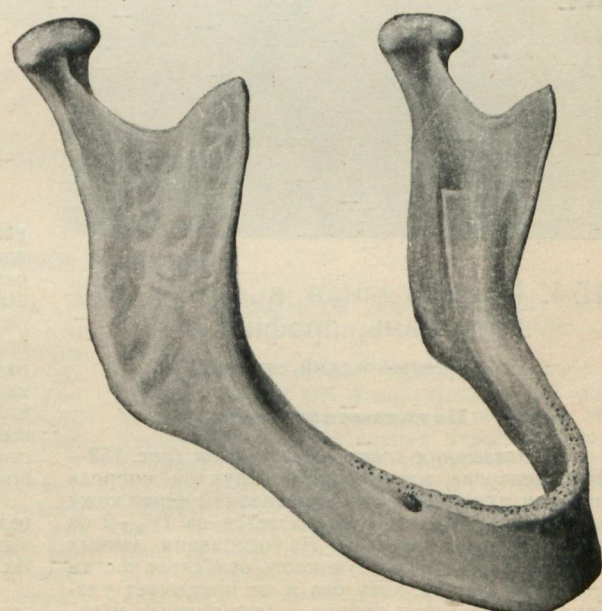
149. Нижняя челюсть  
новорожденного ( $^{1/1}$ ).



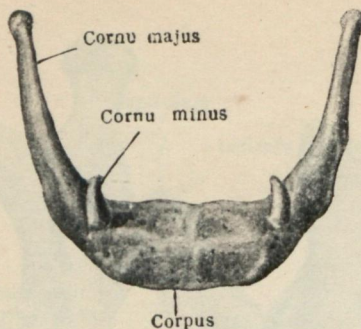
151. Нижняя челюсть ребенка  
шеести лет.



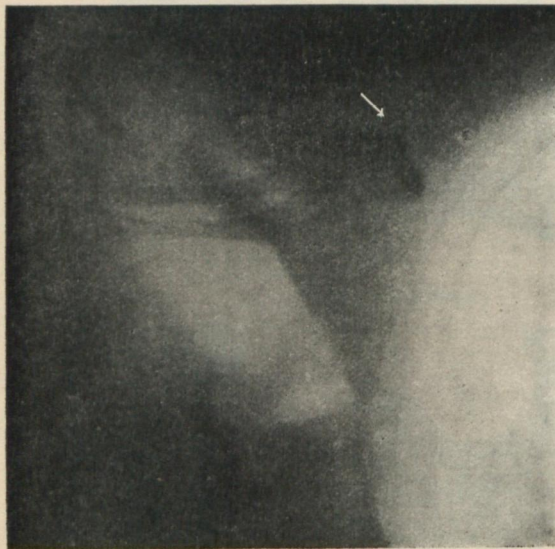
150. Нижняя челюсть  
ребенка около года ( $^{1/1}$ ).



152. Нижняя челюсть  
глубокого старика.



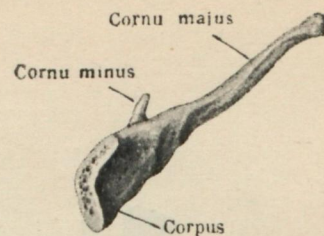
153. Подъязычная кость,  
*os hyoideum*, сверху и спереди ( $1/1$ ).



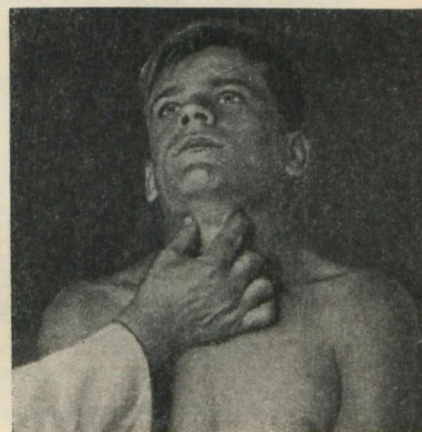
154. Подъязычная кость и гор-  
таль, профиль  
(рентгеновский снимок).  
(рентгеновский снимок).

#### Подъязычная кость

Подъязычная кость, *os hyoideum* (рис. 153—155), непарная, имеет форму выпуклой кпереди костной дуги, легко прощупываемой через кожу шеи (рис. 155). Она располагается на  $1\frac{1}{2}$ —2 см выше выступа горлани. На основании данных о развитии, подъязычную кость относят к костям лицевого черепа, хотя она и не принимает участия в образовании черепа, а лежит между мышцами шеи кзади и под нижней челюстью. Не соединяясь непосредственно ни с одной костью, она очень подвижна. В ней различают пять частей — тело и две пары рожек, большие и малые.



153а. Подъязычная кость,  
*os hyoideum*, правая половина,  
снутри ( $1/1$ ).

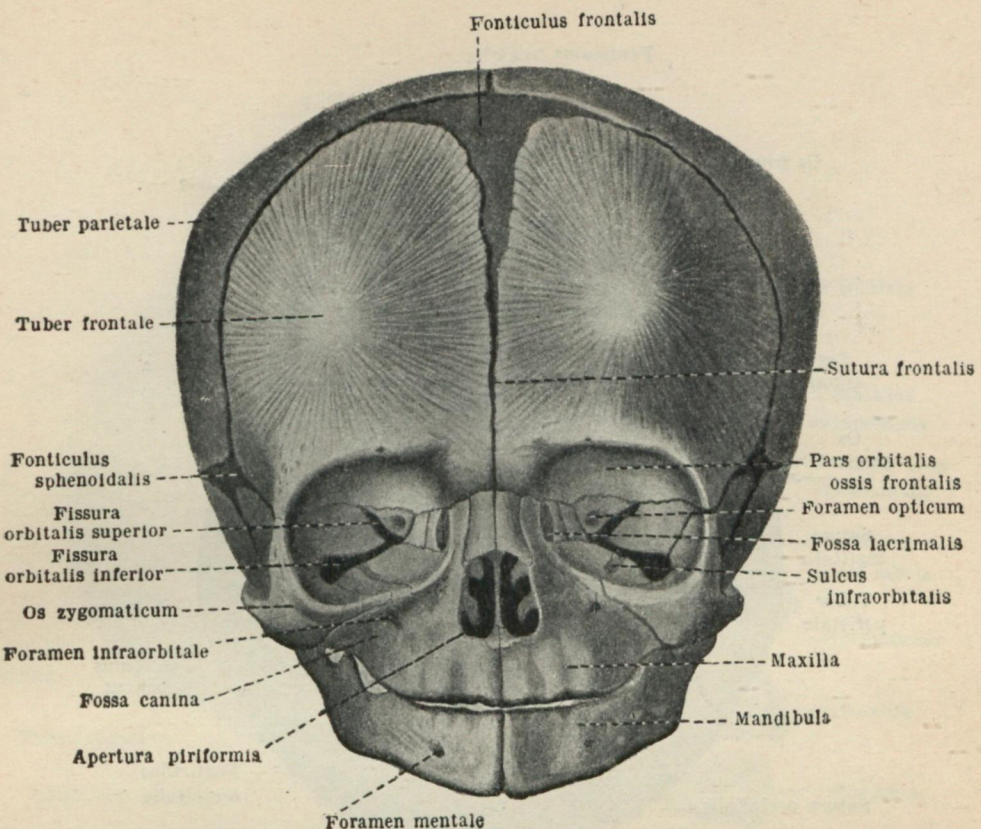


155. Прощупывание  
подъязычной кости.

Тело, *cörpus*, имеет вид костной пластинки, располагающейся во фронтальной плоскости, длинником в поперечном направлении. В теле различают края — верхний, нижний и два боковые, и поверхности — переднюю и заднюю. Передняя поверхность тела выпукла и шероховата; она несет два гребешка — один продольно направленный, другой — поперечно; оба они пересекаются на середине передней поверхности. Верхний край более острый, нижний — утолщен. Боковые края несут покрытые хрящом поверхности, соединяющие боковые части кости с большими и малыми рожками.

Большие рожки, *cornua majora*, длиннее тела подъязычной кости и отходят от его боковых краев кзади вверх и несколько кнаружи. Их концы закруглены и немножко утолщены.

Малые рожки, *cornua minora*, берут начало от тела в месте соединения его с большими рожками. Они очень малы, имеют продолговато-округлую форму и часто остаются хрящевыми. С телом подъязычной кости они соединены при посредстве соединительной ткани; иногда образуют довольно свободные суставы.



156. Череп новорожденного, спереди ( $\frac{4}{5}$ ).

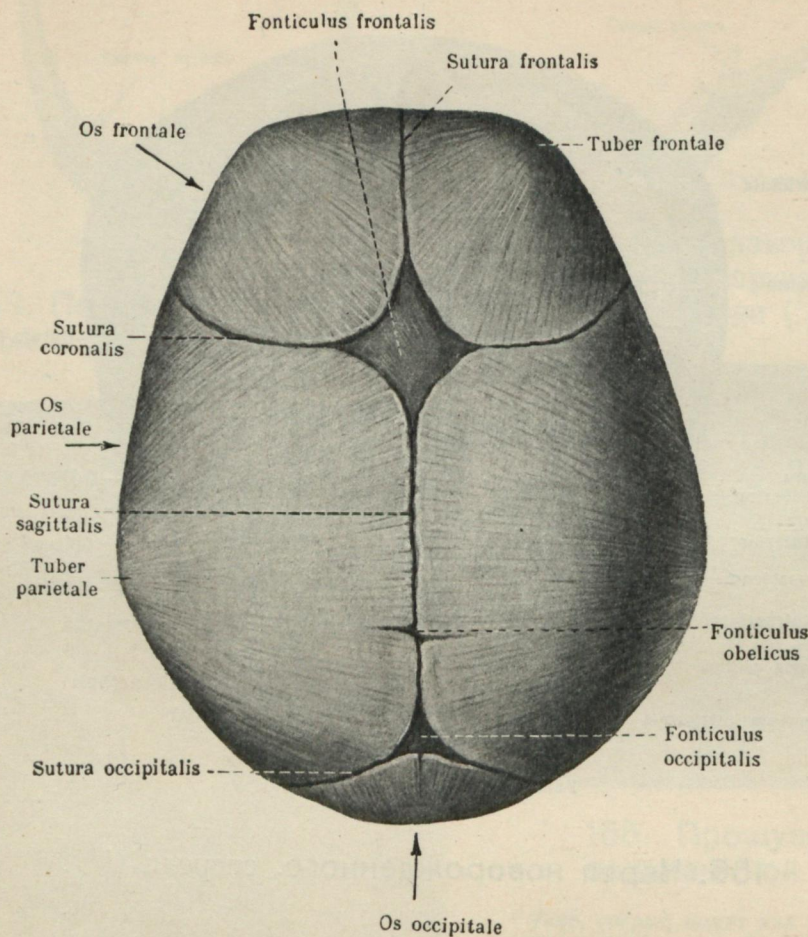
#### ЧЕРЕП В ЦЕЛОМ

*Череп, cranium* (рис. 63—68, 156—176), в целом, представляет костную основу головы. В нем различают: отдел *мозгового черепа, cranium cerebrale*, развившийся вокруг головного мозга и органов чувств, и отдел *лицевого черепа, cranium viscerale*, развившийся вокруг головного конца первичной кишки и составляющий твердую основу большей части лица.

*Кости мозгового черепа* (лобная, две теменные, затылочная, две височные, основная, решетчатая, две носовые раковины, две слезные, две носовые и сошник) соединены между собой при посредстве швов и образуют замкнутую со всех сторон коробку. Верхняя часть коробки — крыша *черепа, calvaria cranii*, или *свод черепа, fornix cranii* (рис. 159, 160), переходит без заметной границы в нижнюю часть коробки — основание *черепа, basis cranii* (рис. 161, 162). Однако условно такой границей считают плоскость се-

чения, проходящую через вершину protubérantia occipitalis externa и arcus superciliares лобной кости.

Процесс развития черепа неодинаков в отдельных частях его. У зародыша конца третьего месяца формирование черепа начинается за счет хрящевой ткани основания черепа. Хрящ, разрастаясь впоследствии, меняет свою форму и протяженность, и затем в определенных участках его появляются точки окостенения, соответствующие будущим частям костей основания черепа (рис. 74—76). Сроки окостенения отдельных костей различны. Эту часть черепа, прошедшую хрящевую стадию, называют *примордиальным* (первого порядка) *черепом, cranium primordiale*. В некоторых участках черепа хрящевая ткань сохраняется до взрослого возраста в виде хрящевой перегородки носа (cartilago septi nasi) и хрящевой ткани в щелях основания черепа.



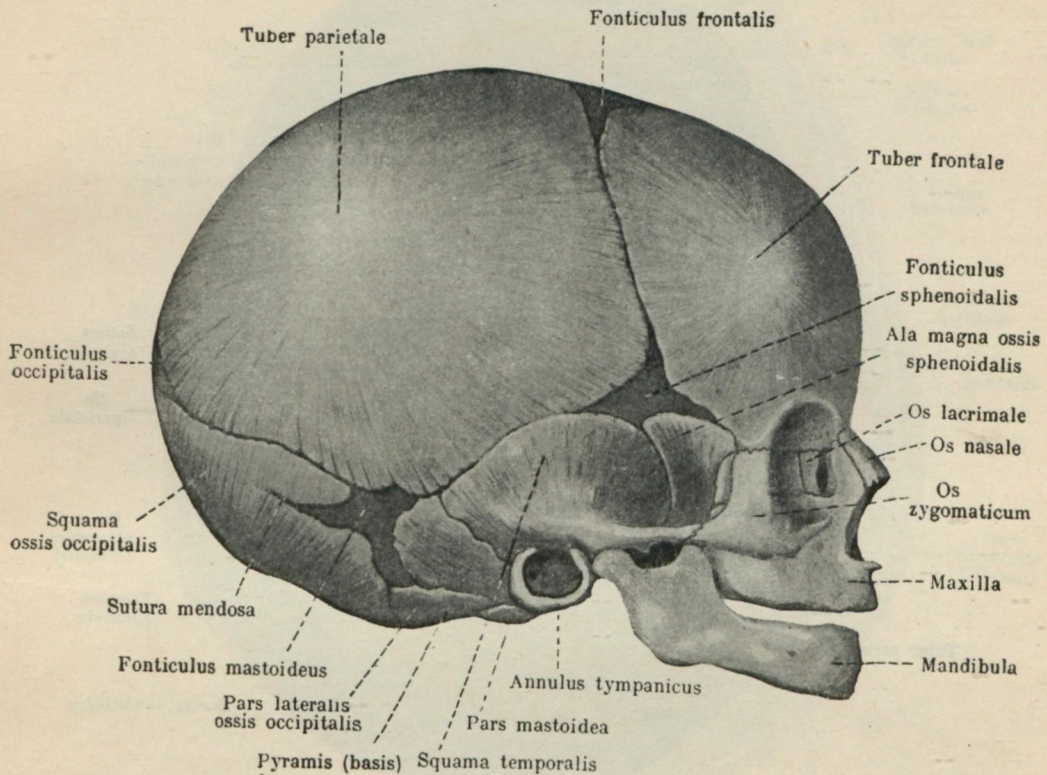
157. Череп новорожденного, сверху ( $\frac{4}{5}$ ).

#### Крыша черепа

*Крыша черепа, calvaria*, у зародыша представлена в виде перепончатого образования, окружающего головной мозг спереди, сзади и с боков и носящего название *перепончатого черепа*. Дальнейшее окостенение крыши черепа происходит в соединительнотканной основе перепончатого черепа, минуя стадию хряща.

К моменту рождения окостенение черепной крыши не заканчивается и остаются неболь-

шие участки перепончатого черепа в виде узких полос на местах будущих межкостных швов (рис. 156—158). В местах схождения нескольких швов остатки перепончатого соединительнотканного черепа расширены и представлены у новорожденного в виде *родничков, fonticuli*. Так например: у места перекреста швов лобного, sutura frontalis, и стреловидного, sutura sagittalis, с венечным, sutura coronalis, находится самый большой,

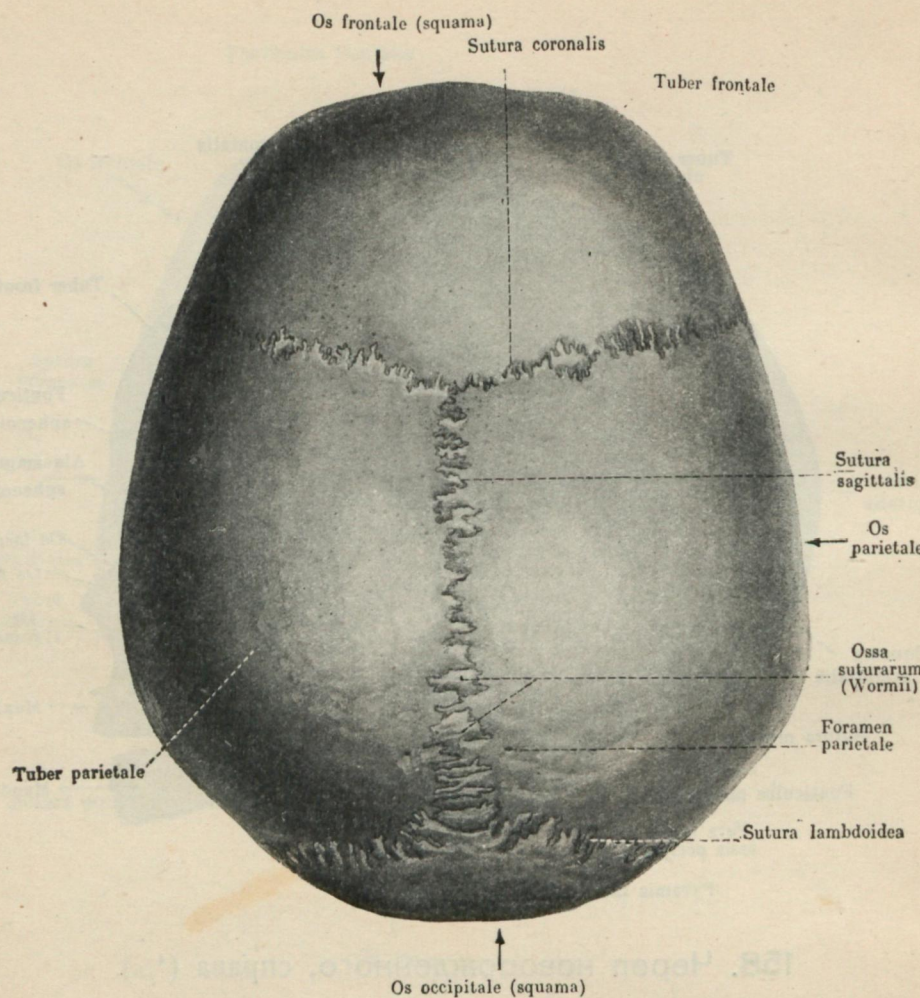


158. Череп новорожденного, справа (<sup>4/5</sup>).

ромбовидной формы, лобный или большой родничок, *fonticulus frontalis s. major*, который окостеневает к концу второго года. У места схождения швов сагиттального и ламбдовидного, *sutura lambdoidea*, — находится затылочный или малый родничок, *fonticulus occipitalis s. minor*, — треугольной формы, окостеневающий вскоре после рождения (рис. 156—158). На боковой поверхности черепного свода имеются еще два парные родничка: основной родничок, *fonticulus sphenoidalis*, щелевидной формы, ограниченный костными краями — чешуи лобной кости, угла теменной кости, угла большого крыла основной кости и чешуи височной кости, и другой — сос-

цевидный родничок, *fonticulus mastoideus*, имеющий вид неправильной формы щели и расположенный на месте схождения трех костей — височной, затылочной и теменной (рис. 158). *Fonticulus sphenoidalis* и *fonticulus mastoideus* зарастают к моменту рождения.

В последующее время внеутробного развития края костей черепной крыши нарастают и приходят в соприкосновение между собой. На этих местах формируются швы, *suturae*. Нередко, в области швов, встречаются кости швов, *os suturatum* (Wormii) (рис. 159, 160). Они развиваются в результате появления дополнительных точек окостенения.

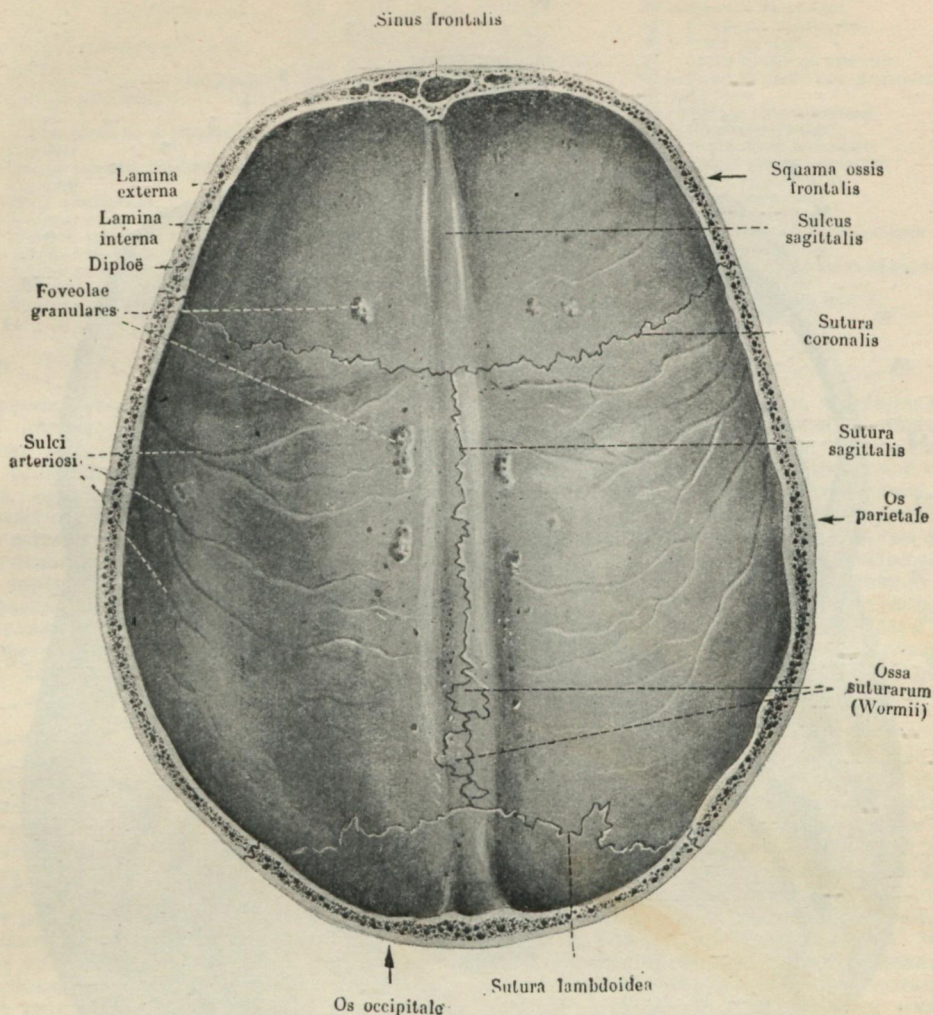


159. Крыша черепа, *calvaria*, сверху и снаружи (<sup>3</sup>/<sub>5</sub>).

#### Наружная поверхность крыши

**Наружная поверхность крыши черепа** гладка; на ней видны костные швы (рис. 159): **стреловидный**, *sutura sagittalis*, расположенный между краями теменных костей; **венечный**, *sutura coronalis*, — между чешуйей лобной кости и теменными костями; **ламбдовидный**, *sutura lambdoidea*, — между чешуйей затылочной кости и теменными костями; **затылочно-сосцевидный шов**, *sutura occipitomastoidea* (рис. 66), — между сосцевидной частью височной кости и боковыми частями затылочной кости; **чешуйчатый шов**, *sutura squamosa*, — между чешуйей височной кости и чешуйчатым краем теменной кости. Про-

должение чешуйчатого шва вперед и вниз, между краем большого крыла и чешуйей височной кости, носит название **основно-чешуйчатого шва**, *sutura sphenosquamosa*. Продолжение того же чешуйчатого шва кпереди, между крылом основной кости и углом теменной, получает название **основно-теменного шва**, *sutura sphenoparietalis* (рис. 66). Передний конец этого шва продолжается вперед и вниз в **основно-лобный шов**, *sutura sphenofrontalis*, расположенный между передним краем большого крыла основной кости и задненижним краем чешуи лобной кости.

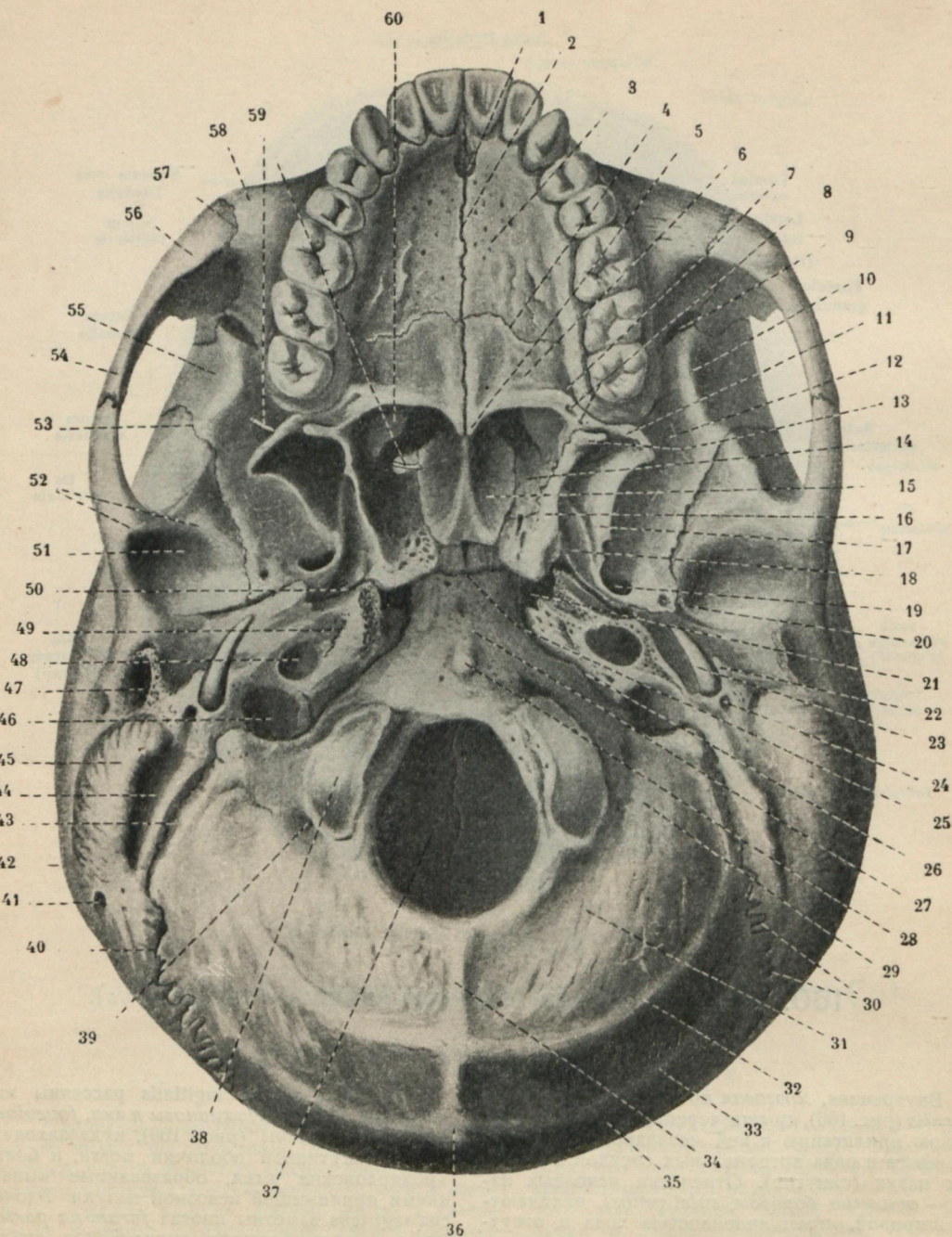


160. Крыша черепа, *calvaria*, снизу и снутри ( $\frac{3}{5}$ ).

Внутренняя поверхность крыши

Внутренняя, мозговая поверхность, *facies cerebralis* (рис. 160), крыши черепа, — неровная благодаря прилеганию к ней негладкой поверхности мозга и ряда артериальных сосудов и венозных пазух (синусов). Отпечатки венозных пазух — венозные борозды, *sulci venosi*, отличаются шириной, прямолинейностью хода и отсутствием ветвлений. К венозным бороздам относятся: стреловидная борозда, *sulcus sagittalis* (рис. 160), идущая от *crista frontalis* до *protuberantia occipitalis interna*. В стороны от *protuberantia occipitalis interna* отходят поперечные борозды, *sulci transversi* (рис. 162), которые, подходя к основанию пирамидки височной кости, продолжаются в *S-образные борозды*, *sulci sigmoidei* (рис. 162).

У краев *sulcus sagittalis* рассеяны множественные мелкие Пахионовы ямки, *foveolae granulares Pacchioni* (рис. 160), куда заходят отростки паутинной оболочки мозга, и большие, Тролярдовские ямки, образованные выпячиваниями прилежащей венозной пазухи. Вдоль *sulcus sagittalis* заметны иногда *foramina parietalia*, относящиеся к группе выпускников, *emissaria*. Кроме того, на внутренней поверхности свода черепа видны глубокие, узкие ветвящиеся артериальные борозды, *sulci arteriosi*, хорошо выраженные в боковых отделах крыши черепа (рис. 160). На внутренней поверхности костей черепа заметны отпечатки извилин и борозд мозга, *impressions digitatae* и *juga cerebralia*.



161. Наружная поверхность основания черепа, *basis cranii externa*, снизу (8/9).

1 — foramen incisivum  
2 — sutura palatina mediana  
3 — processus palatinus maxillae

4 — sutura palatina transversa  
5 — spina nasalis posterior  
6 — pars horizontalis ossis palatini

7 — foramen palatinum majus  
8 — foramina palatina minora  
9 — fissura orbitalis inferior

10 — crista infratemporalis	25 — fissura sphenooccipitalis	43 — sulcus arteriae occipitalis
11 — processus pyramidalis ossis palatini	26 — fissura petrooccipitalis	44 — incisura mastoidea
12 — facies infratemporalis ossis sphenoidalis	27 — basis ossis occipitalis	45 — processus mastoideus
13 — hamulus processus pterygoidei	28 — tuberculum pharyngeum	46 — fossa jugularis
14 — concha sphenoidalis	29 — pars lateralis ossis occipitalis	47 — porus acusticus externus
15 — vomer	30 — sutura occipitomastoidea	48 — foramen caroticum externum
16 — lamina medialis processus pterygoidei	31 — squama ossis occipitalis	49 — pyramis
17 — lamina lateralis processus pterygoidei	32 — linea nuchae inferior	50 — fissura sphenopetrosa
18 — fossa scaphoidea	33 — linea nuchae superior	51 — fossa mandibularis
19 — foramen ovale	34 — crista occipitalis externa	52 — tuberculum articulare
20 — foramen spinosum	35 — linea nuchae suprema	53 — sutura sphenosquamosa
21 — foramen lacerum	36 — protuberantia occipitalis externa	54 — arcus zygomaticus
22 — vagina processus styloidei	37 — foramen occipitale magnum	55 — fossa temporalis
23 — processus styloideus	38 — condylus occipitalis	56 — os zygomaticum
24 — foramen stylomastoideum	39 — foramen condyloideum	57 — sutura zygomaticomaxillaris
	40 — sutura lambdoidea	58 — os zygomaticum
	41 — foramen mastoideum	59 — зонд через foramen sphenopalatinum
	42 — os temporale	60 — concha nasalis inferior

## Основание черепа

Основанием черепа, *basis cranii*, называют ту часть мозгового черепа, которая располагается ниже плоскости, проведенной через protuberantia occipitalis externa и arcus superciliaries. Различают наружную поверхность основания черепа, *basis cranii externa*, и внутреннюю, *basis cranii interna* (рис. 161, 162). Наружная поверхность основания прикрыта в переднем отделе лицевым черепом.

В образовании основания черепа принимают участие глазничные и носовая части лобной кости, решетчатая пластина, *lamina cribrosa*, решетчатой кости, малые и большие крылья,

а также тело основной кости, пирамидки височной кости, тело, боковые части и нижний участок чешуи затылочной кости. Отдельные кости основания черепа соединены между собой частично швами, частично прослойками хрящевой ткани — синхондрозами. Последние имеются между пирамидкой височной кости и основной частью затылочной кости — *synchondrosis petrooccipitalis* (рис. 162); между основной частью затылочной кости и телом основной кости находится *synchondrosis sphenooccipitalis*; между передним краем пирамиды и медиальным отрезком заднего края больших крыльев залегает *synchondrosis sphenopetrosa*.

## Наружная поверхность основания черепа

Наружная поверхность основания черепа, *basis cranii externa* (рис. 161), неровна и богата отверстиями. По средней линии, в задних отделах основания, видны protuberantia occipitalis externa и спускающийся от нее crista occipitalis externa. На стороны от них отходят linea nuchae superior et inferior, кпереди располагается большое затылочное отверстие, foramen occipitale magnum, с суставными отростками, condyli occipitales, по бокам. Основание суставных отростков пронизано косо проходящим каналом подъязычного нерва, canalis p. hypoglossi.

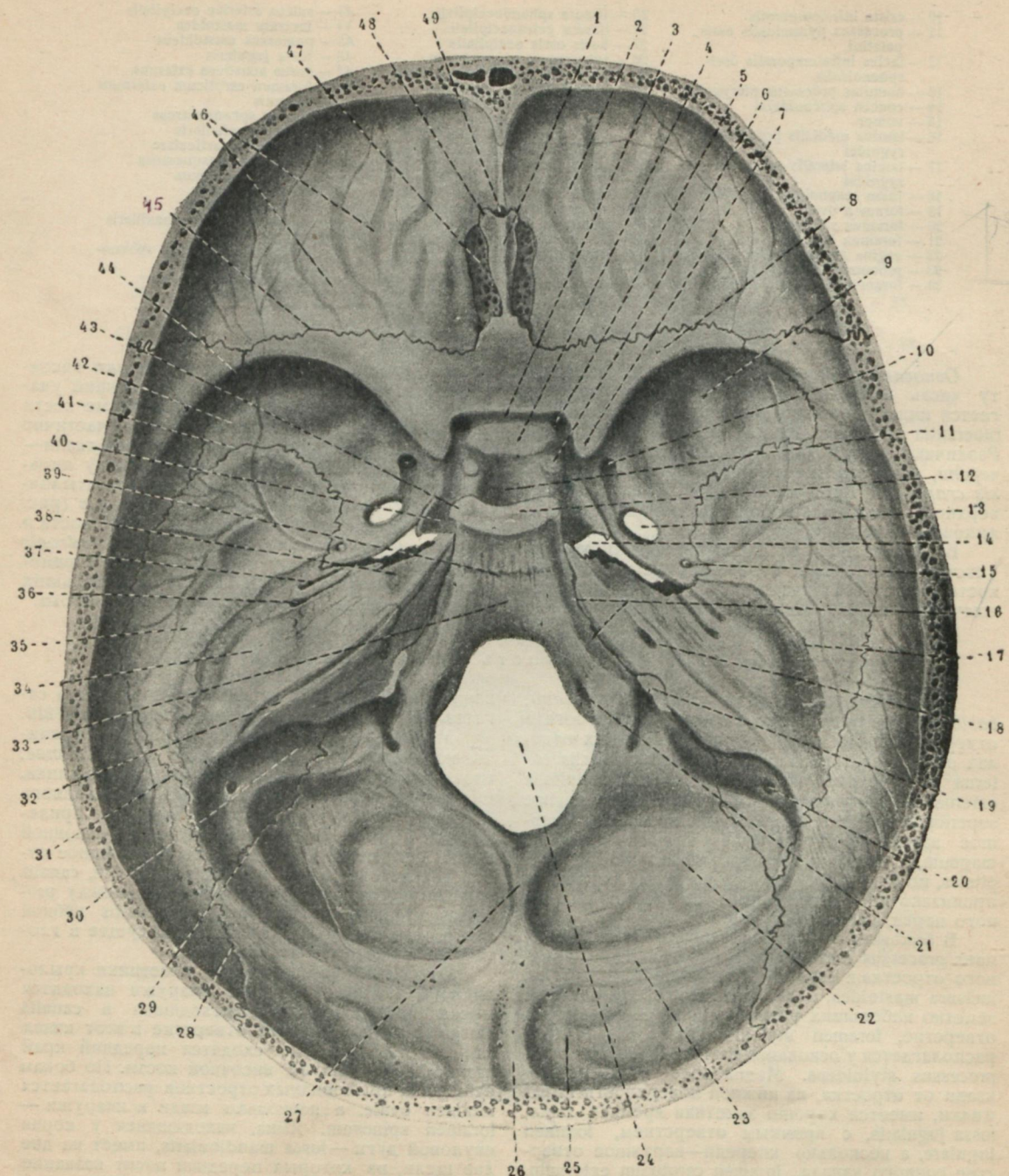
В боковых отделах основания черепа выступает processus mastoideus. У основания сосцевидного отростка и кнутри от него имеется вырезка, incisura mastoidea, медиальную и кпереди которой заметно небольших размеров шило-сосцевидное отверстие, foramen stylomastoideum. Последнее располагается у основания шиловидного отростка, processus styloideus. Медиальное и несколько кзади от отростка, на нижней поверхности пирамидки, имеется хорошо заметная яремная ямка, fossa jugularis, с яремным отверстием, foramen jugulare, а несколько кпереди — наружное отверстие сонного канала, foramen caroticum externum. У верхушки пирамидки височной кости находится отверстие с неровными краями, так называемое *рваное отверстие*, foramen lacerum, в пределах которого заметно выходное, внутреннее отверстие сонного канала, foramen caroticum internum. Кпереди рваного отверстия, под основа-

нием крыловидных отростков, проходит в сагittalном направлении canalis pterygoideus Vidiani.

Медиально крыловидные отростки ограничивают задние отверстия полости носа, choanae, отделенные между собой задним краем сошника. Основание медиальной пластины крыловидного отростка вытянуто в processus vaginalis, прилежащий к нижней поверхности тела основной кости. Остающееся между ними щелевидное отверстие ведет в канал основания глотки, canalis basipharyngeus. Несколько кнаружи, между processus vaginalis и processus sphenoidalnis нёбной кости, имеется другое отверстие, ведущее в глоточный канал, canalis pharyngeus.

От основания медиальной пластины крыловидного отростка кзади и кнаружи находится sulcus tubae auditivae, переходящая в canalis musculotubarius. Входное отверстие в этот канал заметно в углу, где сходятся передний край пирамидки с чешуйкой височной кости. По бокам основания крыловидных отростков располагается foramen ovale, а несколько кзади и кнаружи — foramen spinosum. Ямка, находящаяся у корня склеровидной дуги — fossa mandibularis, имеет на дне две щели, из которых передняя носит название fissura petrosquamosa и задняя — fissura petrotympanica (Glaseri).

Область основания черепа, лежащая латеральнее верхней челюсти и крыловидных отростков, описывают как подвисочную ямку, fossa infratemporalis (см. ниже).



162. Внутренняя поверхность основания черепа, *basis cranii interna*, сверху (9/10).

**1 — crista galli**

## 2 — pars orbitalis ossis frontalis

### 3 — sulcus chiasmatis

#### 4 — tuberculum sellae

### 5 - foramen opticum

6 — processus clinoideus medius

7 — processus clinoides anterior	20 — foramen mastoideum	36 — hiatus canalis facialis
8 — ala parva os is sphenoidalis	21 — canalis n. hypoglossi	37 — apertura superior canaliculi
9 — ala magna osis sphenoidalis	22 — os occipitale	38 — impressio trigemini
10 — foramen rotundum	23 — sulcus transversus	39 — synostosis sphenooccipitalis
11 — os sphenoideale corpus, sella turcica, fossa hypo- physeos	24 — foramen occipitale magnum	40 — sulcus caroticus
12 — dorsum sellae	25 — os occipitale; squama	41 — sutura sphenosquamosa
13 — foramen ovale	26 — sulcus sagittalis	42 — ala magna osis sphenoidalis
14 — foramen lacerum	27 — crista occipitalis	43 — processus clinoides posterior
15 — foramen spinosum	28 — sutura lambdoidea	44 — sutura sphenoarctalis
16 — fissura petrooccipitalis (syn- chondrosis petrooccipitalis) и sulcus petrosus inferior	29 — sutura occipitomastoidea	45 — sutura sphenofrontalis
17 — fissura petrosquamosa	30 — sulcus sigmoideus	46 — juga cerebralia et impressiones digitatae
18 — porus acousticus internus	31 — sutura parietomastoidea	47 — lamina cribrosa
19 — foramen jugulare	32 — sulcus petrosus superior	48 — processus alaris
	33 — os occipitale; pars basi- laris	49 — foramen caecum.
	34 — pars petrosa osis temporalis	
	35 — squama temporalis	

## Внутренняя поверхность основания черепа

**Внутренняя поверхность основания черепа, basis cranii interna** (рис. 162), неравномерно вогнута, соответственно нижней поверхности головного мозга. На ней легко различимы три углубления. Из них одно занимает передний отдел и носит название *передней черепной ямы, fossa cranii anterior*, (место залегания лобных долей полушарий мозга); другое — занимает задний отдел и носит название *задней черепной ямы, fossa cranii posterior*, (место залегания мозжечка), и третье углубление, в промежутке между передней и задней ямами — *средняя черепная яма, fossa cranii media*, (боковые отверстия этой ямы выполнены височными долями полушарий мозга, а центральный отдел ямы — sella turcica, выполнена придатком мозга).

*Передняя черепная яма, fossa cranii anterior*, менее глубокая. Дно ее образуют мозговые поверхности — носовой и глазничных частей лобной кости, малых крыльев основной кости и решетчатой пластинки решетчатой кости. Сзади она ограничена задним заостренным краем малых крыльев. Наиболее углубленным местом передней черепной ямы является область решетчатой пластинки — lamina cribrosa. Здесь выступает петушиный гребень, crista galli, кпереди от которого находится слепое отверстие, foramen caecum.

*Средняя черепная яма, fossa cranii media* (рис. 162), в боковых отделах значительно глубже передней ямы. Средним ее отделом является fossa hypophyseos. Задний край малых крыльев основной кости ограничивает среднюю черепную яму спереди: верхние края пирамидок височных костей и спинка турецкого седла ограничивают ее сзади. Дно средней черепной ямы образуют: тело и большие крылья основной кости, передне-верхняя поверхность пирамидок и мозговая поверхность чешуи височных костей. На дне средней черепной ямы, вдоль боковых краев тела основной кости, с каждой стороны расположено по борозде сонной артерии, sulcus caroticus, которая, направляясь кзади, вниз и книзу, к вершине пирамидки, ведет в foramen

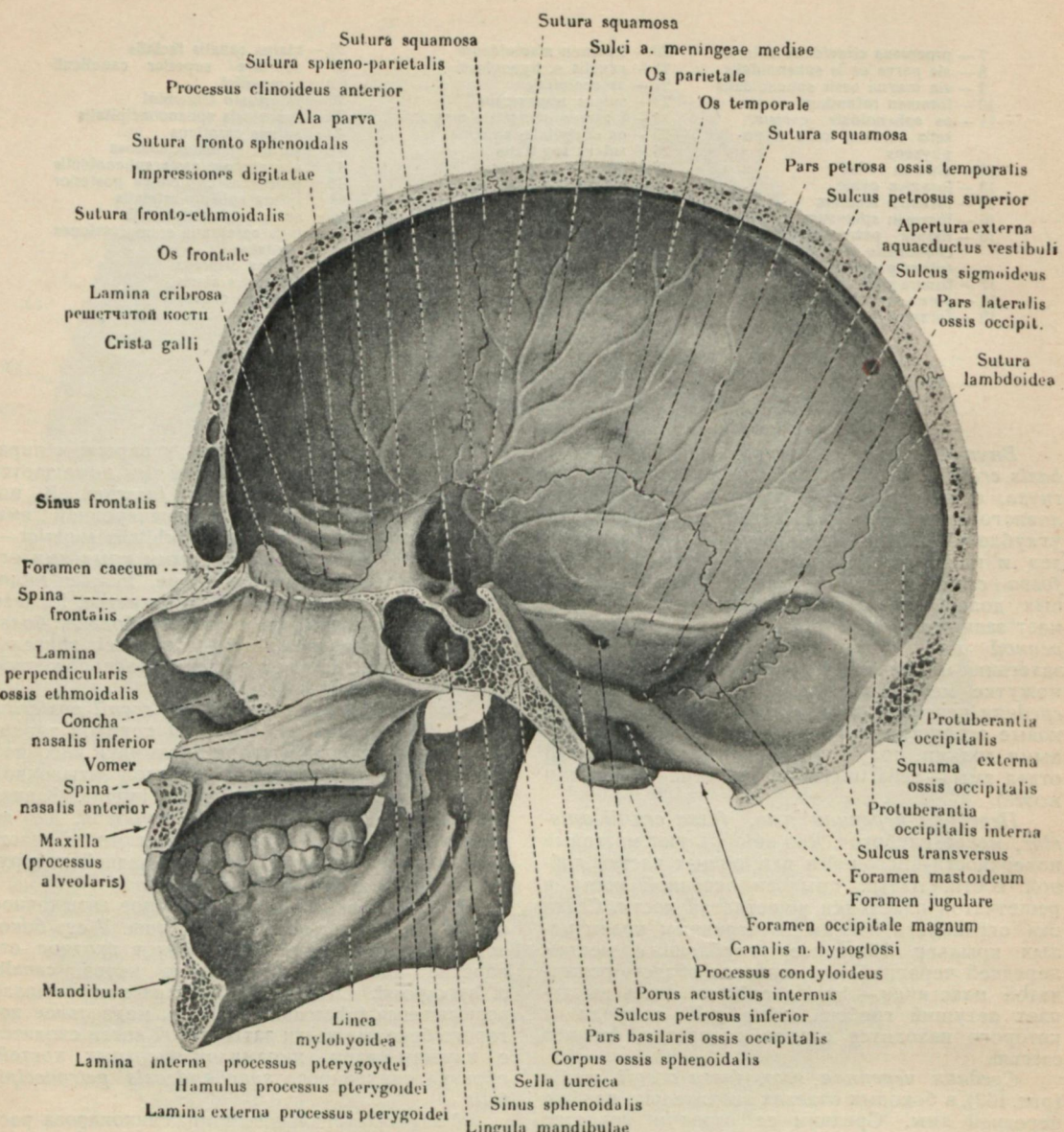
caroticum internum. Здесь же, у вершины пирамидки, на дне средней черепной ямы помещается рваное отверстие, foramen lacerum. В по-лость боковых отделов среднечерепной ямы кроме того обращены: fissura orbitalis superior — щель между большими и малыми крыльями основной кости, круглое отверстие, foramen rotundum, овальное, foramen ovale, и остистое, foramen spinosum, — все эти отверстия прободают большие крылья основной кости — и, наконец, зрительное отверстие, foramen opticum, расположенное у корня малых крыльев.

*Задняя черепная яма, fossa cranii posterior* (рис. 162), ограничена спереди спинкой турецкого седла и верхним углом пирамидки височной кости; сзади — поперечной бороздой затылочной кости и protuberantia occipitalis interna. Задняя черепная яма является самой глубокой. Дно ее образуется телом, боковыми частями и участками чешуи затылочной кости и задней поверхностью пирамидки височной кости.

В центре ее находится большое затылочное отверстие, foramen occipitale magnum. У его боковой полуокружности открывается входное отверстие канала подъязычного нерва, canalis n. hypoglossi. Сбоку от отверстия этого канала возвышается tuberculum jugulare, медиальнее которого боковые части затылочной кости сходятся с нижним краем пирамидок височных костей, образуя синхондроз, synchondrosis petrooccipitalis.

У задне-латерального конца синхондроза расположено яремное отверстие, foramen jugulare, образованное одноименными вырезками на partes petraeae височных и partes laterales затылочной костей.

На внутренней поверхности partes mastoidea хорошо заметна S-образная борозда, sulcus sigmoides. Являясь продолжением поперечной борозды, sulcus transversus, S-образная борозда направляется на теменную и височную кости и заканчивается у foramen jugulare. На дне этой борозды иногда заметны отверстия — foramina mastoidea, относящиеся к группе выпускников, emissaria Santorini.

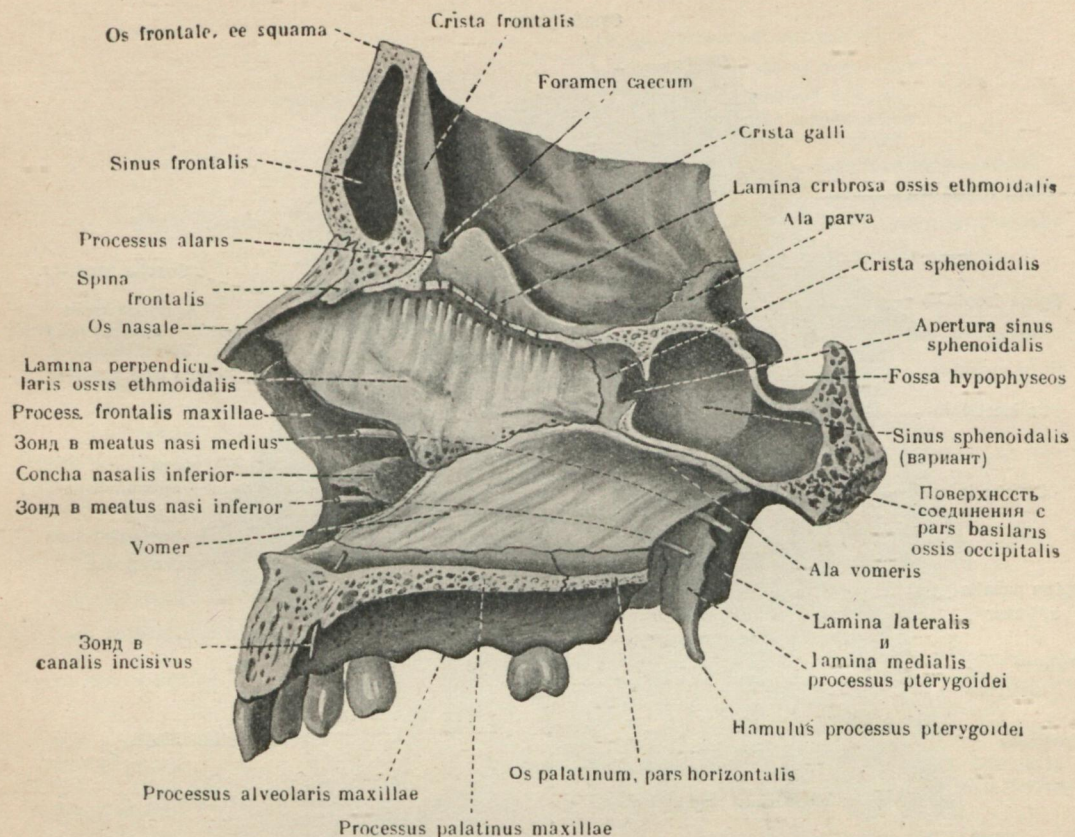
163. Череп, *cranium*, правая сторона, снутри ( $\frac{2}{3}$ ).

[Сагиттальный распил несколько кнаружи от срединной плоскости].

## Полость носа

Полость носа, *cavum nasi* (рис. 63, 163—170), занимает почти центральное положение в лицевом черепе. К полости носа относят собственно носовую полость, *cavum nasi*, и придаточные полости носа, *околоносовые пазухи*, *si-*

*nus paranasales*, представленные ячейками решетчатой кости, *cellulae ethmoidales*, лобными пазухами, *sinus frontales*, пазухами верхнечелюстных костей, *sinus maxillares*, и пазухой основной кости, *sinus sphenoidalis*.



**164. Костный скелет перегородки носовой полости, слева ( $1/1$ ).**  
[Сагиттальный распил несколько кнаружи от срединной плоскости].

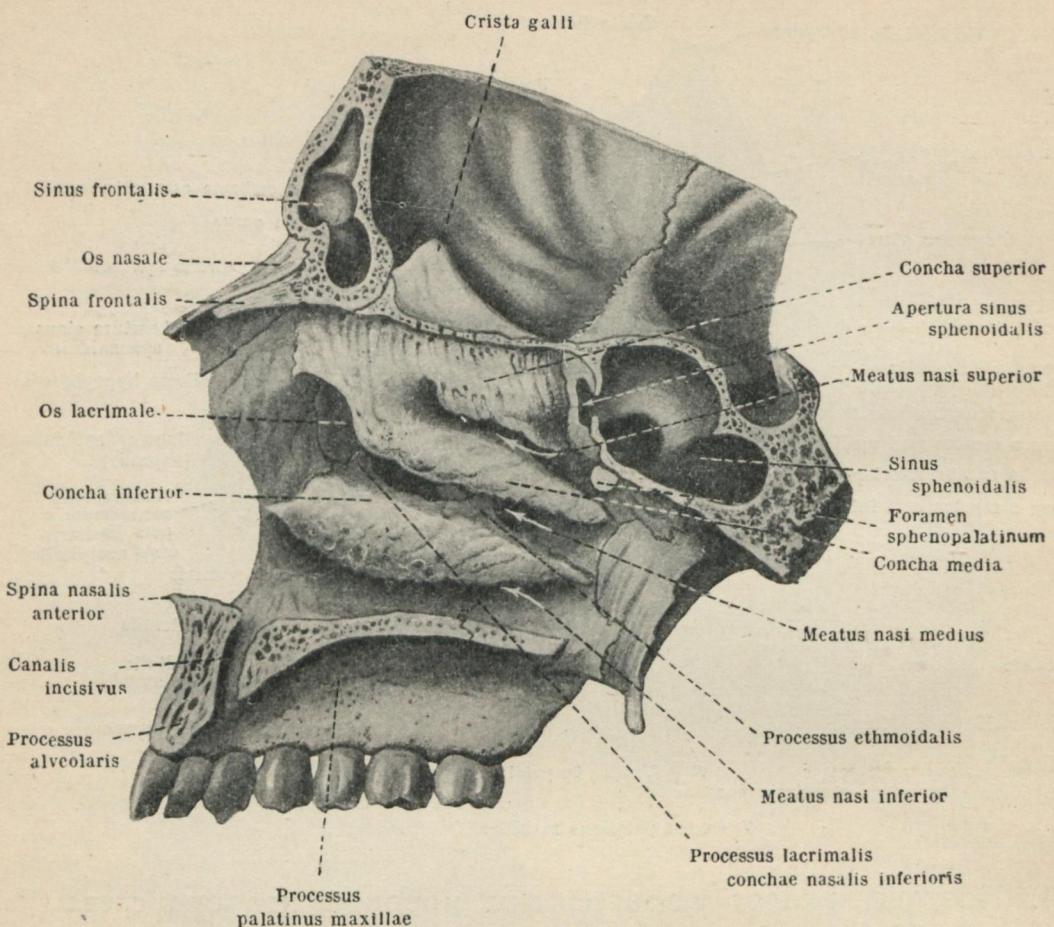
Собственно носовая полость ограничена костными стенками снизу и сверху, частично спереди, сзади и с боков. Впереди полость носа открывается грушевидным отверстием, *apertura piriformis*, сзади — двумя задними отверстиями полости носа, носящими название *хоаны*, *choanae*. Располагаясь над полостью рта, носовая полость отделена от нее костями *твердого нёба*, *palatum durum*, являющимися дном полости носа. Простираясь кверху до dna передней черепной ямы, полость носа отделена от нее решетчатой пластинкой, *lamina cribrosa*, решетчатой кости.

Костной носовой перегородкой, *septum nasi osseum*, полость носа разделена на правый и левый отделы. Перегородка не доходит до переднего, грушевидного, отверстия, и это отверстие является общим для обоих отделов. Заднее же отверстие разделено перегородкой на два отдела (*choanae*). На немацерированном черепе носовую перегородку дополняет спереди хрящевая часть перегородки, *cartilago septi nasi*.

Костную перегородку носа образуют: перпендикулярная пластинка решетчатой кости (*lamina perpendicularis ossis ethmoidalis*) и сошник (*vomer*). Первая занимает передне-верхний, второй — задне-нижний отделы перегородки. Передний край сошника в верхнем участке соединен с нижним краем перпендикулярной пластинки, верхний край сошника — с гребешком тела основной кости и нижний — с *crista nasalis*.

Передняя стенка полости носа имеется лишь в верхнем отделе и образована носовыми костями, *ossa nasalia*. Нижний отдел представлен грушевидным отверстием, *apertura piriformis*, которое ограничено сверху нижним краем носовых костей, с боков и снизу — носовыми вырезками тел верхнечелюстных костей и спереди — передней носовой остью, *spina nasalis anterior*.

Задняя стенка полости носа имеется также лишь на незначительном протяжении вверху и образована передней поверхностью тела основной кости. Ниже задняя стенка отсут-

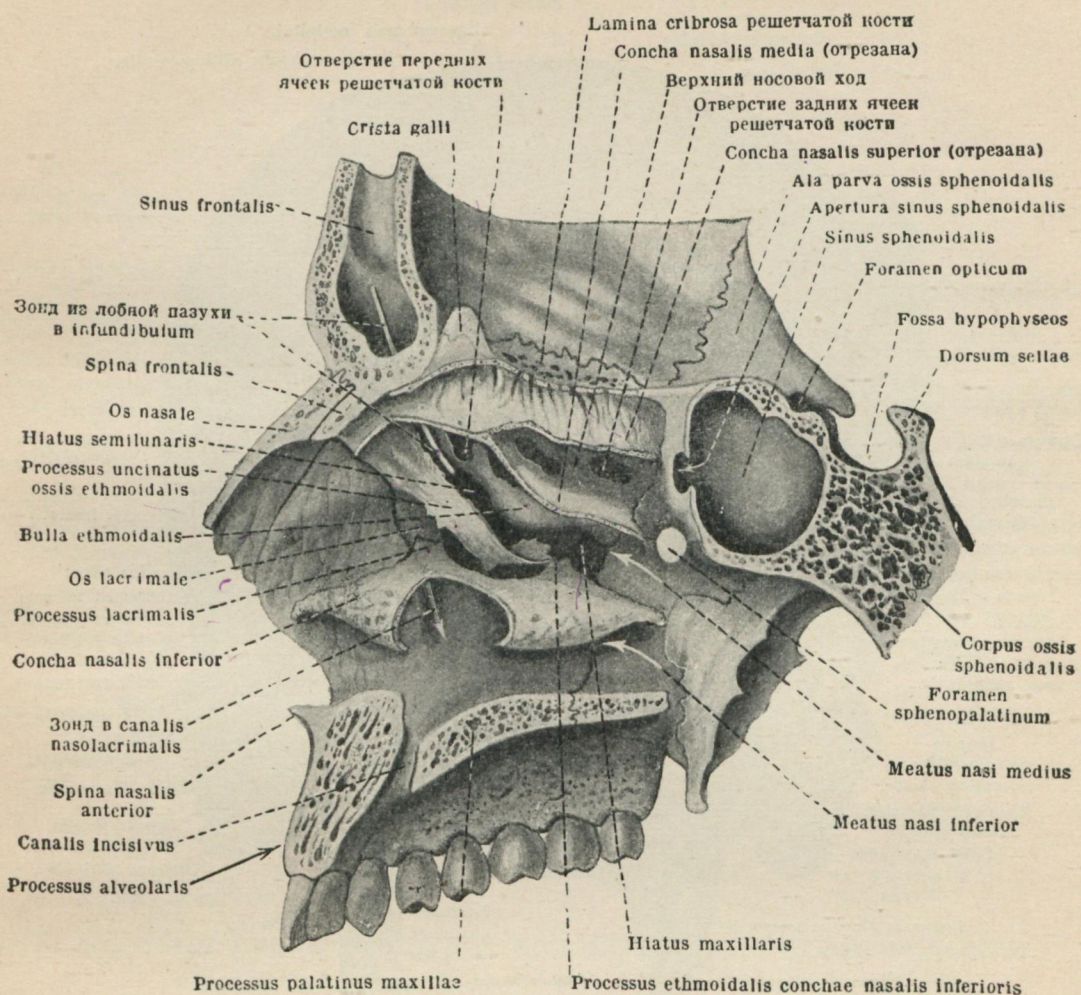


165. Наружная стенка скелета носовой полости, справа (1/1).

ствует, там имеются указанные два отверстия — хоаны, choanae. Каждое из них ограничено снутри задним краем сошника, сверху — крылом сошника и влагалищным отростком крыловидного отростка и небольшим участком тела основной кости между ними; снаружи каждая хоана ограничена медиальной пластинкой крыловидного отростка и прилегающим к ней участком перпендикулярной части нёбной кости; снизу — краем горизонтальной части нёбной кости.

*Верхняя стенка полости носа* образована решетчатой пластинкой решетчатой кости и частично телом основной кости с *conchae sphenoidales* (*ossicula Bertini*), выдающимися своими верхними отделами кпереди. На макерированном черепе через отверстия в решетчатой пластинке полость носа сообщается с полостью передней черепной ямы.

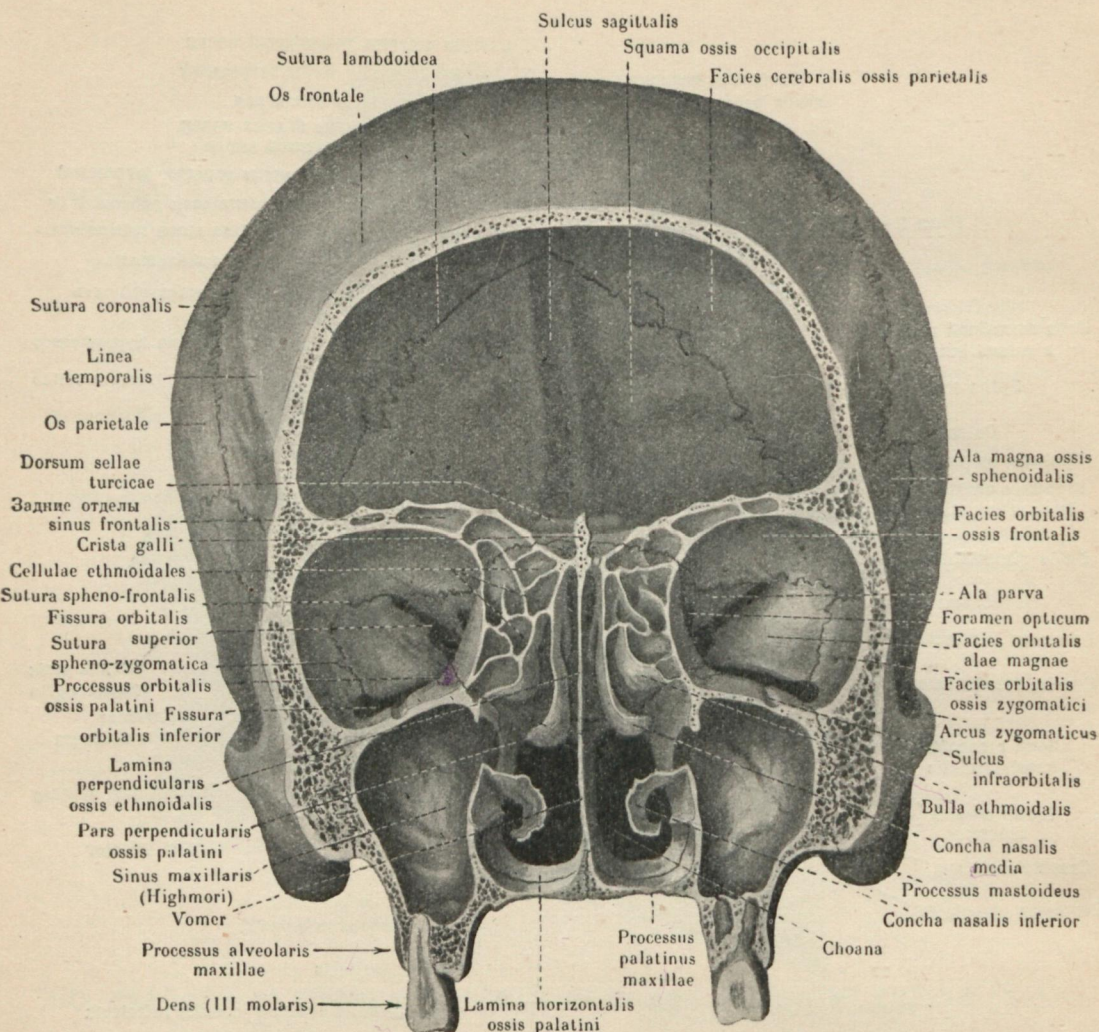
*Нижняя стенка (дно) полости носа* (рис. 170) образована нёбными отростками верхнечелюстных костей, сходящимися в *sutura palatina media*па, и горизонтальными частями нёбных костей, составляющими задний отдел стенки. По линии серединного шва, в полость носа выступает носовой гребешок, *crista nasalis*. К нему прилежит и с ним соединен нижний край сошника. По обе стороны от гребешка нижняя стенка вогнута в виде парного жолоба, более мелкого и узкого впереди и более глубокого и широкого кзади. В переднем отделе, по бокам от перегородки носа, нижняя стенка полости носа несет по отверстию, ведущему в резцовый канал, *canalis incisivus*. Канал этот открывается на серединном шве твердого нёба, со стороны полости рта, общим резцовым отверстием, *foramen incisivum*.



165а. Наружная стенка скелета носовой полости, справа ( $\frac{1}{1}$ ).  
[Серединно-сагиттальный распил; верхняя, средняя и часть нижней носовой раковины удалены].

Наружные стеники полости носа несколько отклоняются от сагиттальной плоскости, сближаясь вверху и отдаляясь внизу и еще более внизу и кзади. Рельеф наружной стенки осложнен выступающими в полость носа раковинами. В образовании самой стенки принимают участие: носовые поверхности — лобного отростка и тела верхнечелюстной кости, внутренние поверхности — слезной кости, лабиринта решетчатой кости перпендикулярной части нёбной кости и медиальной пластинки крыловидного отростка основной кости. Кроме того, в образовании наружной

стеники принимают участие также и отростки нижней носовой раковины (processus lacrimalis, maxillaris и ethmoidalis). Задне-верхний отдел наружной стенки образован глазничным и основным отростками нёбной кости. Находящаяся между ними основно-нёбная вырезка, incisura sphenopalatina (рис. 136), замыкается телом основной кости в основно-нёбное отверстие, foramen sphenopalatinum (рис. 165а, 175). На макерированном черепе через это отверстие полость носа сообщается с полостью крыло-нёбной ямки. Нижняя носовая раковина, как и две дру-



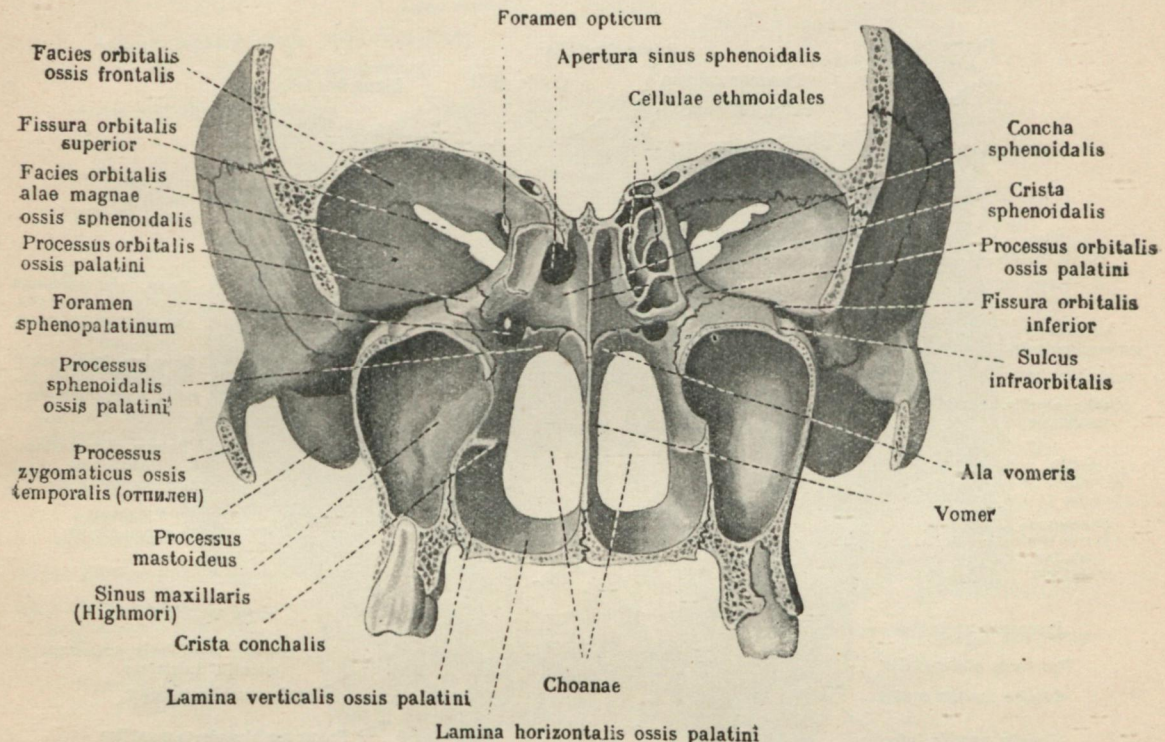
166. Костный скелет носовой полости, передние отделы; спереди ( $\frac{2}{3}$ ).  
[Фронтальный распил через лобные отростки скуловых костей.]

гие — средняя и верхняя,—изогнута и обращена выпуклостью к перегородке носа, а свободным продольным краем свисает книзу в полость носа.

Между боковой стенкой полости носа и наружной поверхностью каждой раковины остаются вытянутые спереди назад пространства, носящие названия *носовых ходов, meatus nasi* (рис. 165а). Под верхней носовой раковиной располагается *верхний носовой ход, meatus nasi superior*, под средней — *средний, meatus nasi medius*, и под нижней — *нижний, meatus nasi*

*inferior*. Все три носовые хода направлены спереди назад и своими задними концами, располагаясь один над другим, доходят до вертикальной линии, проведенной на уровне нижнего края *foramen sphenopalatinum*.

*Верхний носовой ход, meatus nasi superior*, наиболее короткий, идет несколько косо сверху вниз и кзади. Своим передним концом он доходит только до середины наружной стенки полости носа, а задним — до верхней полуокружности *foramen sphenopalatinum* (рис. 165а). Против зад-



### 167. Костный скелет носовой полости, задние отделы; спереди (<sup>2/3</sup>).

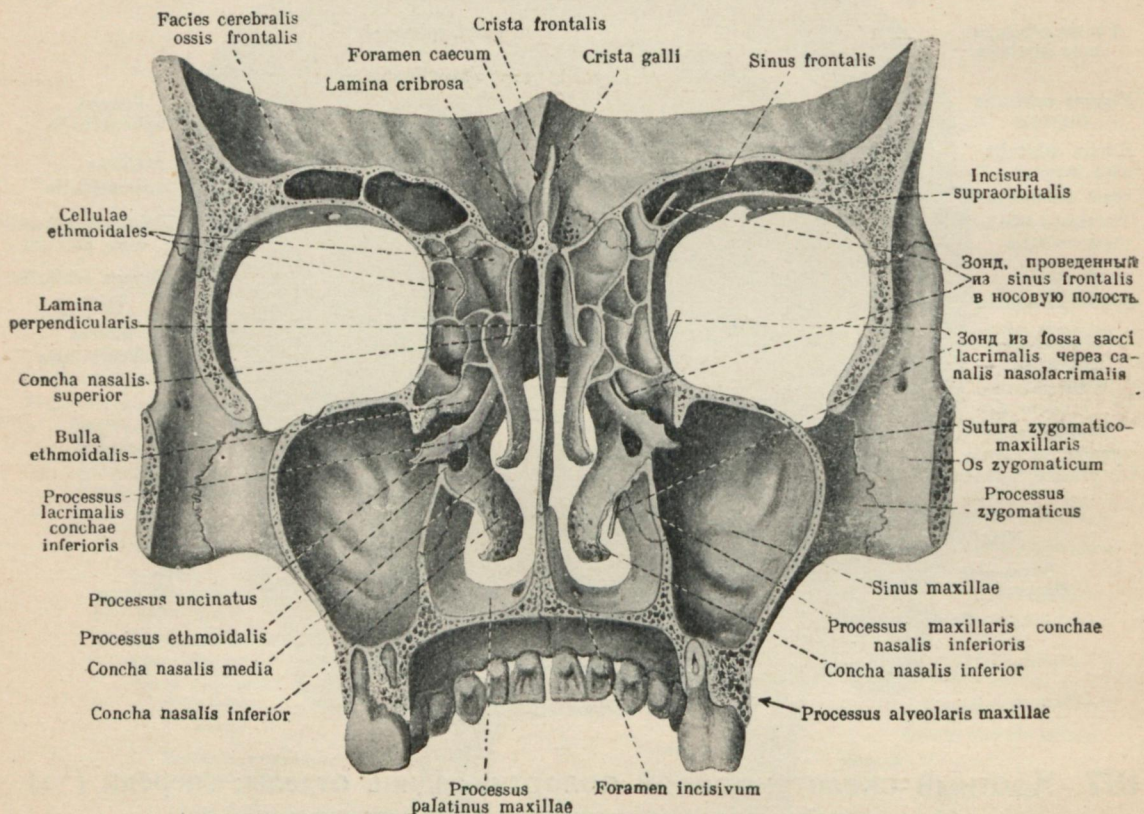
[Фронтальный распил через височные отростки скуловых костей.]

него конца этого хода расположено *отверстие пазухи основной кости*, *apertura sinus sphenoidealis* (рис. 165а). В полость верхнего хода открываются средние и задние ячейки лабиринта решетчатой кости.

*Средний носовой ход*, *meatus nasi medius*, начинаясь в переднем отделе наружной стенки полости носа, приблизительно на уровне заднего края носовой поверхности лобного отростка, идет в сагittalном направлении и подходит к передне-нижней полуокружности *foramen sphenopalatinum* (рис. 165а).

В полость среднего носового хода открываются: передние ячейки лабиринта решетчатой кости, лобная пазуха, и Гайморова полость. Отверстие пазухи верхнечелюстной кости располагается в задне-верхнем отделе наружной

стенки полости носа и открывается в полость среднего носового хода, причем отверстие это значительно меньше, чем оно представлено на отдельной верхнечелюстной кости. К его переднему, нижнему и заднему краям прилежат отростки нижней раковины (слезный, челюстной и решетчатый). Отделившись от переднего края средней раковины, крючковидный отросток, *processus uncinatus*, направляется косо вниз, назад и книзу и заканчивается соединением с решетчатым отростком нижней раковины. Огибаая на своем пути спереди и снизу *bulla ethmoidalis*, крючковидный отросток с одной стороны образует с нижней поверхностью *bullae* полуулунной формы щель воронки, *hiatus semilunaris infundibuli*, с другой делит оставшуюся часть *hiatus maxillaris* на два отдела —

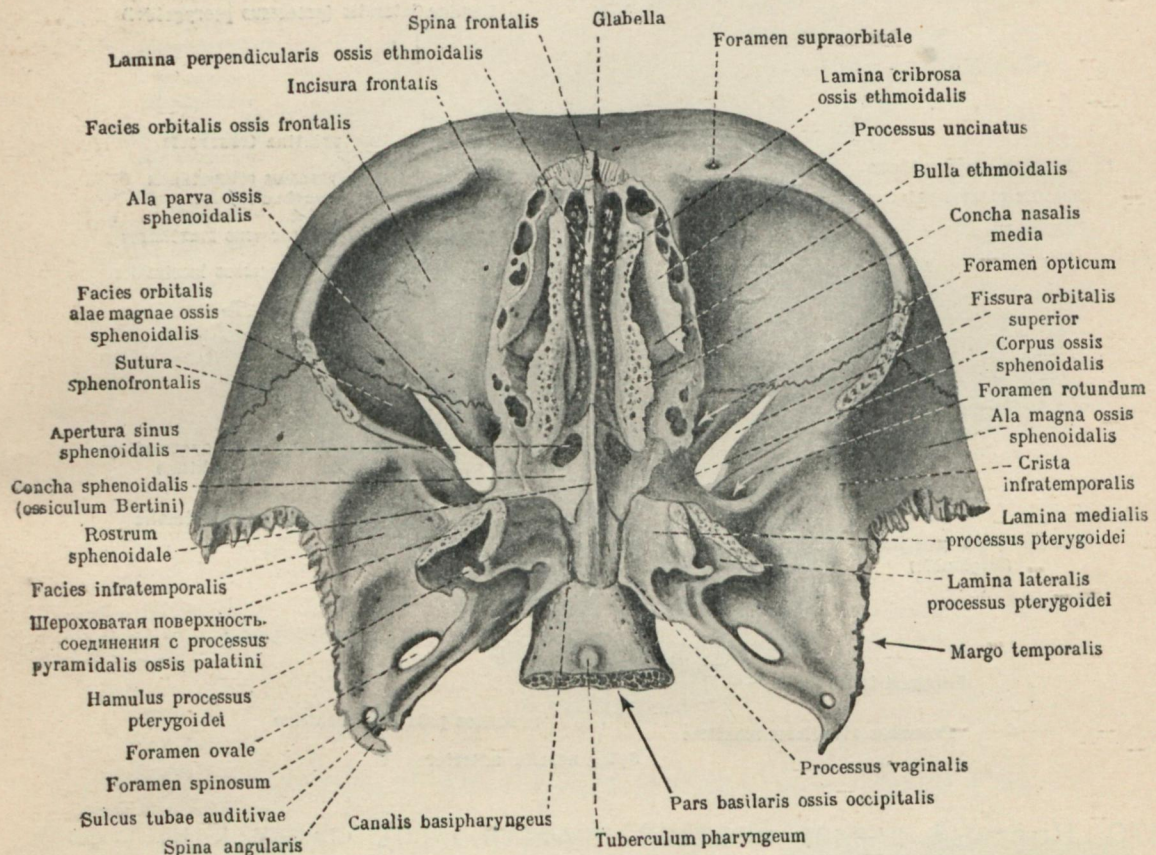
168. Костный скелет носовой полости, сзади ( $\frac{3}{4}$ ).

[Фронтальный распил через передние отделы скуловых дуг].

передне-нижний и задне-верхний (рис. 165а). *Hiatus semilunaris infundibuli* является щелью, сообщающей полость среднего носового хода с пазухой верхней челюсти. Продолжение этой полулунной щели кверху (между боковой поверхностью *processus uncinatus* и *bulla ethmoidalis*) воронкообразно расширяется и носит название *воронки решетчатой кости, infundibulum*

*ethmoidale*. Последняя, направляясь вверх, вдоль крючковидного отростка, сообщает средний носовой ход с отверстиями передних ячеек решетчатой кости, а в самом верху—с отверстием пазухи лобной кости, *apertura sinus frontalis* (рис. 165а).

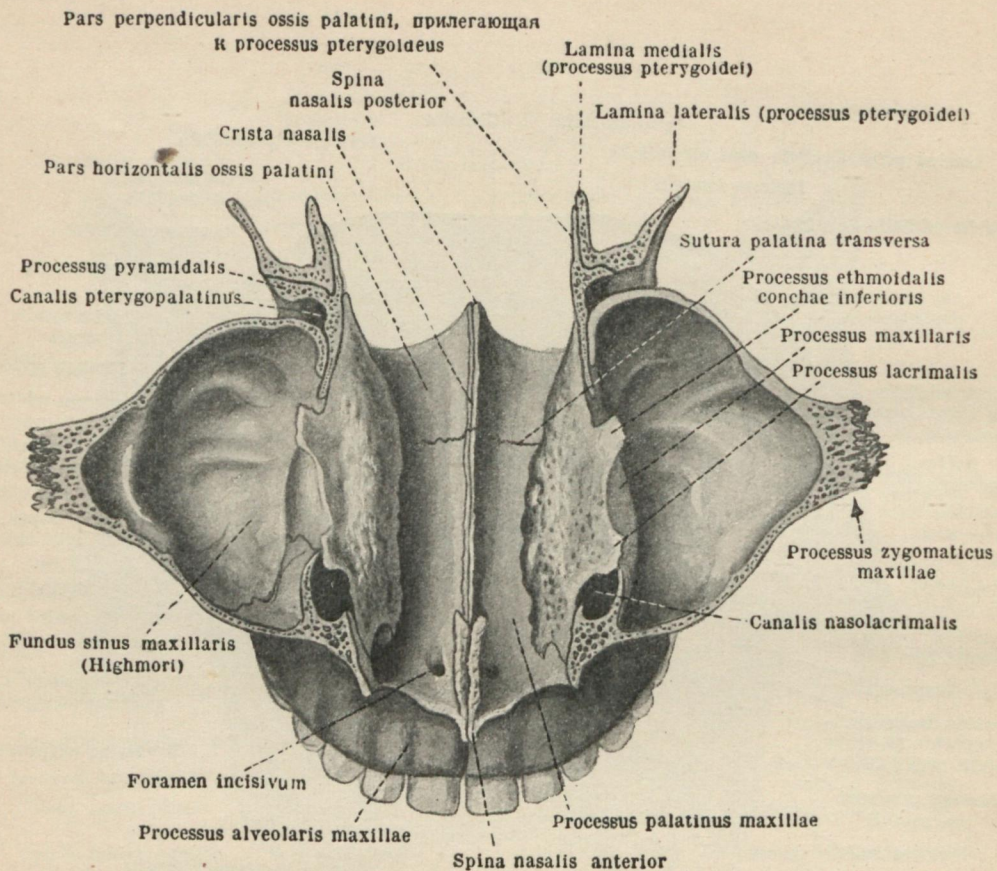
*Нижний носовой ход, meatus nasi inferior*, наиболее длинный, направляется несколько па-

169. Костный скелет носовой полости (крыша), снизу ( $\frac{2}{3}$ ).

[Верхнечелюстные, нёбные скуловые и носовые кости удалены.]

параллельно среднему. В переднем его отделе открывается слезно-носовой канал, *canalis nasolacrimalis* (рис. 165а, 173), сообщающий нижний носовой ход с полостью глазницы. Между концами раковины и краем заднего отверстия полости носа остается пространство, ограниченное снизу горизонтальной частью нёбной кости, сбоку — медиальной пластинкой крыловидных

отростков основной кости, сверху — влагалищным отростком крыловидного отростка, телом основной кости и крылом сошника и снутри — задним отделом сошника. Пространство это носит название носо-глоточного хода, *meatus nasopharyngeus*. Щель, остающаяся с каждой стороны перегородки носа, носит название общего носового хода, *meatus nasi communis*.



**170. Костный скелет носовой полости (дно), сверху и несколько спереди ( $^{1/1}$ ).**

[Верхнечелюстные, нёбные кости и крыловидный отросток основной кости удалены горизонтальным распилом через скуловые отростки верхнечелюстных костей.]

**Глазница**

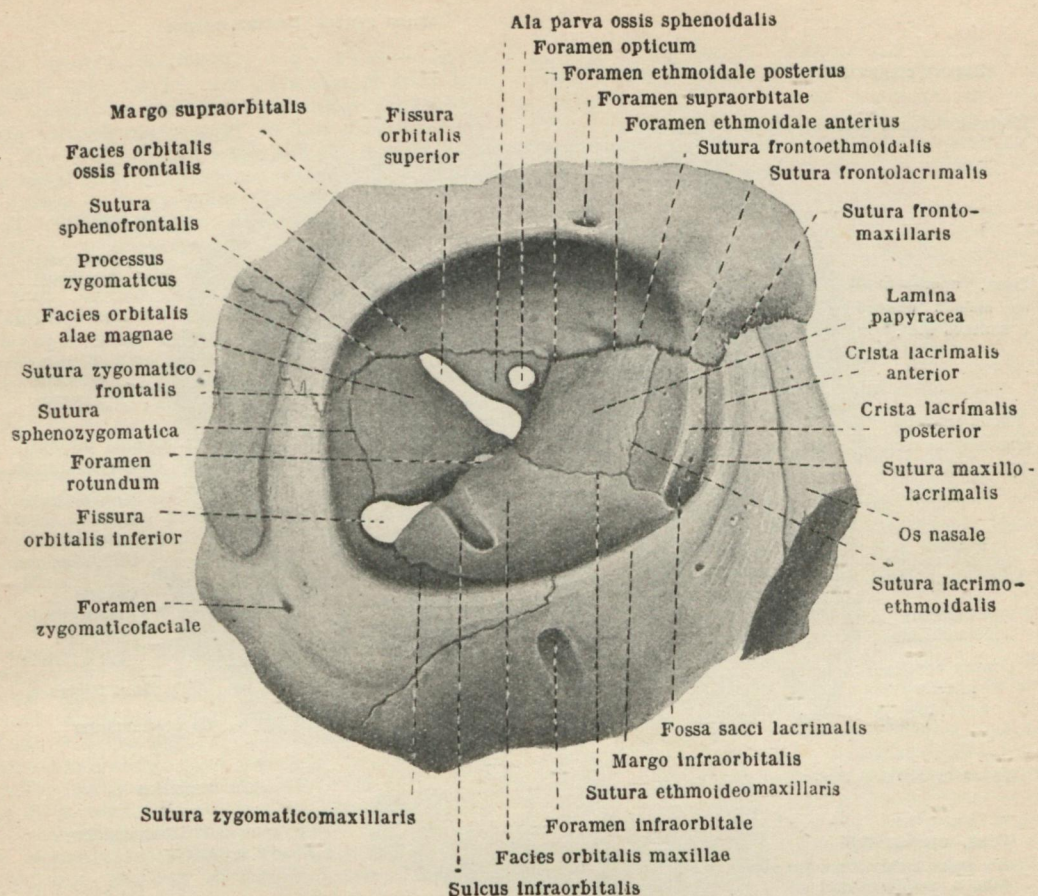
Глазница, *orbita* (рис. 171—176), является вместилищем глазного яблока с его мышцами, нервами и сосудами, а также слезной железы и жира. Форма ее приближается к четырехсторонней пирамиде, обращенной основанием кпереди, вершиной — кзади и внутрь.

Края основания ограничивают *вход в глазницу*, *aditus orbitae*. Последний образован в верхнем отделе надглазничным краем лобной кости, снаружи — глазничным краем лобно-основного отростка скуловой кости, снизу — подглазничным краем тела верхнечелюстной и скуловой костей,

снутри — лобным отростком верхнечелюстной и носовым отделом лобной кости.

В образовании стенок глазницы участвуют: лобная, скуловая, верхнечелюстная, слезная, решетчатая, нёбная и основная кости.

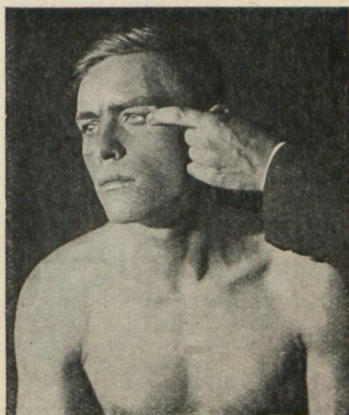
Верхняя, стенка или свод глазницы, расположена горизонтально. В переднем отделе она образована глазничной частью лобной кости; в заднем, меньшем отделе — нижней поверхностью малого крыла основной кости. Эта стенка отделяет полость глазницы от полости передней черепной ямы. В передне-латеральном углу верх-



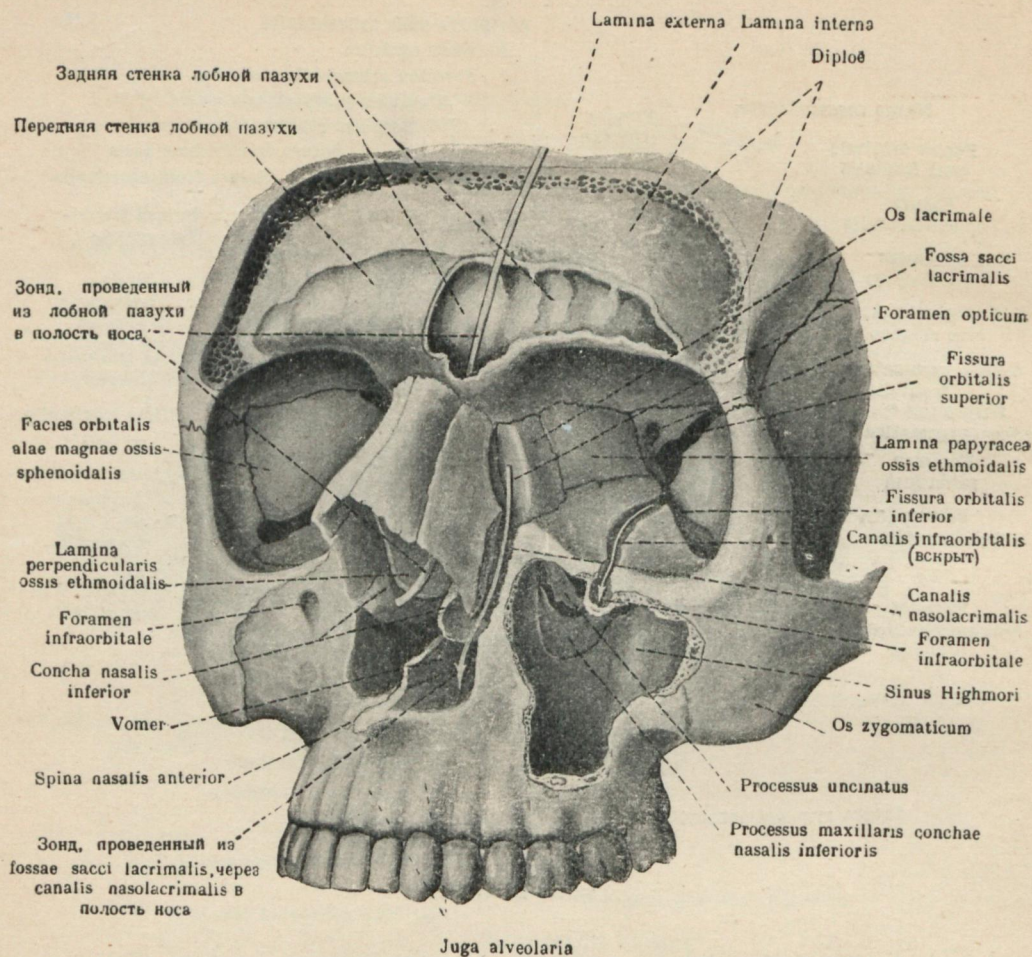
171. Глазница, *orbita*, спереди и несколько снутри ( $\frac{2}{3}$ ).

ней стенки глазницы находится ямка слезной железы, *fossa glandulae lacrimalis*; в передне-медиальном углу ее расположены блоковая ямка, *fovea trochlearis*, и блоковая ость, *spina trochlearis* (чаще всего хрящевая). На верхней поверхности, в поперечном направлении, идет основно-лобный шов, *sutura sphenofrontalis*, — место соединения малого крыла с глазничной частью лобной кости. У медиального края, на нижней поверхности малого крыла, открывается отверстие канала зрительного нерва, *foramen opticum*, сообщающее глазницу с среднепереной ямкой.

Наружная стенка глазницы в переднем отделе образована медиальной поверхностью скулового отростка и глазничной поверхностью основно-лобного отростка скуловой кости, в заднем — глазничной поверхностью большого крыла основной кости. Со стороны наружной стенки глазницы видно, что края указанных поверхностей соединены между собой швами: у верхнего края глазничной поверхности лобного отростка скуловой кости находится лобно-скуловой шов, *sutura zygomaticofrontalis* (рис. 171), у верхнего края глазничной поверхности большого крыла — основно-лобный, *sutura sphenofrontalis*, являющийся продолжением лобно-скулового шва; у переднего края основно-скелевой шов, *sutura sphenozygomatica*. Верхний край



172. Прощупывание наружного края глазницы.



### 173. Череп, спереди и несколько слева ( $\frac{3}{4}$ ).

[Лобная пазуха, sinus frontalis, пазуха верхнечелюстной кости, sinus maxillaris, слезно-носовой канал, canalis nasolacrimalis, и нижнеглазничный канал, canalis infraorbitalis, вскрыты].



наружной стенки глазницы в задней трети, а нижний — почти на всем протяжении, свободны и принимают участие в образовании *верхней глазничной щели*, fissura orbitalis superior, и *нижней*, fissura orbitalis inferior. На глазничной поверхности основно-лобного отростка скуловой кости находится скуло-глазничное отверстие, foramen zygomaticoorbitale, сообщающееся при посредстве каналов с одноименными отверстиями на височной и лицевой поверхностях скуловой кости (здесь входит скуловой нерв).

*Нижняя стенка* глазницы поката кпереди и кнаружи. Она образована глазничными поверхностями — скуловой кости, тела верхнечелюстной и глазничного отростка нёбной кости. Медиальный край нижней стенки, в переднем его отделе, соединен с нижним краем слезной кости в *слезно-челюстном шве*, sutura lacrimotmaxillaris; далее кзади — с нижним краем бумажной пла-

### 174. Прощупывание нижнеглазничного края, margo infraorbitalis.

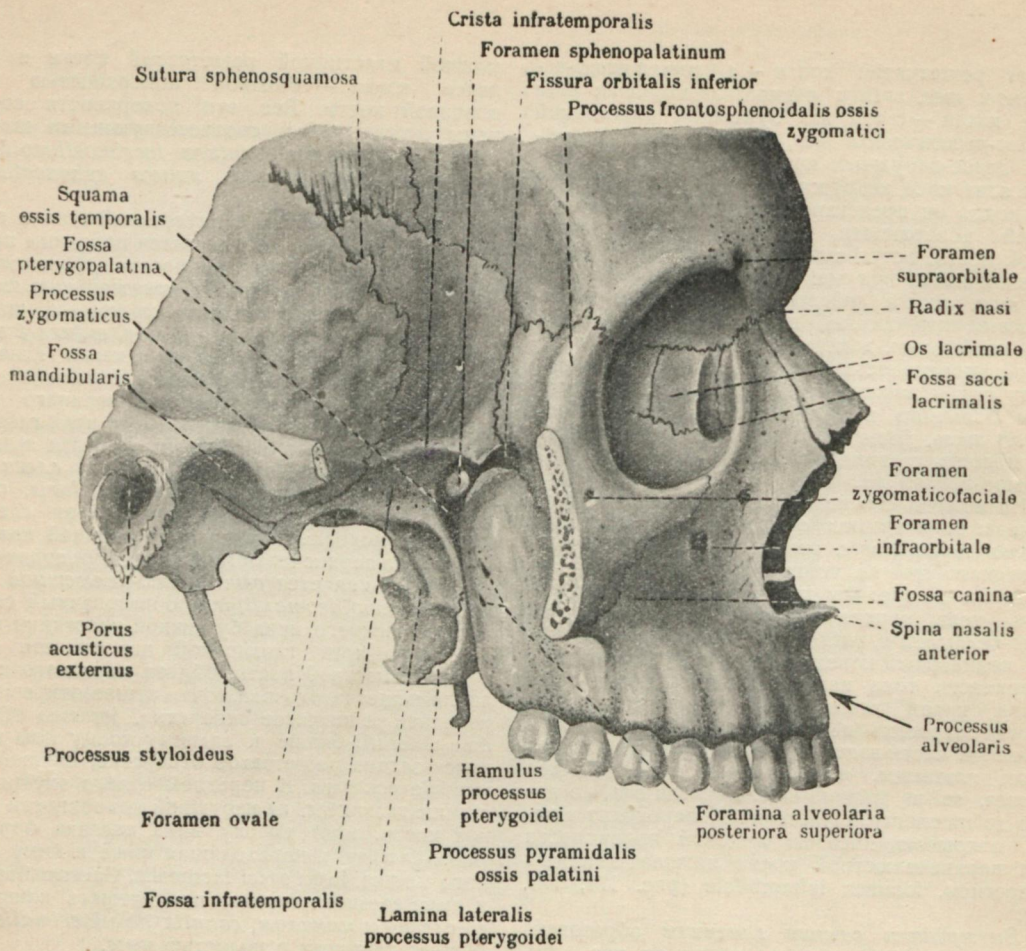
стинки решетчатой кости — в решетчато-челюстном шве, *sutura ethmoideomaxillaris*; еще более кзади — с той же бумажной пластинкой в нёбно-решетчатом шве, *sutura palatoethmoidalis*. Задне-наружный край нижней стенки глазницы идет косо кнаружи и вперед. У внутреннего конца он представлен задним краем глазничной поверхности глазничного отростка нёбной кости, вступающим в соединение с телом основной кости при посредстве основно-глазничного шва, *sutura sphenoorbitalis*. Далее, задне-наружный край нижней стенки глазницы, оставаясь свободным, доходит до заднего края глазничной поверхности скуловой кости. Здесь, между ним и нижним краем глазничной поверхности большого крыла, имеется нижняя глазничная щель, *fissura orbitalis inferior*, сообщающая полость глазницы с полостями подвисочной и крыло-нёбной ям.

На нижней стенке глазницы находятся еще два шва: один из них скуло-челюстной, *sutura zygomaticomaxillaris*, является местом соединения заднего края глазничной поверхности скуловой кости с передним краем глазничной поверхности тела верхнечелюстной кости; другой, нёбно-челюстной, *sutura palatomaxillaris*, соединяет медиальный конец заднего края глазничной поверхности тела верхнечелюстной кости с передним краем глазничной поверхности глазничного отростка нёбной кости. От середины свободной части задне-бокового края, по нижней стенке глазницы, идет кпереди подглазничная борозда, *sulcus infraorbitalis*. Борозда эта, не доходя до нижнеглазничного края, переходит в канал, открывающийся на лицевой поверхности тела верхнечелюстной кости низнеглазничным отверстием, *foramen infraorbitale* (рис. 171, 173, 176).

Внутренняя стенка глазницы образована впереди — слезной костью, кзади от нее — бу-

мажной пластинкой решетчатой кости и еще далее кзади — боковой поверхностью тела основной кости. Все эти поверхности соединены между собой соответствующими швами: слезно-решетчатым, *sutura lacrimoethmoidalis*, и основно-решетчатым, *sutura sphenoethmoidalis*.

У передних отделов внутренней стенки глазницы слезная кость соединяется передним краем со слезным краем лобного отростка верхнечелюстной кости, образуя слезно-челюстной шов, *sutura lacrimomaxillaris*, верхним краем — с лобной костью, давая лобно-слезный шов, *sutura frontolacrimalis*. Продолжением его кзади является лобно-решетчатый шов, *sutura frontoethmoidalis*, образованный соединением верхнего края бумажной пластиинки и медиального края глазничной поверхности лобной кости. Нижняя граница внутренней стенки глазницы идет по слезно-челюстному шву, *sutura lacrimomaxillaris*, образованному соединением нижнего края слезной кости и медиального края глазничной поверхности тела верхнечелюстной кости. Продолжением его кзади является решетчато-челюстной шов, *sutura ethmoideomaxillaris*, образованный соединением нижнего края бумажной пластиинки и медиального края глазничной поверхности тела верхнечелюстной кости. Вблизи переднего конца лобно-решетчатого шва, почти на шве, открывается переднее решетчатое отверстие, *foramen ethmoidale anterius*, ближе к заднему концу шва находится заднее решетчатое отверстие, *foramen ethmoidale posterius*. В переднем отделе внутренней стенки глазницы, на наружной поверхности слезной кости, идет сверху вниз слезная борозда, *sulcus lacrimalis*, переходящая ниже в ямку слезного мешка, *fossa sacci lacrimalis*. Слезная борозда и ямка слезного мешка, продолжаясь книзу носо-слезным каналом, *canalis nasolacrimalis*, сообщает глазницу с полостью носа.



175. Височная, *fossa temporalis*, подвисочная, *fossa infratemporalis*, и крыло-нёбная, *fossa pterygopalatina*, ямы; правые ( $\frac{3}{4}$ ).

[Скуловая дуга удалена.]

#### Височная яма

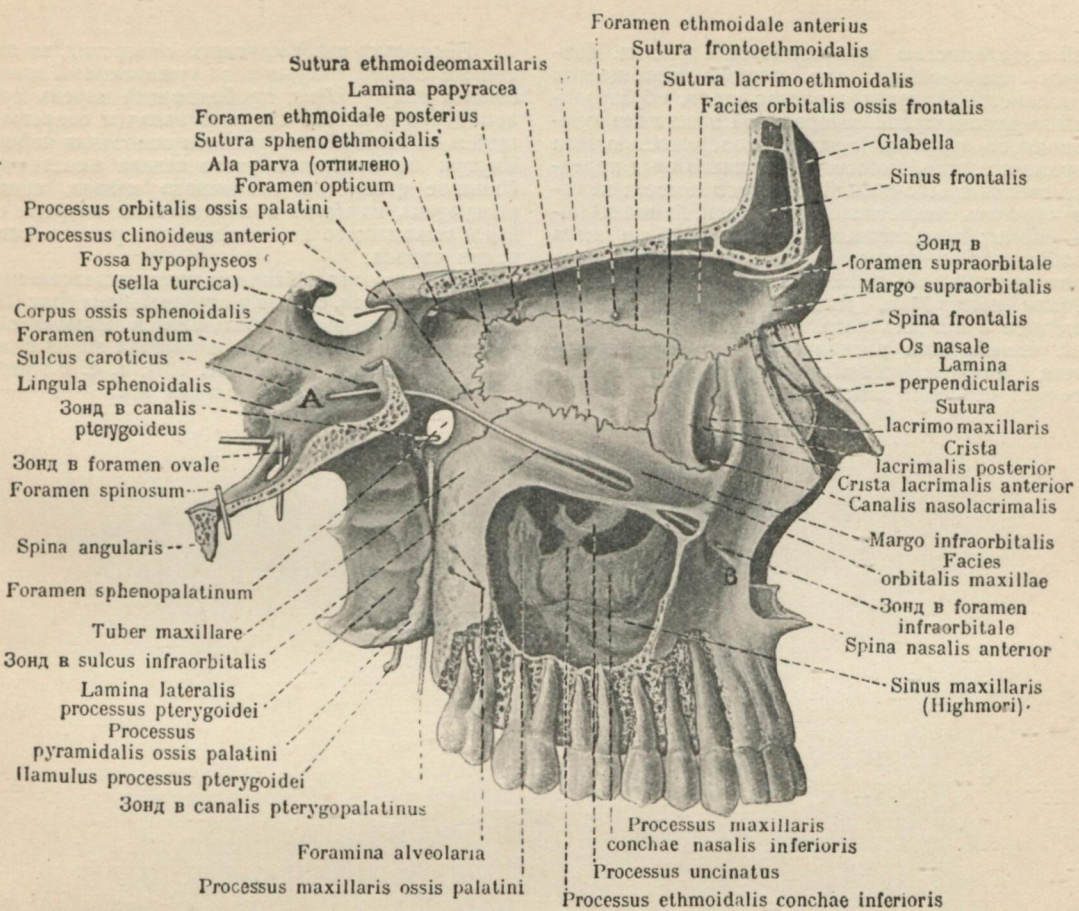
Височная яма, *fossa temporalis* (рис. 175, 176), располагается на наружных боковых поверхностях крыши черепа. Дном ее является височная площадка, *planum temporale*, которую образуют: височная поверхность чешуи лобной кости, теменная поверхность основного угла теменной кости, височные поверхности — большого крыла основной и чешуи височной кости. Нижней границей височной ямы является подвисочный гребень, *crista infratemporalis*, за которым книзу расположена

подвисочная яма, *fossa infratemporalis*, распространяющаяся на наружное основание черепа. Верхней границей височной ямы является височная линия, *linea temporalis*. Височная поверхность скуловой дуги может быть представлена как латеральная и от части передняя стенки височной ямы. У верхнего края передней стенки находится скуло-височное отверстие, *foramen zygomatico-temporale*. (Височная яма выполнена височной мышцей, *m. temporalis*.)

#### Подвисочная яма

Подвисочная яма, *fossa infratemporalis* (рис. 175, 176), расположена ниже подвисочного гребня. Ее переднюю стенку образуют: подвисоч-

ная поверхность тела верхнечелюстной кости и нижний отдел височной поверхности скуловой кости; внутреннюю стенку составляет наружная



### 176. Внутренняя поверхность глазницы (<sup>4/5</sup>).

[Сагиттальный распил несколько кнаружи от линии, проведенной от овального отверстия основной кости к верхнеглазничному отверстию лобной кости.]

пластика крыловидного отростка; наружной стенкой является венечный отросток нижней челюсти, и, наконец, верхняя стенка представлена горизонтальной частью большого крыла основной кости. Передний край латеральной пластики крыловидного отростка неплотно прилегает к телу верхнечелюстной кости, благодаря чему подвисоч-

ная яма продолжается внутрь *крыло-нёбной ямы*, *fossa pterygopalatina*. В передне-верхнем углу подвисочной ямы находится часть нижней глазничной щели, сообщающая подвисочную яму с полостью глазницы. На передней стенке (*facies infratemporalis maxillae*) видны *foramina alveolaria posteriora*.

### Крыло-нёбная яма

*Крыло-нёбная яма*, *fossa pterygopalatina* (рис. 175, 176), расположена медиальнее подвисочной ямы и является ее продолжением. Крыло-нёбная яма ограничена: сверху — нижней поверхностью тела и отходящего от него большого

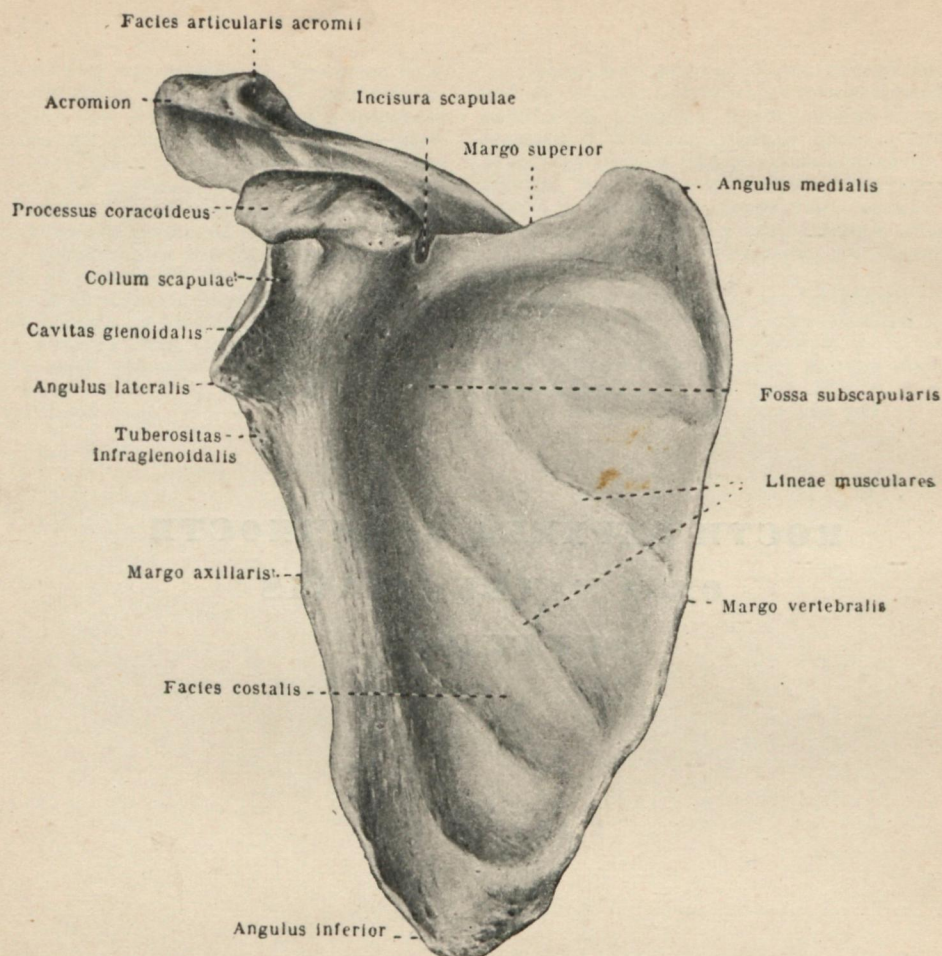
крыла основной кости; спереди — медиальным краем задней поверхности тела верхнечелюстной и задней поверхности глазничного отростка нёбной кости; снутри — наружной поверхностью вертикальной части нёбной кости; сзади — перед-

ней поверхностью крыловидного отростка. Кнаружи крыло-нёбная яма широко сообщается с подвисочной при посредстве щели, образованной передним краем латеральной пластинки крыловидного отростка и задней поверхностью тела верхнечелюстной кости. У верхнего края передней стенки крыло-нёбной ямы расположена медиальная часть нижнеглазничной щели, *fissura orbitalis inferior*; посредством нее крыло-нёбная ямка сообщается с полостью глазницы. У верхнего края внутренней стенки ямы имеется *основно-нёбное отверстие*, *foramen sphenopalatinum*, ведущее в полость носа. В верхнем отделе задней стенки ямы располагается *круглое отверстие*, *foramen rotundum*, ведущее в полость средней черепной ямы.

Несколько ниже круглого отверстия, на задней же стенке, открывается *крыловидный канал*, *canalis pterygoideus*, прободающий корень крыловидного отростка спереди назад и открывающийся на нижней поверхности основания черепа. Кнутри от отверстия этого канала имеется небольшое отверстие глоточного канала, *canalis pharyngeus*, идущего в направлении спереди назад и выходящего на нижнюю поверхность основания черепа.

Книзу крыло-нёбная яма продолжается в крыло-нёбный канал, *canalis pterygopalatinus* (рис. 170, 176), открывающийся большим и малыми нёбными отверстиями (*foramina palatina majus et minora*) на твердом нёбе (рис. 131), т. е. в заднем отделе верхней стенки полости рта.

**КОСТИ ВЕРХНЕЙ КОНЕЧНОСТИ  
OSSA EXTREMITATIS  
SUPERIORIS**

177. Лопатка, *scapula*, правая, спереди ( $\frac{5}{8}$ ).**КОСТИ ВЕРХНЕЙ КОНЕЧНОСТИ, OSSA EXTREMITATIS SUPERIORIS**

Верхняя конечность, *extremitas superior*, делится на пояс верхней конечности, или плечевой пояс, *cingulum extremitatis superioris*, и свободную часть, *pars libera extremitatis superioris*.

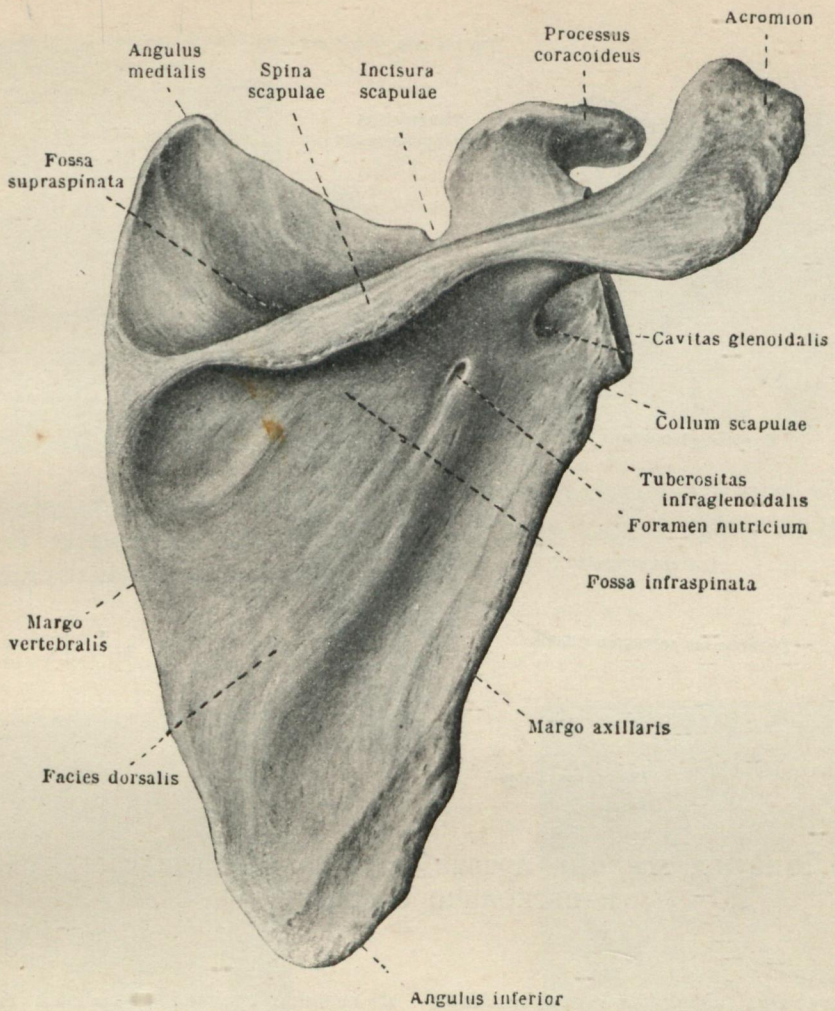
**Кости плечевого пояса**

Пояс верхней конечности, *cingulum extremitatis superioris*, состоит из двух костей: лопатки, *scapula*, и ключицы, *clavica* (рис. 41).

**Лопатка**

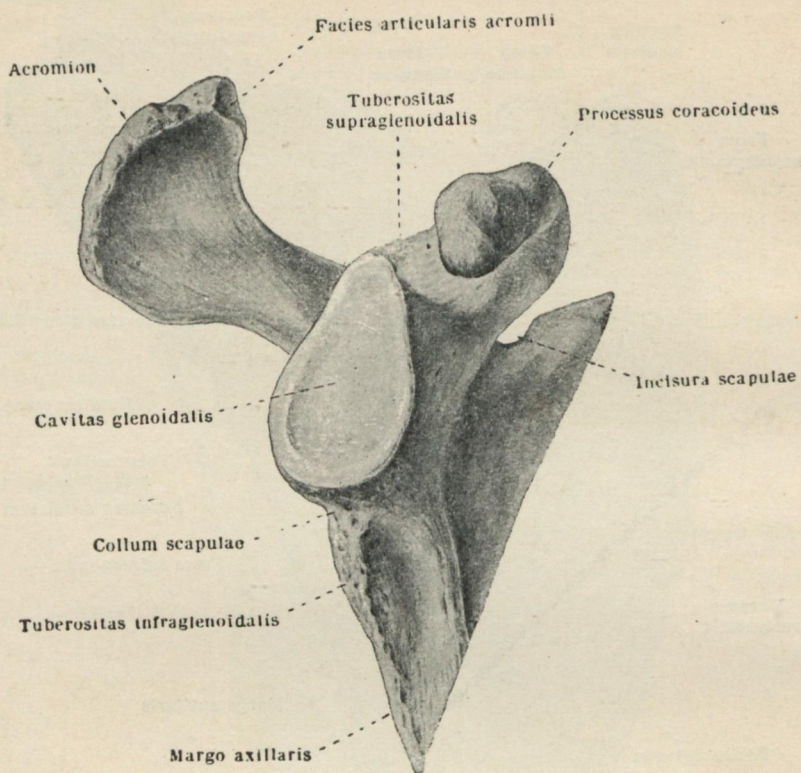
Лопатка, *scapula* (рис. 177—183), парная, плоская, треугольной формы кость, располагается на задней поверхности грудной клетки в пределах от II—III до VII—VIII ребер. Лопатка

имеет три края: внутренний, наиболее длинный позвоночный край, *margo vertebralis*, хорошо прощупываемый через кожу (рис. 183); наружный, утолщенный, подкрыльцевый край, *margo*

178. Лопатка, *scapula*, правая, сзади ( $\frac{5}{8}$ ).

*axillaris*, и верхний край, *margo superior*, наиболее короткий и тонкий. В наружном отделе верхнего края имеется хорошо выраженный клювовидный отросток, *processus coracoideus*. Отросток этот начальной своей частью обращен вверх; затем, изгибаясь, уклоняется наружу и вперед, заканчиваясь небольшим, округлой формы, утолщением. У основания клювовидного отростка, кнутри от него, на верхнем крае лопатки заметна непостоянной формы лопаточная вырезка, *incisura scapulae*. На лопатке раз-

личают три угла: тупой, утолщенный, *нижний угол*, *angulus inferior*, легко прощупываемый через кожу (рис. 182), и два верхние, из которых внутренний угол, *angulus medialis*, заострен и истончен, а наружный угол, *angulus lateralis*, утолщен и имеет суставную поверхность, с которой сочленяется плечевая кость. Верхний наружный угол несет с латеральной стороны овальной формы суставную впадину, *cavitas glenoidalis*, суживающуюся кверху. Выше и ниже суставной впадины выступают шероховато-



179. Лопатка, *scapula*, правая, верхне-наружная часть, снаружи и несколько спереди ( $\frac{1}{4}$ ).

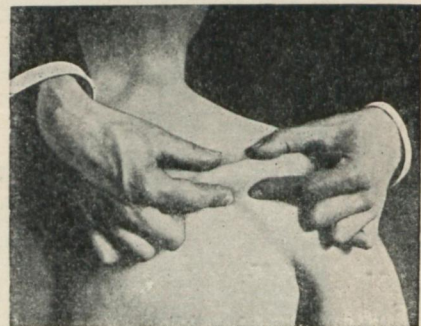
сти, надсуставная, *tuberositas supraglenoidalis*, и подсуставная, *tuberositas infraglenoidalis*; последняя лучше выражена и более обширна. Кнутри от края суставной впадины имеется по окружности небольшой суженный участок, называемый *шейкой лопатки*, *collum scapulae*.

На передней, реберной поверхности лопатки, *facies costalis*, в направлении от позвоночного края к наружному углу идут мышечные линии, *lineae musculares*. Передняя поверхность вогнута, и углубление ее носит название подлопаточной ямки, *fossa subscapularis*. На выпуклой задней поверхности, *facies dorsalis scapulae*, располагается поперечно, приблизительно

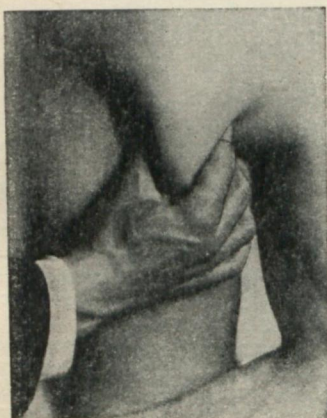
на границе средней и верхней трети лопатки, хорошо развитый костный выступ, — лопаточная ость, *spina scapulae*. Последняя отделяет расположенную над ней надостную ямку, *fossa supraspinata*, от лежащей внизу подостной ямки, *fossa infraspinata*; надостная глубже, но меньших размеров. Лопаточная ость продолжается наружу в плечевой отросток, *acromion*, который направлен вперед и слегка вверх, и в котором плоская верхняя поверхность обращена несколько назад и такая же нижняя — вперед. Спереди на плечевом отростке выражена небольшая суставная поверхность, *facies articularis acromii*, соединяющаяся с ключицей.



180. Прощупывание клювовидного отростка лопатки, *processus coracoideus scapulae*.



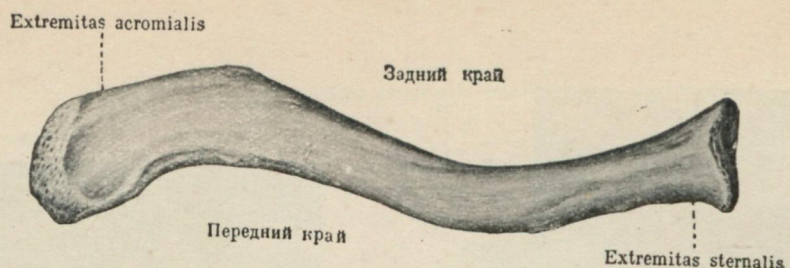
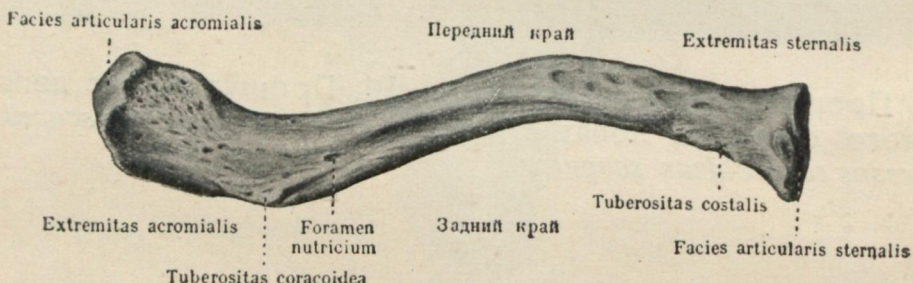
181. Прощупывание лопаточной ости, *spina scapulae*.



182. Прощупывание нижнего угла лопатки, *angulus inferior scapulae*.



183. Прощупывание позвоночного края лопатки, *margo vertebralis scapulae*.

184. Ключица, *clavícula*, правая; сверху ( $\frac{3}{5}$ ).185. Ключица, *clavícula*, правая; снизу ( $\frac{3}{5}$ ).

186. Прощупывание ключицы.

#### Ключица

Ключица, *clavícula* (рис. 184—186), парная кость; она залегает почти горизонтально между рукояткой грудины и плечевым отростком лопатки впереди и кверху от I ребра.

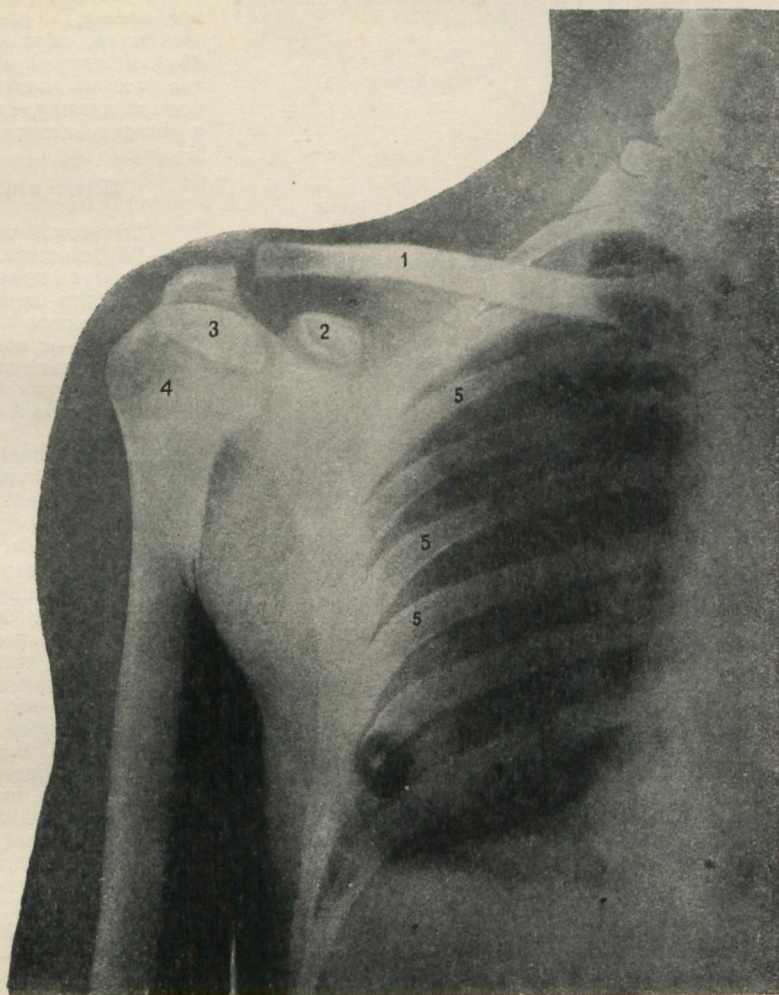
Ключица представляет длинную, трубчатую, S-образной формы кость, хорошо прощупы-

ваемую через кожу (рис. 186). Она имеет средний отдел — тело, и два конца: внутренний и наружный.

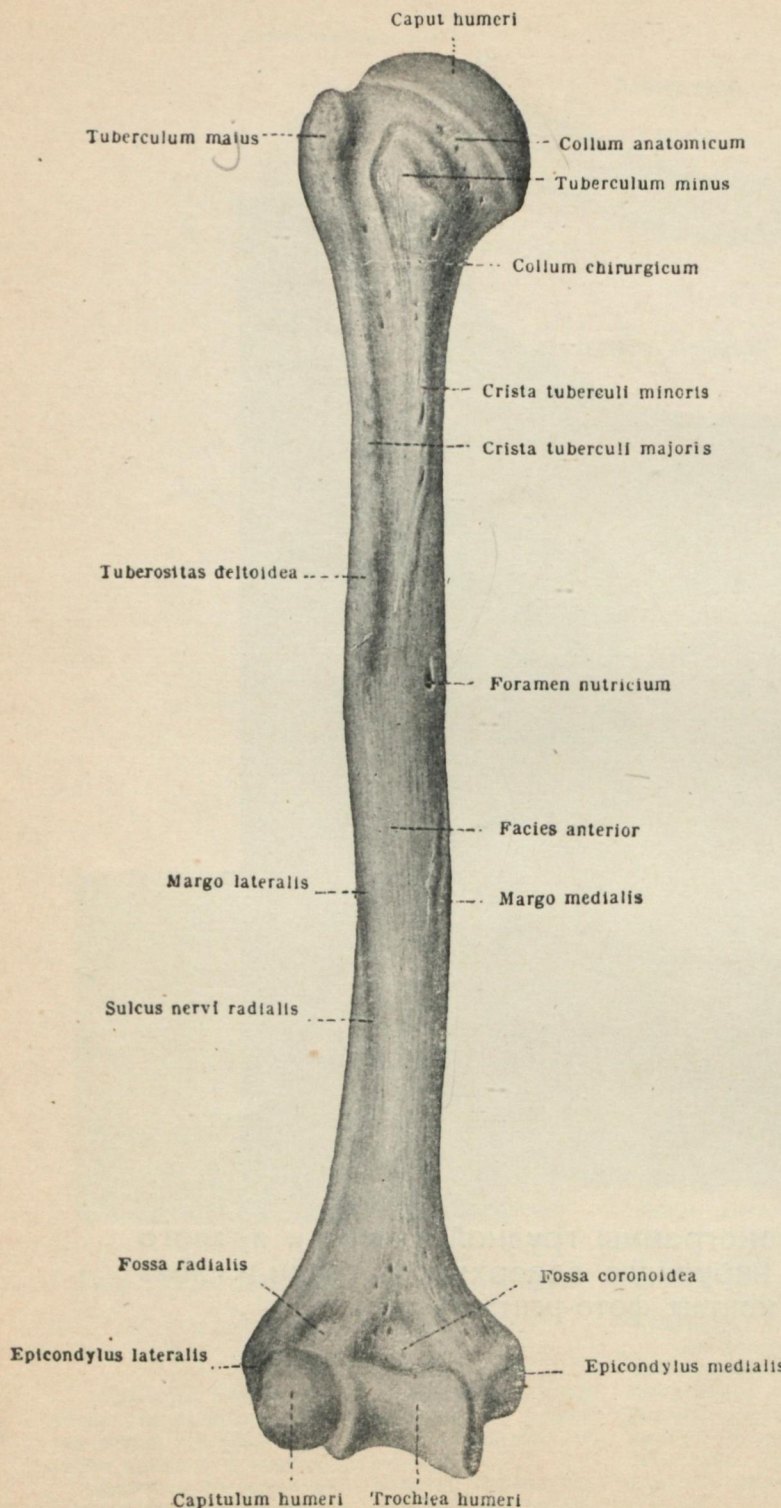
Внутренний, грудинный конец, *extremitas sternalis*, утолщен и имеет покрытую хрящом вогнутую суставную поверхность, *facies articularis sternalis*, которая соединяется с *incisura clavicularis sterni*.

Наружный, плечевой конец, *extremitas acromialis*, шире внутреннего, но тоньше его; на нем имеется небольших размеров, уплощенная суставная поверхность, *facies articularis acromialis*, сочленяющаяся с суставной поверхностью плечевого отростка лопатки. Внутренний конец вместе с прилежащим отрезком тела изогнут выпуклостью кпереди; наружный конец с соответственным отрезком тела изогнут выпуклостью назад.

На нижней поверхности ключицы имеется две бугристости; одна лежит ближе к внутреннему концу — реберная бугристость, *tuber os costalis*; другая расположена ближе к наружному концу — ключевидная бугристость, *tuber os coracoidea*. Посредине нижней поверхности тела имеется питательное отверстие, *foramen nutritium*.



187. Проекция рентгенограммы грудной клетки и правого плечевого пояса на наружную поверхность груди и плеча  
(монтаж фото-рентген).



### КОСТИ СВОБОДНОЙ ВЕРХНЕЙ КОНЕЧНОСТИ

Скелет с свободной части верхней конечности, pars libera extremitatis superioris, состоит из плечевой кости, *humerus*, костей предплечья, *ossea antibrachii* (локтевой, *ulna*, и лучевой, *radius*), и костей кисти, *ossea manus* (костей запястья, *ossea carpi*, костей пястья, *ossea metacarpalia*, и фаланг пальцев, *phalanges digitorum*).

#### Плечевая кость

*Плечевая кость, humerus* (рис. 188—196), длинная, трубчатая; входит в состав проксимального отдела скелета верхней конечности и соединяется вверху с лопаткой и внизу — с костями предплечья. Она имеет тело и два конца.

Тело, *corpus humeri*, средний отдел плечевой кости, несет три поверхности: заднюю поверхность, *facies posterior*, переднюю внутреннюю поверхность, *facies anterior medialis*, и переднюю наружную поверхность, *facies anterior lateralis*. Границей между задней и передней поверхностями являются внутренний и наружный край, *margo medialis* и *margo lateralis*. Указанные поверхности и края более четко выражены в нижней половине тела, где оно имеет трехгранную форму; вверху тело приближается к форме цилиндра. В верхней половине тела, на передне-наружной поверхности его, находится хорошо выраженная дельтовидная бугристость, *tuberostas deltoidea*; позади последней тянется неглубокая борозда лучевого нерва, *sulcus nervi radialis*. Борозда эта имеет спиральный ход и, располагаясь по задней поверхности тела кости, направляется сверху вниз и снаружи кнутри.

Верхний, проксимальный конец, *extremitas superior s. proximalis* (рис. 190), имеет с внутренней стороны головку плечевой кости, *caput humeri*, полуушаровидной формы, часть которой можно прощупать через кожу в глубине подмыщечной впадины (рис. 192). Дистальный отдел головки оканчивается суженным участком, называемым анатомической шейкой, *collum anatomicum*. С наружной стороны верхний конец плечевой кости имеет два бугра: один из них, больший, получает название большого бугор-

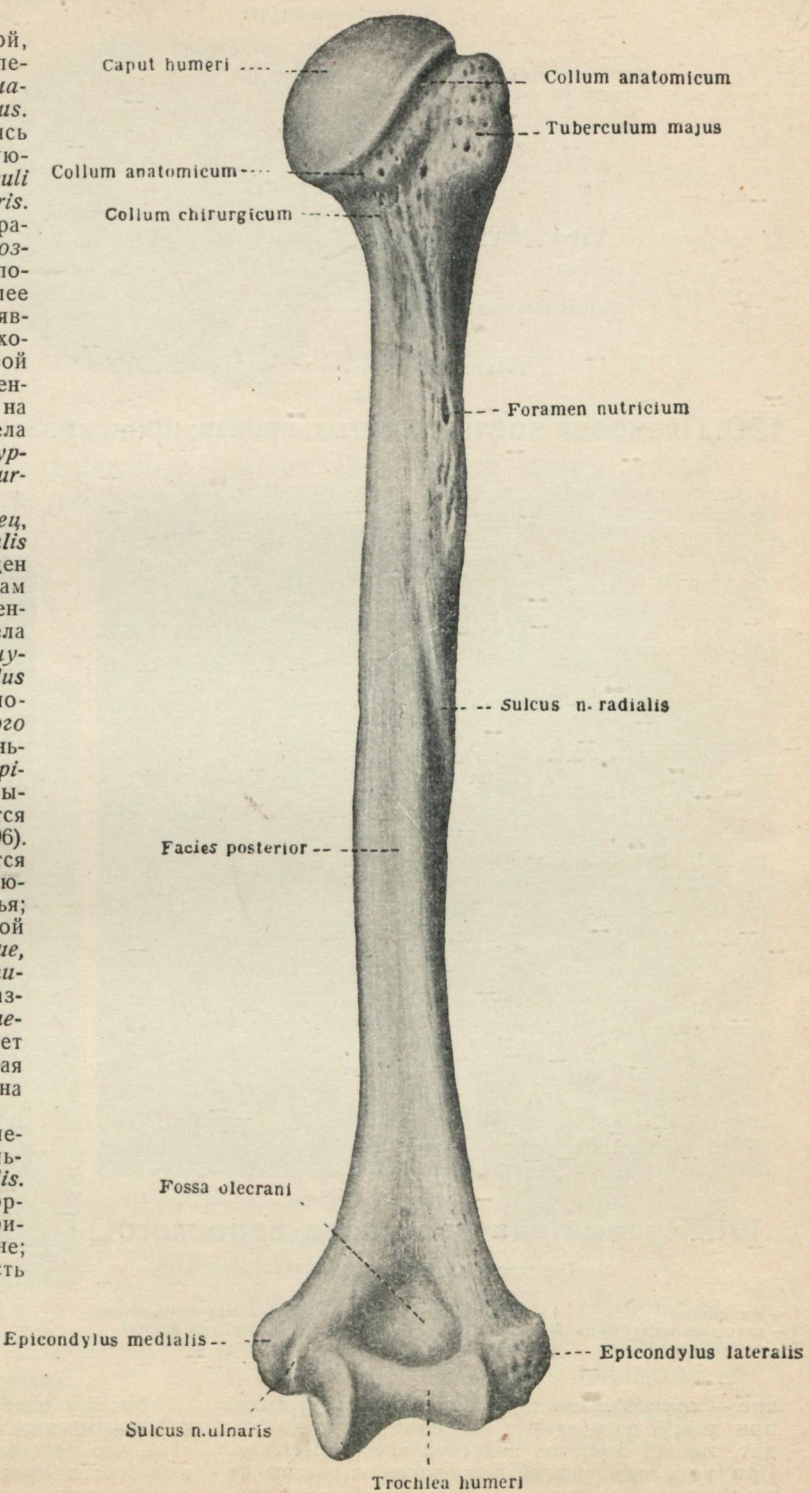
188. Плечевая кость, *humerus*, правая; спереди (3/5).

ка, *tuberculum majus*; другой, меньший, располагающийся кпереди от большого, называют *малым бугорком*, *tuberculum minus*. Указанные бугорки, продолжаясь вниз, переходят в соответствующие гребешки, *crista tuberculi majoris* и *crista tuberculi minoris*.

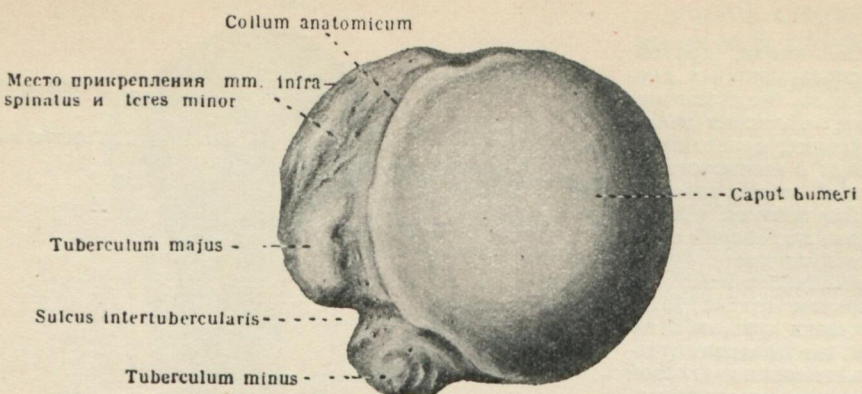
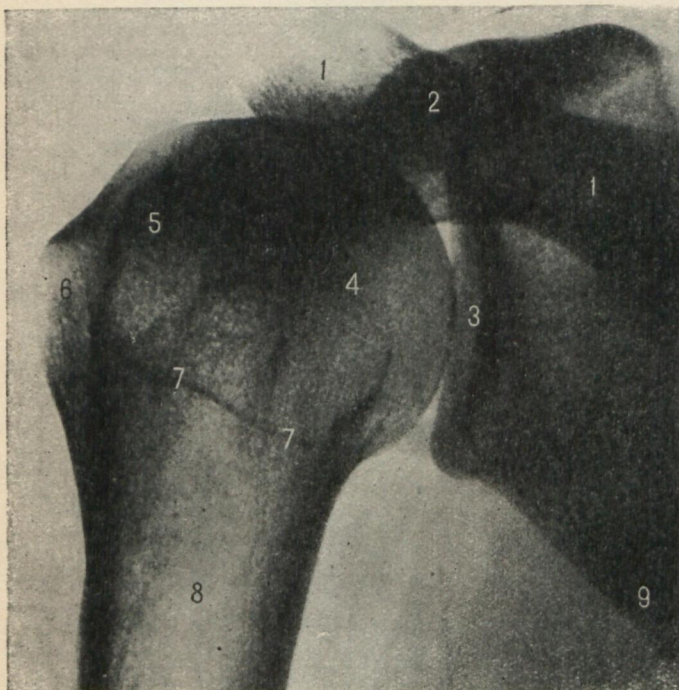
Оба бугорка и гребешки ограничивают *межбугорковую борозду*, *sulcus intertubercularis*; последняя в верхнем отделе более глубокая, выстлана хрящом и является местом, где проходит сухожилие длинной головки двуглавой мышцы. Участок, расположенный тотчас под бугорками, на границе верхнего конца и тела кости, получает название *хирургической шейки*, *collum chirurgicum*.

*Нижний, дистальный, конец, extremitas inferior s. distalis* (рис. 193), расширен и уплощен спереди назад; он имеет по бокам выступы, соединенные с внутренним и наружным краями тела кости: больший из них — *внутренний мыщелок*, *epicondylus medialis*, имеющий на задней поверхности борозду локтевого нерва, *sulcus nervi ulnaris*, и меньший — *наружный мыщелок*, *epicondylus lateralis*. Каждый из мыщелков хорошо прощупывается через толщу кожи (рис. 195, 196). Между мыщелками находится суставная поверхность, сочленяющаяся с костями предплечья; на ней выступает в наружной части головчатое возвышение, *eminentia capitata (capitulum humeri)*, а остальная часть носит название *блока плеча*, *trochlea humeri*. Головчатое возвышение имеет форму отрезка шара, суставная поверхность которого обращена вперед и дистально.

Над головчатым возвышением спереди находится небольшая лучевая ямка, *fossa radialis*. Блок плечевой кости имеет форму, приближающуюся к цилиндрической, с перехватом посередине; при этом суставная поверхность простирается и на задний отдел блока. Над блоком, на передней поверхности плечевой кости, находится *венечная ямка*, *fossa coronoidea*, в которую при сгибании руки в локтевом суставе входит одноименный отросток локтевой кости, *processus coronoideus*. На задней поверхности, также над ним, имеется большое углубление



189. Плечевая кость, *humerus*, правая, сзади ( $\frac{3}{5}$ ).

190. Плечевая кость, *humerus*, правая;proxимальный конец, сверху (1/1).191. Правый плечевой пояс взрослого.  
(рентгеновский снимок).

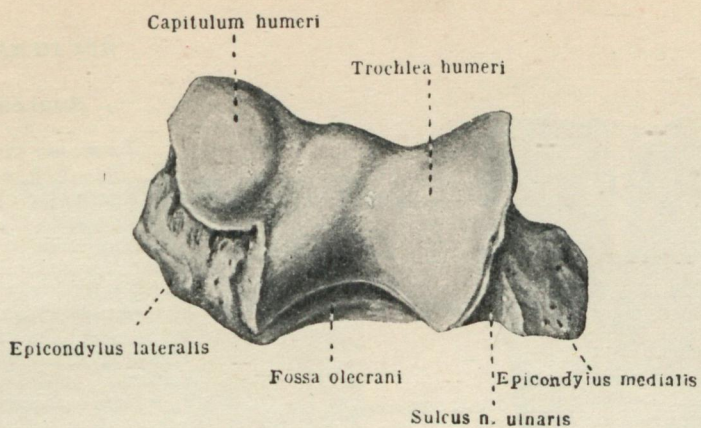
1 — acromion	4 — caput humeri	7 — collum anatomicum
2 — processus coracoideus	5 — crista tuberculi majoris	8 — diaphysis humeri
3 — cavitas glenoidalis	6 — tuberculum majus	9 — margo axillaris scapulae

ние — локтевая ямка, *fossa olecrani*. В эту ямку, при разгибании руки в локтевом суставе, входит задний отросток локтевой кости, олесрапон. При неполном разгибании, когда отросток не выполняет целиком ямки, последнюю можно пропущивать через кожу (рис. 194).

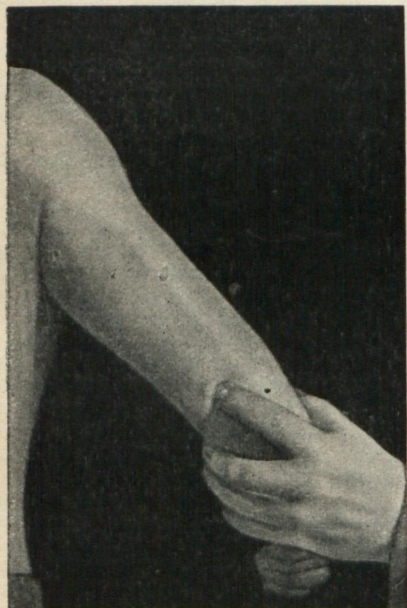


192. Прощупывание головки плечевой кости.

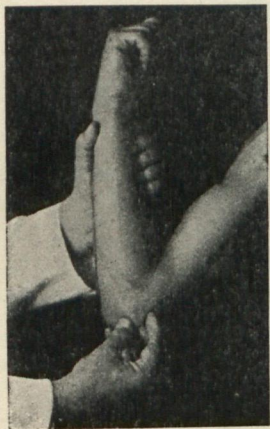
Костная пластина между передней и задней ямками иногда бывает либо настолько истончена, что центральный участок ее при проходящем свете просвечивает, либо совсем отсутствует; тогда в ней имеется отверстие.



193. Плечевая кость, *humerus*, правая; дистальный конец, снизу и несколько сзади (1/1).



194. Прощупывание локтевой ямки, *fossa olecrani*.



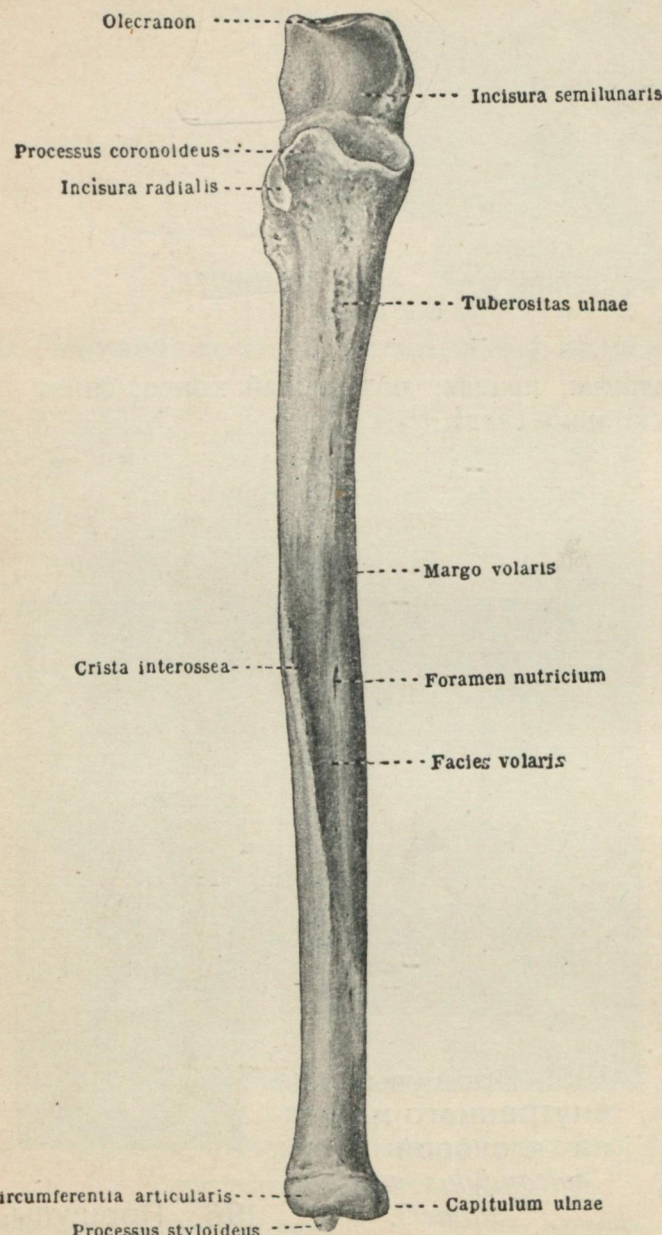
195. Прощупывание внутреннего мышлека плечевой кости, *epicondylus medialis humeri*.



196. Прощупывание внутреннего и наружного мышлеков плечевой кости и шиловидных отростков локтевой и лучевой костей.

## КОСТИ ПРЕДПЛЕЧЬЯ

## Локтевая кость



197. Локтевая кость, *ulna*, правая; волярная поверхность (3/5).

Локтевая кость, *ulna* (рис. 197, 198, 203—209), относится к трубчатым костям и, образуя вместе с лучевой костью скелет предплечья, располагается с внутренней и несколько с задней стороны последнего. В ней, как и во всякой длинной трубчатой кости, различают *тело*, *corpus*, и два конца — верхний и нижний, *extremitas superior* и *inferior*.

Тело локтевой кости, *corpus ulnae* (рис. 197, 198), средний отдел кости, имеет три поверхности: ладонную, *facies volaris*, тыльную, *facies dorsalis*, и внутреннюю поверхность, *facies medialis*. Все эти поверхности отделяются одна от другой тремя краями. Ладонная и тыльная поверхности разделяются *межкостным гребнем*, *crista interossea*, который обращен в сторону лучевой кости. С противоположной стороны межкостного гребешка расположены указанная уже внутренняя поверхность и два края: *ладонный край*, *margo volaris*, ограничивающий ладонную поверхность от внутренней, и сзади — *тыльный край*, *margo dorsalis*, отделяющий тыльную поверхность от внутренней. На теле имеется обычно одно *питательное отверстие*, *foramen nutricium*, располагающееся на ладонной поверхности, на середине длины у межкостного гребешка; отверстие ведет в *питательный канал*, *canalis nutritius*, направленный проксимально.

Описанные три поверхности придают телу локтевой кости форму трехграниной призмы, за исключением нижнего отдела, где оно приближается к форме цилиндра. Тело кости может быть легко прощупано через кожу (рис. 199).

Верхний, проксимальный, конец локтевой кости, *extremitas superior s. proximalis ulnae* (рис. 203—206), значительно толще тела и нижнего конца. На нем выступают два хорошо развитые отростка, из которых задний, направленный вверх, носит название *локтевого отростка*, *olecranon*, хорошо прощупываемый через кожу, и передний, находящийся ниже предыдущего, *венечный от-*



### 199. Прощупывание тела локтевой кости.

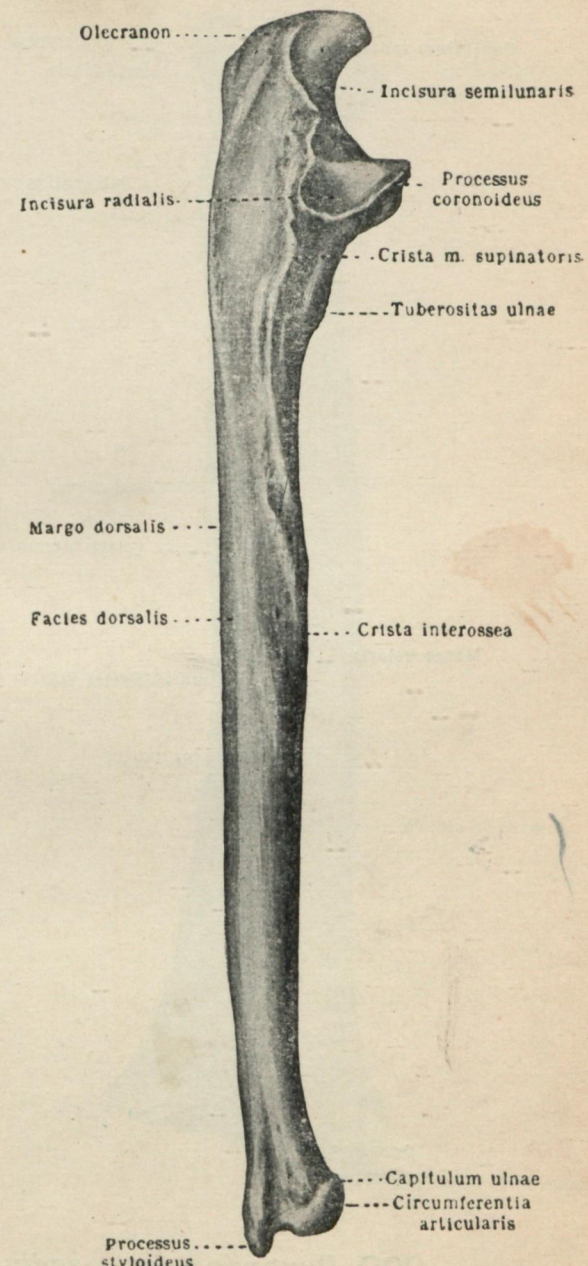
росток, *processus coronoideus*. Отростки эти ограничивают полуулунную вырезку, *incisura semilunaris*, куда входит блок плечевой кости.

На венечном отростке, со стороны прилегания головки лучевой ости, имеется лучевая вырезка, *incisura radialis*. На этой же стороне, ниже лучевой вырезки, идет наискось сверху вниз и спереди назад гребешок мышцы, врачающий ладонь вверх, *crista m. supinatoris*.

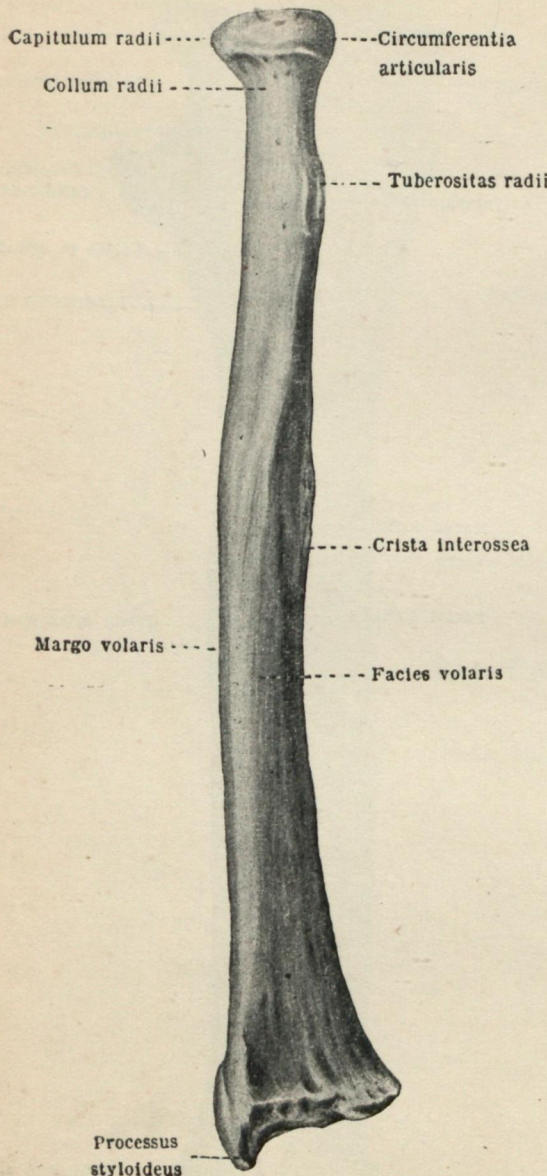
Спереди, под венечным отростком залегает бугристость локтевой кости, *tuber os ulnae*.

Нижний, дистальный, конец локтевой кости, *extremitas inferior (s. distalis) ulnae* (рис. 207—209), значительно уступает своими размерами верхнему. Он представлен головкой локтевой кости, *capitulum ulnae*, от которой с внутренней стороны отходит шиловидный отросток, *processus styloideus*, свободно прощупываемый через толщу кожи (рис. 196, 209).

С противоположной стороны на головке различается хорошо выраженная суставная окружность, *circumferentia articularis*, — место сочленения нижнего конца с лучевой костью.



198. Локтевая кость, *ulna*, правая; дорзальная поверхность ( $\frac{3}{5}$ ).



200. Лучевая кость, *radius*, правая; воллярная поверхность, (3/5).

### Лучевая кость

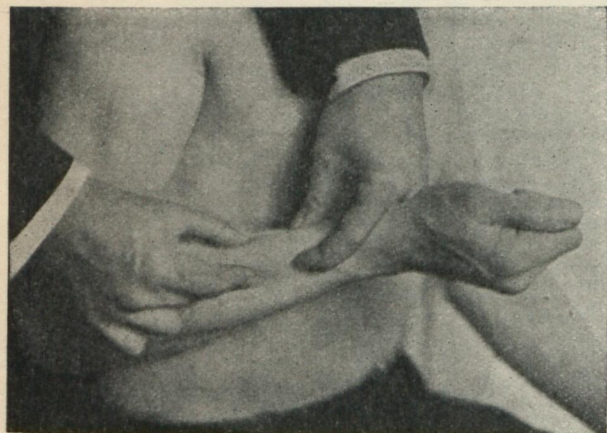
Лучевая кость, *radius* (рис. 200, 201), трубчатая, длинная, располагается снаружи и несколько кпереди локтевой кости. Она имеет тело, *corpus*, и два конца — верхний и нижний, *extremitas superior* и *inferior*.

Тело лучевой кости, *corpus radii*, — средняя часть кости, имеет три поверхности: переднюю, ладонную, *facies volaris*, более вогнутую в верхних отделах и несколько уплощенную в нижних; наружную, *facies lateralis*, гладкую, немного выпуклую и наиболее узкую, и заднюю, широкую тыльную поверхность, *facies dorsalis*, несколько уплощенную. Указанные три поверхности отделяются одна от другой тремя неодинаковой формы краями, что обуславливает трехграниную форму тела кости. Внутренний острый, направленный к локтевой кости межкостный гребешок, *crista interossea*, располагается между ладонной и тыльной поверхностями; передний, тупой, ладонный край, *margo volaris*, разграничивает ладонную поверхность от наружной, и округлый тыльный край, *margo dorsalis*, отделяет тыльную поверхность от наружной.

В верхней половине ладонной поверхности имеется питательное отверстие, *foramen nutritium*, ведущее в направленный проксимально питательный канал, *canalis nutritius*. Тело лучевой кости хорошо прощупывается через толщу кожи (рис. 202).

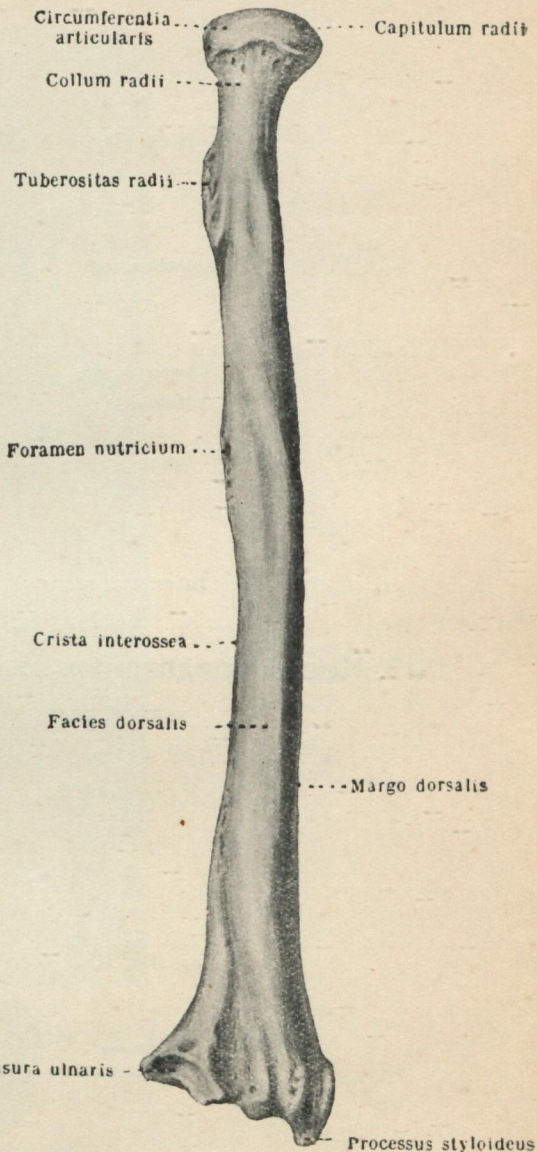
Верхний, проксимальный, конец лучевой кости, *extremitas superior* (*s. proximalis*) *radii* (рис. 203—206), представлен головкой луча, *capitulum radii*, верхняя поверхность которой имеет углубление, называемое ямкой луча, *fovea radii*, сочленяющейся с *capitulum humeri*. По периферии ямки располагается суставная окружность, *circumferentia articularis*. Ниже головки находится округлой формы суженная часть кости — шейка луча, *collum radii*, книзу от которой выступает бугристость луча, *tuber osseum*, направленная вперед и в медиальную сторону.

Нижний, дистальный, конец лучевой кости, *extremitas inferior* (*s. distalis*) *radii* (рис. 207—209), значительно толще верхнего. С наружной стороны его отходит вниз тупой выступ, шиловидный отросток луча, *processus styloideus radii*, легко прощупываемый через

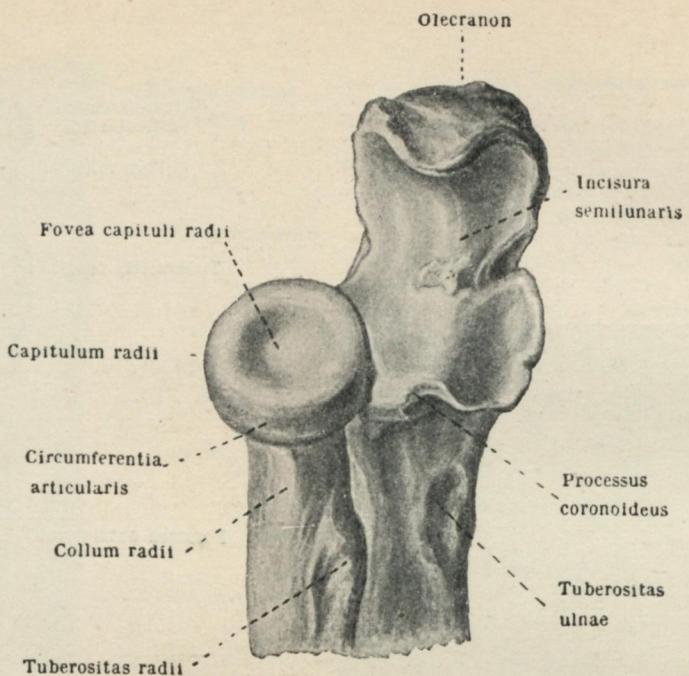


## 202. Прощупывание тела лучевой кости.

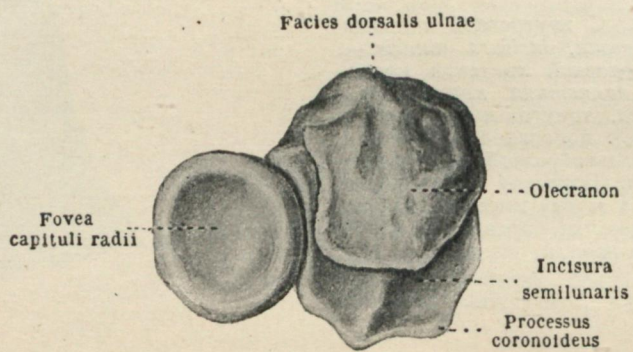
кожу (рис. 196, 209). С внутренней стороны имеется локтевая вырезка, *incisura ulnaris*, — место сочленения с головкой локтевой кости. Нижняя, суставная запястная поверхность, *facies articularis carpea*, треугольной формы и несколько выгнута; этой поверхностью лучевая кость сочленяется с ладьевидной и полулунной костями запястья. Передняя поверхность нижнего конца гладка, а задняя имеет несколько гребней, ограничивающих борозды — места прохождения здесь сухожилий.



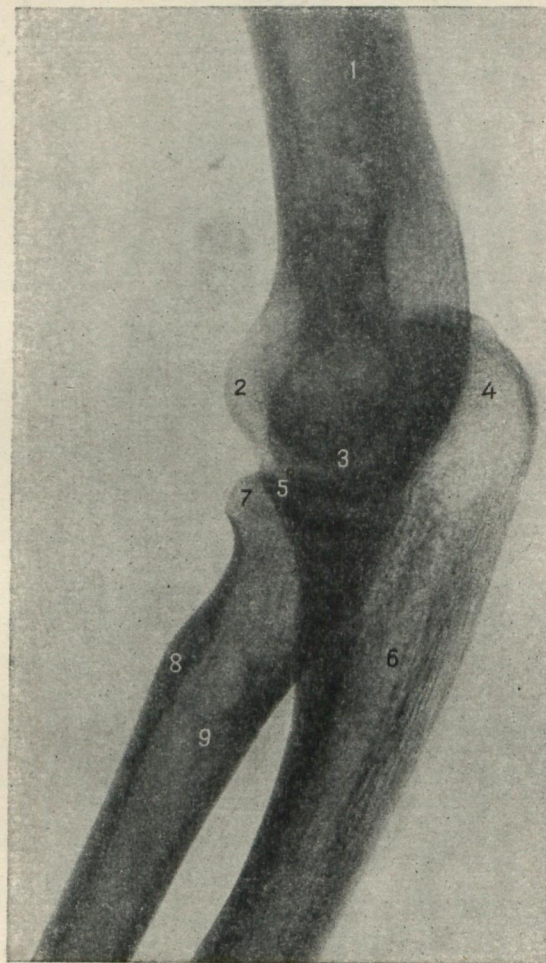
## 201. Лучевая кость, *radius*, правая; дорзальная поверхность, (3/5).



203. Кости предплечья, *ossa antibrachii*, правые; проксимальные концы, спереди и несколько сверху ( $\frac{1}{4}$ ).

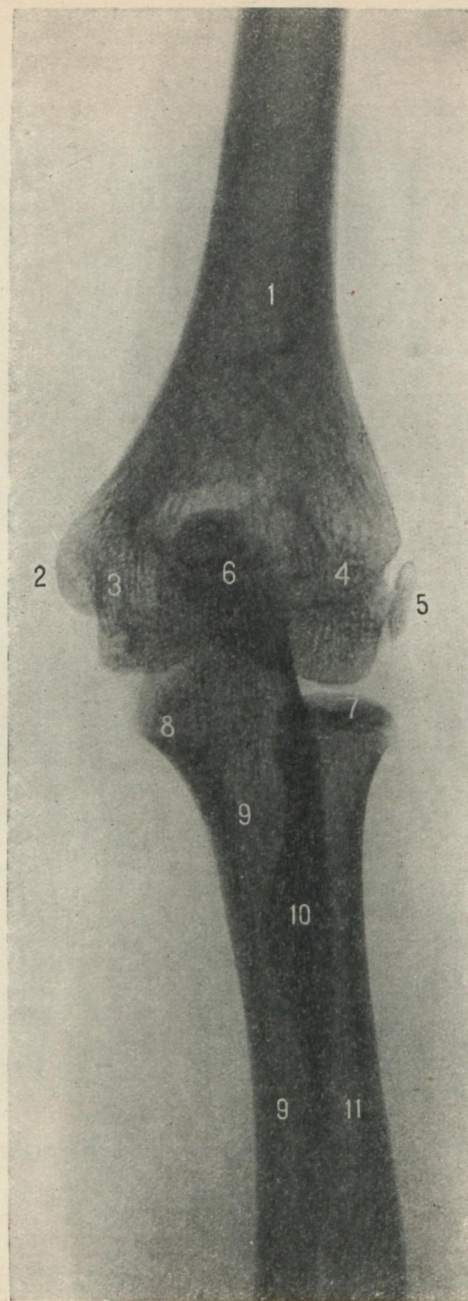


204. Кости предплечья, *ossa antibrachii*, правые; проксимальные концы, сверху ( $\frac{1}{1}$ ).



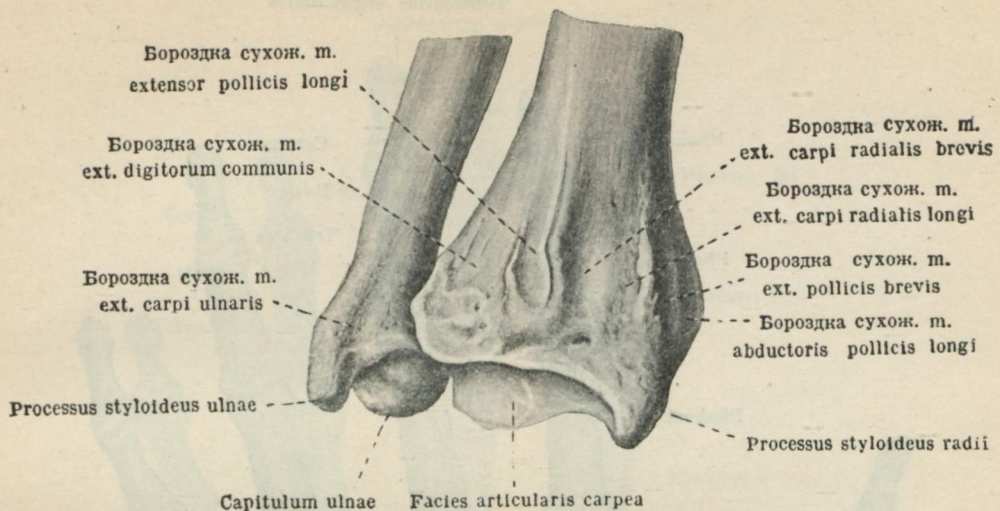
205. Левый локтевой сустав взрослого (профиль)  
(рентгеновский снимок).

- |                           |                       |
|---------------------------|-----------------------|
| 1 — humerus               | 6 — ulna              |
| 2 — epicondylus lateralis | 7 — capitulum radii   |
| 3 — incisura semilunaris  | 8 — tuberositas radii |
| 4 — olecranon             | 9 — radius            |
| 5 — processus coronoideus |                       |

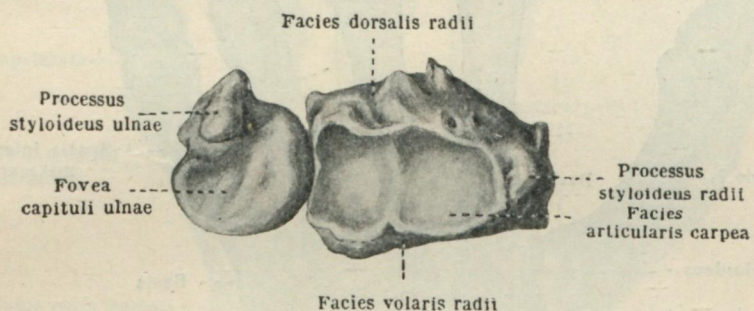


**206. Левый локтевой сустав, фас (возраст 16 лет)**  
(рентгеновский снимок).

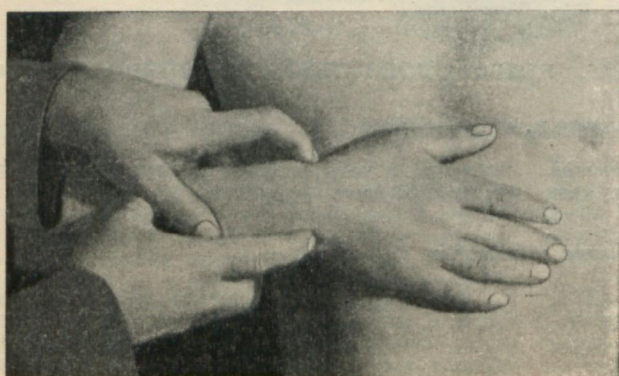
- |                          |   |                           |
|--------------------------|---|---------------------------|
| 1 — humerus              | 5 — ядро окостенения epicondylus<br>lateralis | 8 — processus coronoideus |
| 2 — epicondylus medialis | 6 — olecranon                                 | 9 — ulna                  |
| 3 — trochlea humeri      | 7 — capitulum radii                           | 10 — tuberositas radii    |
| 4 — fossa radialis       |   | 11 — radius               |



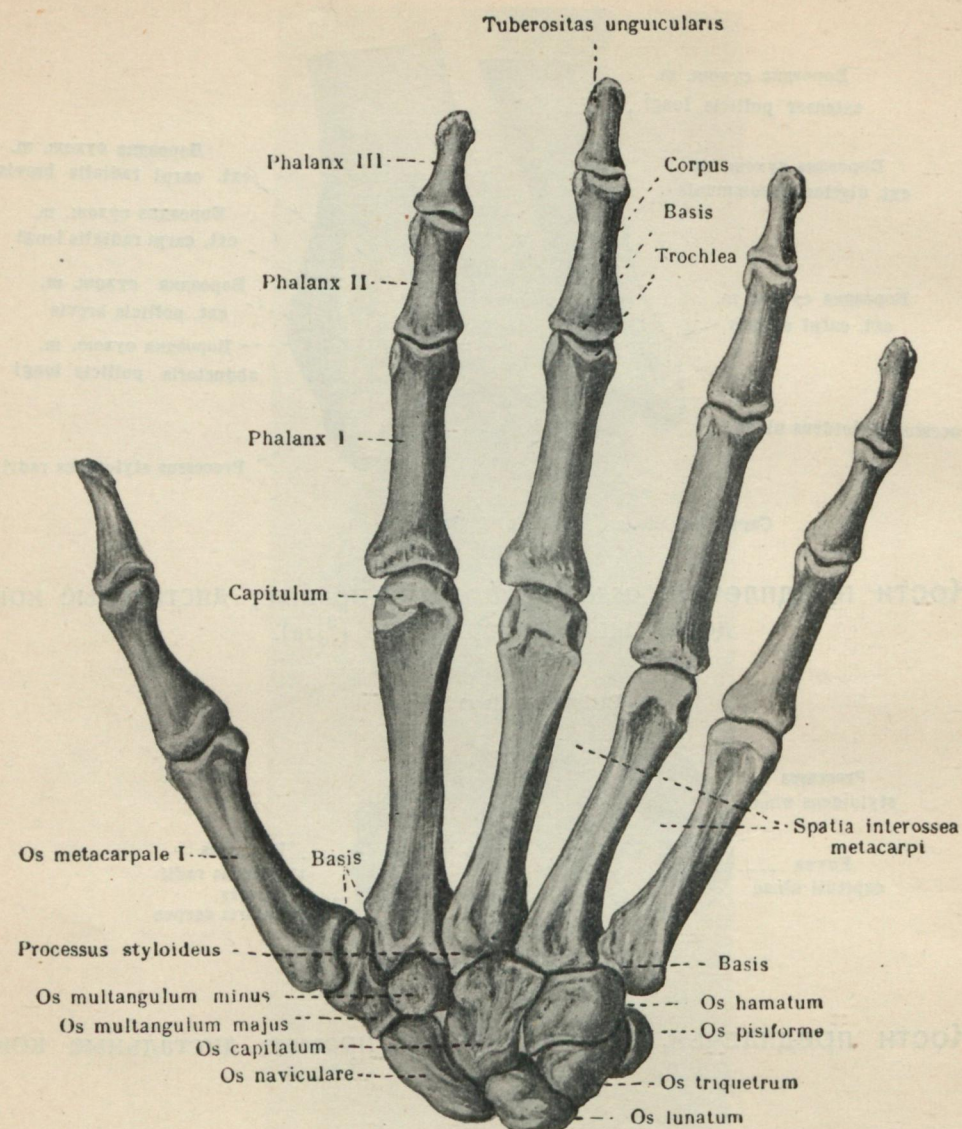
207. Кости предплечья, *ossa antibrachii*, правые; дистальные концы; дорзальная поверхность ( $\frac{9}{10}$ ).



208. Кости предплечья, *ossa antibrachii*, правые; дистальные концы; снизу ( $\frac{9}{10}$ ).



209. Прощупывание шиловидных отростков локтевой и лучевой костей, *processus styloidei ulnae et radii*.



210. Кости кисти, *ossa manus*, правая; дорзальная поверхность ( $\frac{3}{4}$ ).

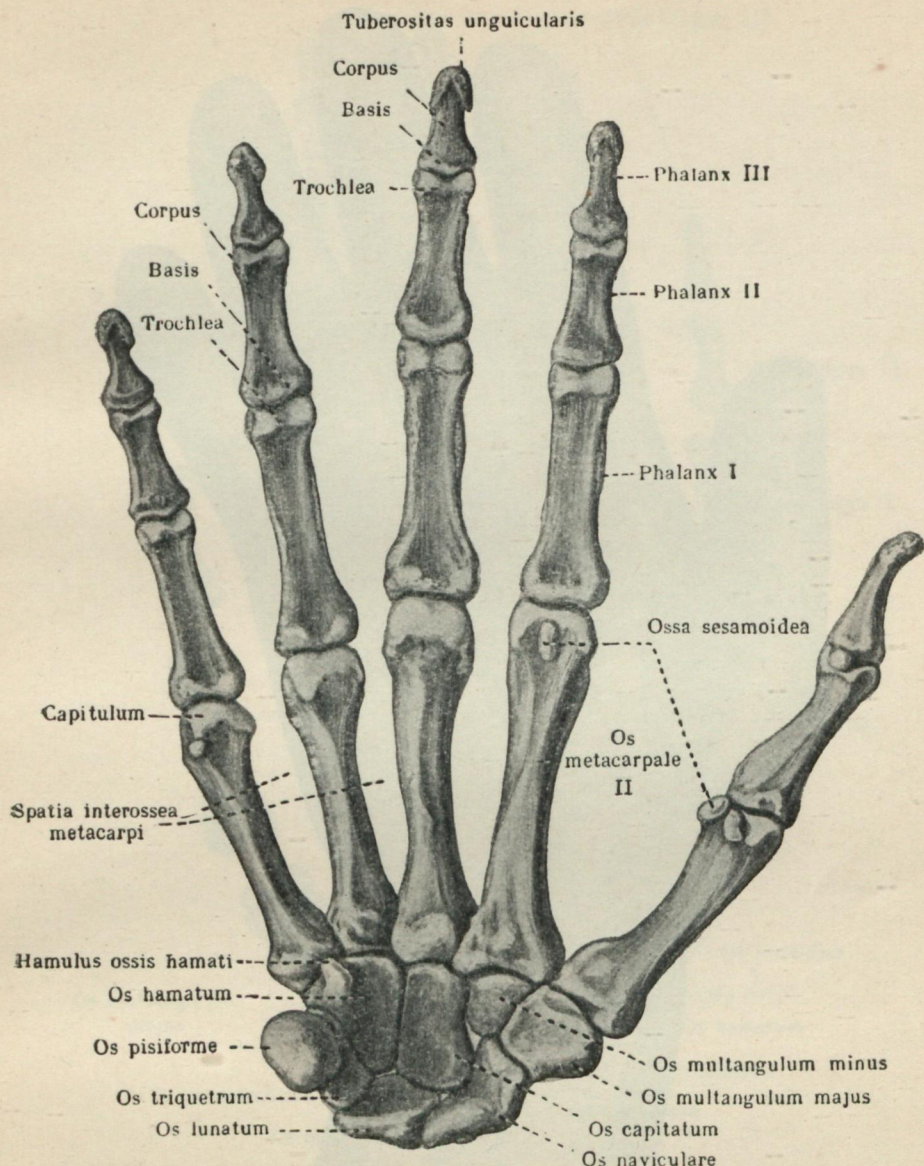
#### КОСТИ КИСТИ, OSSA MANUS

Скелет кисти состоит из восьми костей запястья, *osscarpis*, пяти костей пястия, *osscarpis*, и четырнадцати фаланг пальцев, *phalangidigitorum*.

#### Кости запястья

Кости запястья, *osscarpis* (рис. 210—222), в количестве восьми коротких костей, расположены дистальнее предплечья в два ряда, верхний и нижний, по четыре кости в каждом.

Все они, сочленяясь между собой, образуют запястье, *carpus* (рис. 210, 211, 218, 219). Последнее имеет форму полуovalа, обращенного дугообразно изогнутой поверхностью в сторону ко-

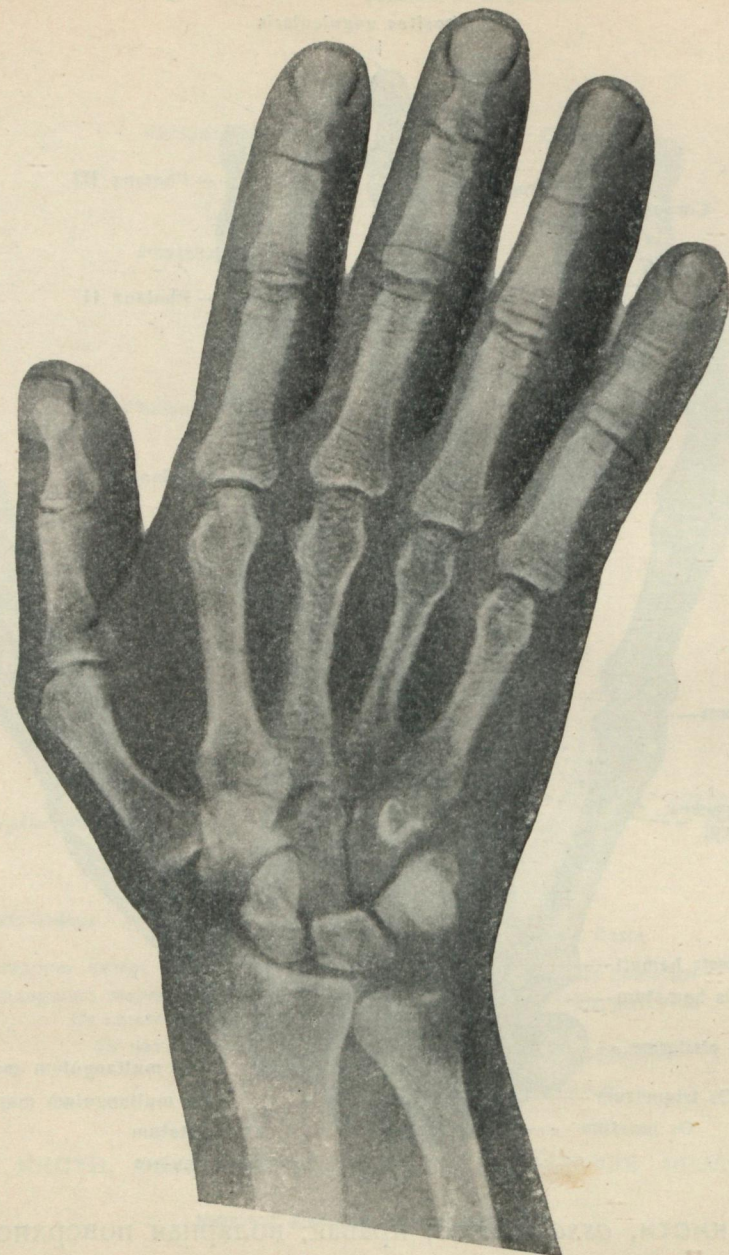


211. Кости кисти, *ossa manus*, правая; воллярная поверхность ( $\frac{3}{4}$ ).

стей предплечья (проксимально) и сравнительно ровной поверхностью — в сторону костей пястия (дистально). С тыльной стороны запястье выпукло, с ладонной оно вогнуто и имеет по сторонам возвышения, а именно: с лучевой стороны, — лучевое возвышение запястья, *eminentia carpi radialis*, обусловленное наличием бугорков костей, ладьевидной и большой многоугольной, и с локтевой стороны — локтевое возвышение, *eminentia carpi ulnaris*, образуемое гороховидной

костью и крючком крючковидной кости. Углубление запястья, ограниченное двумя указанными возвышениями, носит название канала запястья, *canalis carpi*.

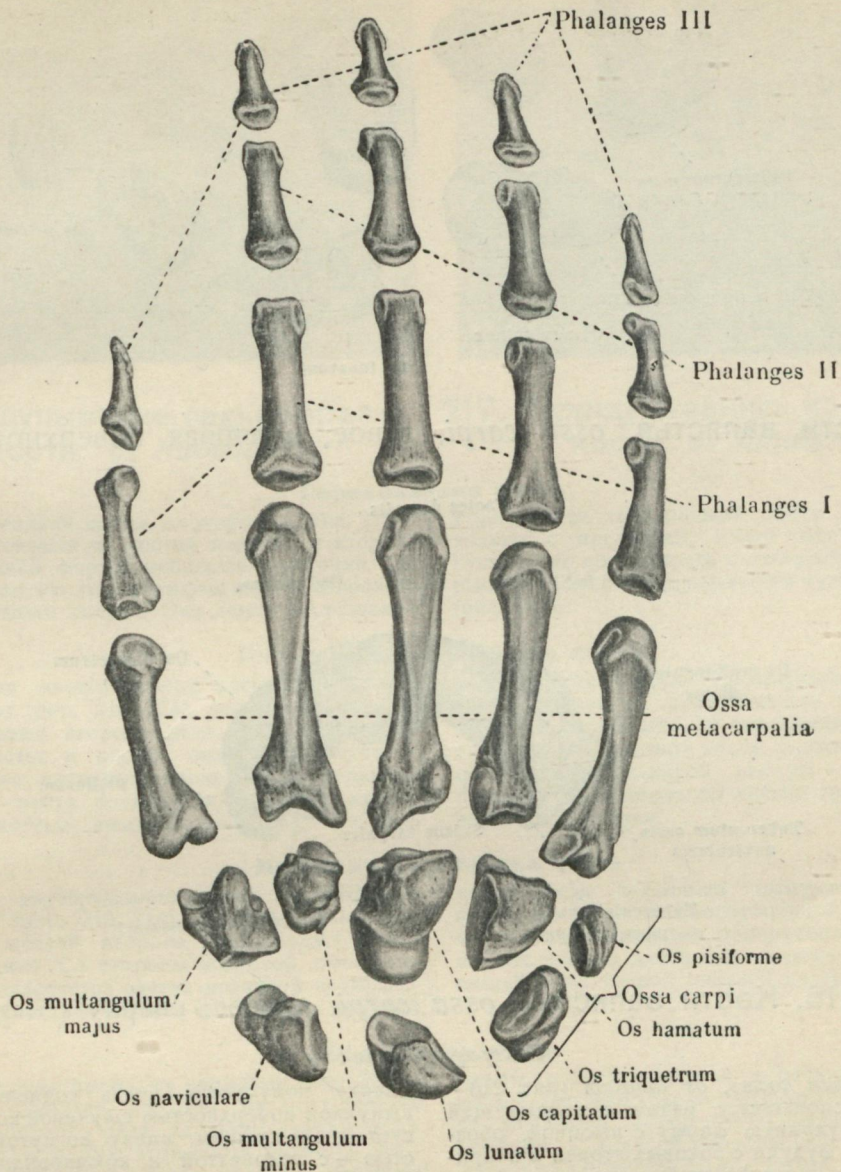
К первому верхнему (проксимальному) ряду, начиная от лучевой к локтевой сторонам, относят: ладьевидную кость, *os naviculare manus*, полулуенную кость, *os lunatum*, трехгранную, *os triquetrum*, и гороховидную, *os pisiforme*. В состав второго нижнего (дистального) ряда



**212. Проекция рентгенограммы костей правой кисти на тыльную поверхность**  
(монтаж фото-рентген).

входят: многоугольная большая кость, *os multangulum majus*, многоугольная малая кость, *os multangulum minus*, головчатая, *os capitatum*, и крючковидная, *os hamatum*.

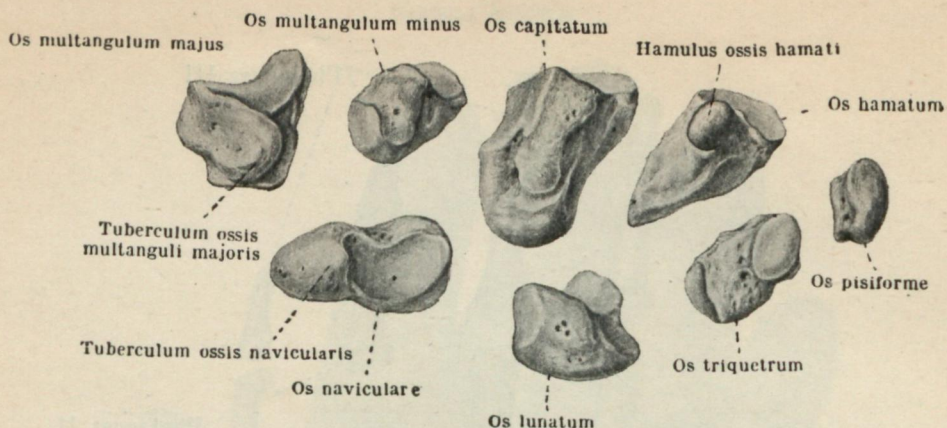
**Ладьевидная кость**  
Ладьевидная кость, *os naviculare manus* (рис. 213—216), наиболее крупная из костей пер-



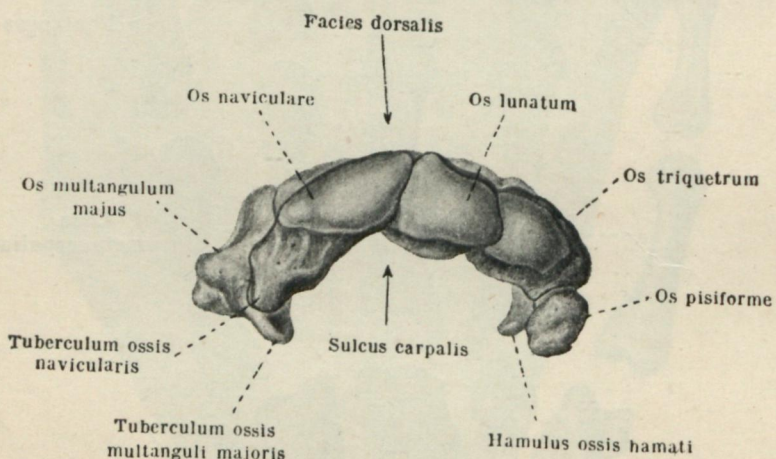
213. Кости кисти, *ossa manus*, правая; дорзальная поверхность ( $\frac{2}{3}$ ).

вого ряда, удлинена и изогнута выпуклостью вверх. Она лежит с лучевой стороны этого ряда, сочленяясь верхней выпуклой поверхностью с лучевой костью; нижней выпуклой поверхностью, разделенной на две части, она сочленяется соответственно с малой и большой многоугольными костями; нижне-медиальной вогну-

той—с головчатой костью и верхне-медиальной—с полулуннойостью. В латеральном отделе ладонной поверхности выступает бугорок ладьевидной кости, *tuberculum ossis navicularis*. Ладьевидную кость можно легко прощупать через толщу кожи дистальнее *processus styloides radii* (рис. 216).



214. Кости запястья, *osса carpi*, левое; воллярная поверхность ( $\frac{9}{10}$ ).



215. Кости запястья, *osса carpi*, правое; сверху ( $\frac{9}{10}$ ).

#### Полулунная кость

Полулунная кость, *os lunatum* (рис. 213—215, 217), располагается рядом с предыдущей и имеет полулунную форму с выемкой, обращенной вниз. Будучи с боковых сторон в соприкосновении с ладьевидной и трехгранной kostями, она несет небольшие суставные поверхности, из которых наружная меньших размеров.

Вверху полулунная кость сочленяется резко выпуклой поверхностью с лучевой костью и межсуставным хрящом, внизу вогнутой поверхностью — с головчатой и крючковидной kostями. Полулунную кость так же, как и ладьевидную, можно прощупать через кожу (рис. 217).

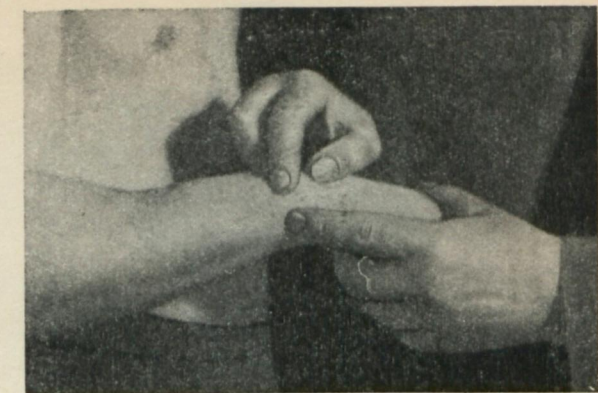
#### Трехгранный кость

Трехгранный кость, *os triquetrum* (рис. 213—215), несколько меньших размеров по сравнению с предыдущей. Сочленяясь с гороховидной костью со стороны ладонной поверхности, трехгранный кость замыкает как бы первый ряд костей запястья с локтевой стороны. По форме эта кость приближается к треугольной пирамиде.

С лучевой стороны она сочленяется плоской поверхностью с полулунной костью, проксимально — выпуклой поверхностью с межсуставным хрящом, дистально — вогнуто-выпуклой поверхностью с крючковидной костью.



**216. Прощупывание ладьеобразной кости, *os naviculare*.**



**217. Прощупывание полуулунной кости, *os lunatum*.**

#### Гороховидная кость

**Гороховидная кость, *os pisiforme*** (рис. 213—215, 221), меньшая из костей первого и второго ряда, овощной формы небольшая косточка. По своему развитию гороховидная кость относится к сесамовидным костям. Она лежит на ладонной

поверхности трехгранной кости и, соединяясь только с последней, имеет одну небольшую суставную поверхность с тыльной стороны. *Os pisiforme* легко прощупывается через толщу кожи (рис. 221).

#### Большая многоугольная кость

**Большая многоугольная кость, *os multangulum majus*** (рис. 213, 214), располагается с лучевой стороны второго ряда. Соединяясь с kostями запястья и пястия, она имеет с лучевой стороны две вогнутые поверхности: верхнюю, большую,— место соединения с малой многоугольной костью; нижнюю, меньшую,— со вто-

рой пястной костью. Проксимально она соединяется выпуклой поверхностью с ладьевидной костью, дистально — с седловидной поверхностью первой пястной кости. С ладонной стороны она несет небольшой выступ — **бугристость большой многоугольной кости, *tuberositas ossis multanguli majoris***.

#### Малая многоугольная кость

**Малая многоугольная кость, *os multangulum minus*** (рис. 213, 214), наиболее малых размеров из костей второго ряда, лежит рядом с предыдущей. Со стороны локтевой поверхности она соединяется слегка вогнутой поверхностью с головчатой костью; со стороны лучевой

поверхности несколько выпуклой поверхностью — с большой многоугольной костью; проксимально — вогнутой поверхностью — с ладьевидной костью, дистально — седловидной поверхностью — со второй пястной костью.

#### Головчатая кость

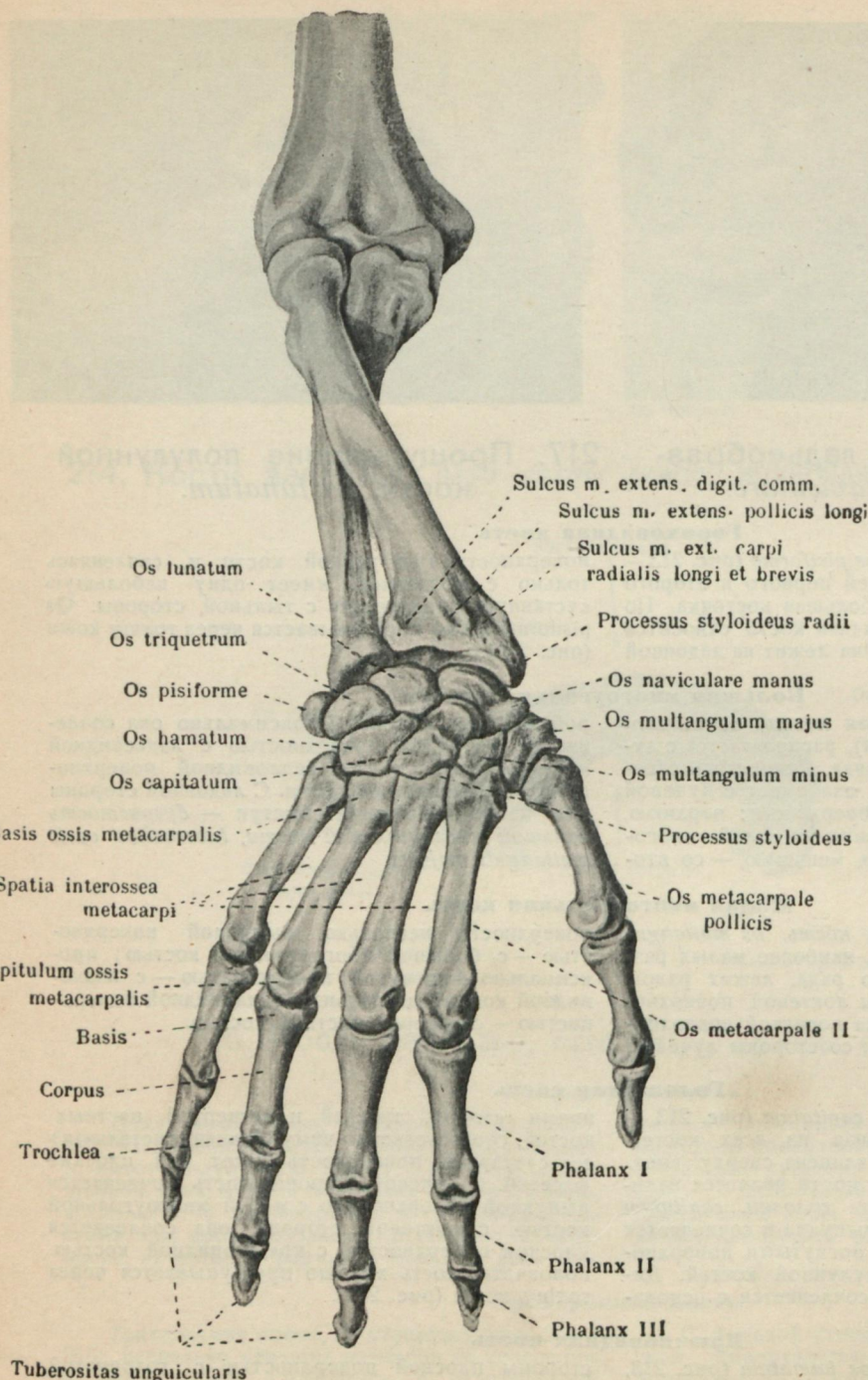
**Головчатая кость, *os capitatum*** (рис. 213 — 214, 222), наиболее крупная из всех костей второго и первого ряда, удлинена сверху вниз. Особенностью формы этой кости является наличие в ее дистальном отделе **головки, *capitulum ossis capitati***. Головка эта выпукла и соединяется с выемкой, образованной вогнутыми поверхностями ладьевидной и полуулунной костей. Дистально головчатая кость соединяется с основа-

ниями второй, третьей и четвертой пястных костей, соответственно чему нижняя (дистальная) ее суставная поверхность несет три плоские фасетки. С лучевой стороны кость соединяется выпуклой поверхностью с малой многоугольной костью, с локтевой стороны она соединяется плоской поверхностью с крючковидной костью. Головчатая кость хорошо прощупывается через толщу кожи (рис. 222).

#### Крючковидная кость

**Крючковидная кость, *os hamatum*** (рис. 213, 214), замыкает второй ряд костей запястья с локтевой стороны; кость эта клиновидной формы с отростком на ладонной поверхности, носящим название **крючка крючковидной кости, *hamulus ossis hamati***. Она соединяется с лучевой

сторони плоской поверхностью с головчатой костью; проксимально — узкой, выпуклой поверхностью — с полуулунной костью; широкой, вогнутой — с трехгранный костью; дистально — двумя фасетками с IV и V пястными костями.

218. Кости кисти, *ossa manus*, правая; дорзальная поверхность ( $1/2$ ).**Кости пястья**

**Пястные кости, ossa metacarpalia** (рис. 210—213, 218, 219, 220), в количестве пяти небольших трубчатых костей, образуют пястье, *metacarpus*. У каждой из этих костей различают *тело*, *корпус*, *основание*, *basis*, и *головку*, *caput*. Счет этих костей ведут со стороны большого пальца (*os metacarpale I — primum*, *II — secundum*, *III — tertium*, *IV — quartum* и *V — quintum*).

Тело, *corpus*, средняя часть кости, слегка изогнуто выпуклостью к тылу кисти; на нем заметно выражены три поверхности: тыльная, наружная и внутренняя. Две последние приближаются одна к другой в месте гребешка, который находится с ладонной стороны. Тело каждой пястной кости имеет питательное отверстие, *foramen nutritium*, расположенное на ладонной поверхности и открывающееся в питательный канал, *canalis nutritius*; при этом на первой пястной кости канал направлен дистально, а на остальных четырех — проксимально.

Основание, *basis*, — верхний (проксимальный) конец кости, слегка утолщен и имеет суставные поверхности — сверху (сочленяющаяся со вторым рядом костей запястья) и с боковых сторон (здесь сочленяются между собой прилежащими одна к другой суставными поверхностями *II*, *III*, *IV* и *V* пястные кости). На основании первой пястной кости отсутствуют боковые поверхности, а вверху имеется седловидная суставная по-

верхность, сочленяющаяся с большой многоугольной костью. У основания III пястной кости выступает проксимально заметный с тыла *шиловидный отросток, processus styloideus ossis metacarpalis III*. Основание V пястной кости сверху седловидно.

Головка, *capitulum*, имеет шаровидную форму, при этом суставная поверхность ее поднимается с ладонной стороны несколько выше, чем с тыльной. Боковые стороны головки несколько шероховаты. Головки всех пяти пястных костей легко прощупываются через кожу (рис. 224).

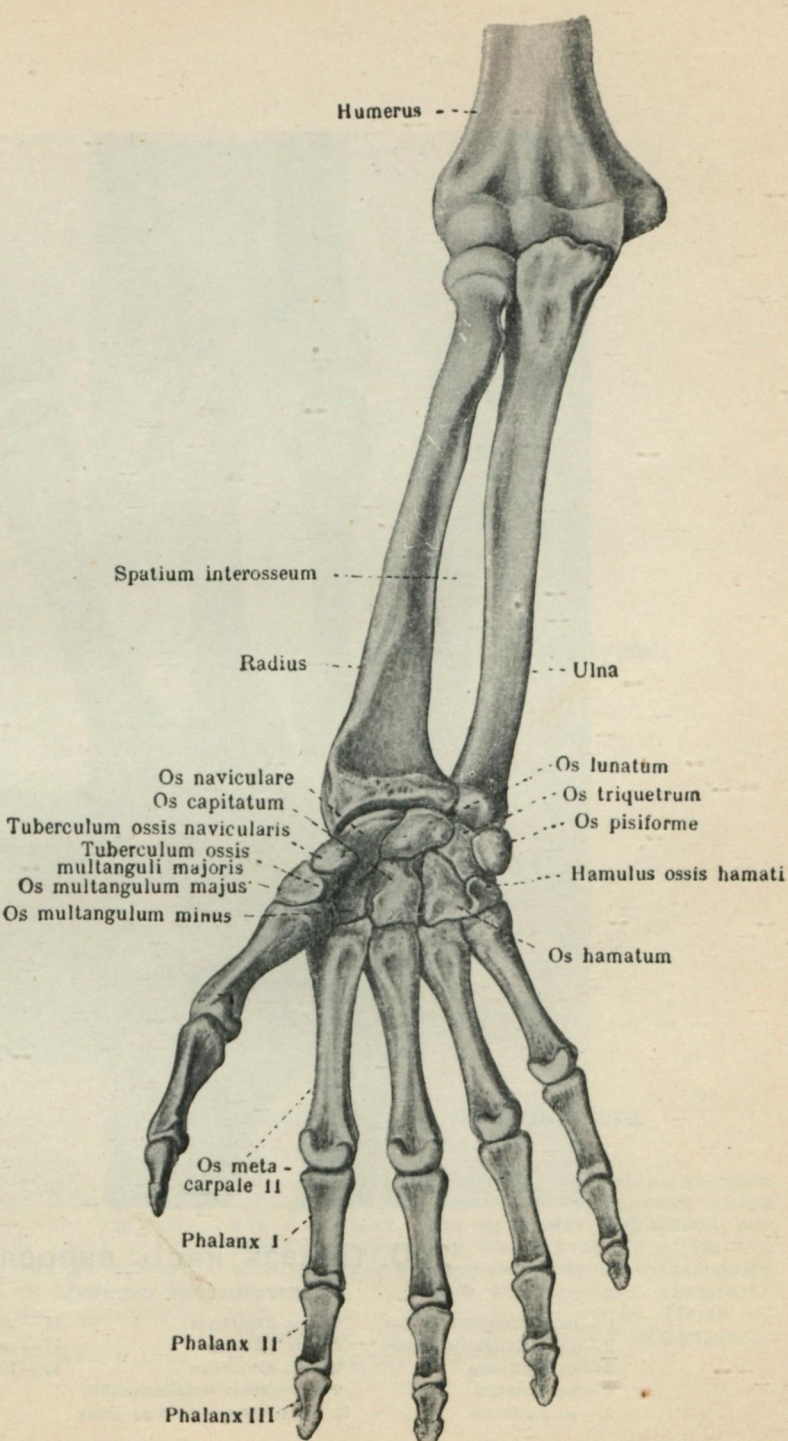
Между пястными костями имеются четыре межкостные промежутка пястья, *spatia interossea metacarpi*. Первый из них наиболее широк (между I и II пястными костями).

#### Фаланги пальцев

Фаланги пальцев, *phalanges digitorum* (рис. 210—213, 218, 219, 224), имеются: у большого пальца две, у остальных четырех (со II по V)—по три; каждая получает название: первая—*phalanx prima*, вторая—*phalanx secunda* и третья (ногтевая) — *phalanx tertia* (*s. unguicularis*). Все они относятся к небольшим трубчатым костям, и в каждой из них различают *тело, corpus, основание, basis*, и нижний конец.

*Тело, corpus*,—средний отдел фаланги, с дорзальной стороны выпукло, с ладонной стороны имеет плоскую поверхность, где располагается *питательное отверстие, foramen nutritium*, ведущее в направленный дистально *питательный канал, canalis nutritius*.

*Основание, basis*, слегка утолщено, имеет сверху суставную поверхность, которая у II и III фаланг де-



219. Кости кисти, *ossa manus*, правая; воллярная поверхность (1/2).



**220. Правая кисть взрослого**  
(рентгеновский снимок).

- |                          |                                 |                          |
|--------------------------|---------------------------------|--------------------------|
| 1 — os multangulum majus | 6 — os triquetrum               | 11 — ulna                |
| 2 — os multangulum minus | 7 — os lunatum                  | 12 — radius              |
| 3 — os capitatum         | 8 — os naviculare               | 13 — hamulus ossis hamat |
| 4 — os hamatum           | 9 — processus styloideus radii  |                          |
| 5 — os pisiforme         | 10 — processus styloideus ulnae |                          |



221. Прощупывание гороховидной кости, *os pisiforme*.

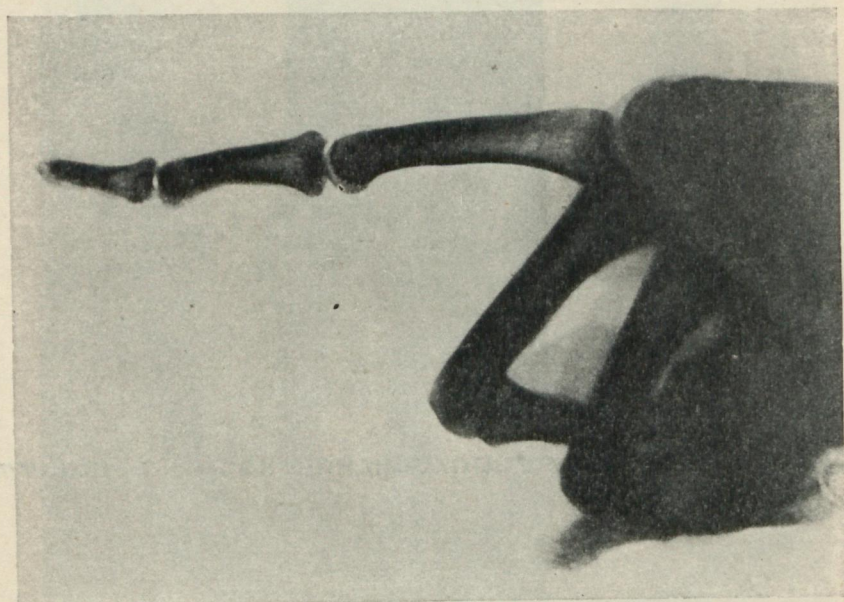


222. Прощупывание головчатой кости, *os capitatum*.

ится возвышением на два участка. Нижний конец первой и второй фаланг от II до V пальцев несет поперечно расположенное углубление; поверхность этих концов носит название блока, *trochlea*. Нижний конец III фаланги несколько расширен и уплощен, он оканчивается небольшой ногтевой бугристостью, *tuberositas unguicularis*.

*Сесамовидные кости, ossa sesamoidea* (рис.

211), небольшие плоско-округлой формы костные образования, заложенные в сухожилиях мышц или в связках. Они находятся с ладонной поверхности обычно в количестве пяти. Из них четыре лежат у следующих пястно-фаланговых сочленений: большого пальца — две, указательного — одна и малого пальца — одна. Пятая сесамовидная косточка находится у межфалангового сочленения большого пальца.



223. Указательный палец (профиль)  
(рентгеновский снимок).



224. Прощупывание головки третьей пястной кости,  
*capitulum ossis metacarpalis III.*